

DIREZIONE SERVIZI TECNICI

COMUNE DI FIRENZE

RISTRUTTURAZIONE LOCALI ex MAYER
per realizzazione
ASILO NIDO AZIENDALE
– PROGETTO 248/09 –

PROGETTO STRUTTURALE

RESPONSABILE DEL PROCEDIMENTO:

Ing. Michele Mazzoni

PROGETTISTI

Ing. Lorenzo Boganini

Arch. Michele Malaguti

Arch. Ilaria Gramigna

COLLABORAZIONI

Geom. Emiliano Landi

PROGETTISTA STRUTTURALE

Geom. Riccardo Santi

Ing. Michele Albano

Relazione sulle fondazioni



COMUNE DI FIRENZE
DIREZIONE SERVIZI TECNICI



ANNO 2011

- Relazione generale di calcolo
- Fascicolo dei calcoli- Stato ATTUALE - anali sismica modale
- Fascicolo dei calcoli- Stato di PROGETTO - anali sismica modale
- Fascicolo dei calcoli- Analisi statica non lineare (PUSHOVER)
- Fascicolo dei calcoli- Relazione sulle fondazioni
- Piano di Manutenzione
- Relazione sui materiali

	<h2 style="margin: 0;">MICHELE ALBANO</h2> <p style="margin: 0;">ingegnere</p> <p style="margin: 0;">Via D. Cirillo 2/a 50133 FIRENZE - tel.055/435814 - 333/2378348</p>			
<h3 style="margin: 0;">MEYER - VIA FRA DOMENICO BUONVICINI - FIRENZE</h3>				
COMMITTENTE COMUNE DI FIRENZE	OGGETTO Indagine numerica strutture	AGGIORNAMENTI Rev 01	CONCESSIONE	
TITOLO TAVOLA Fascicolo dei calcoli- Relazione sulle fondazioni		DATA Marzo 2011	SCALA	
PROGETTO STRUTTURE ing. Michele Albano	DIREZIONE LAVORI	IMPRESA	<table border="1" style="margin: auto; border-collapse: collapse;"> <tr> <td style="padding: 5px;"> NUM. TAVOLA <h1 style="margin: 0;">S04</h1> </td> </tr> </table>	NUM. TAVOLA <h1 style="margin: 0;">S04</h1>
NUM. TAVOLA <h1 style="margin: 0;">S04</h1>				

COMUNE DI FIRENZE

ASILO NIDO AZIENDALE MEYER

**Interventi di recupero e riuso del fabbricato del
complesso ospedaliero ex MEYER**

PROPRIETA' : Comune di FIRENZE

RELAZIONE SULLE FONDAZIONI

Descrizione della struttura e parametri di calcolo.

Per indagare sugli effetti in fondazione dell'intervento sulle strutture di rinforzo è stata eseguita una indagine numerica atta a determinare lo stato di esercizio delle stesse anche in condizione sismica.

Ai fini della portanza lo stesso è stato caratterizzato dai parametri:

Tipologia terreno: Argilla ghiaiosa alta consistenza:

Classificazione: Coesivo

Pesi:

- Peso specifico del terreno saturo: $\gamma_{\text{sat}} = 1950.00$ kg/mc

Proprietà indice:

- - Indice di plasticità: $I_p = 10.00$ <%>

Parametri plastici:

- - Angolo di attrito efficace: $\phi' = 32$ grad
- - Coesione efficace: $c' = 0.22$ kg/cmq
- - Coesione non drenata: $c_u = 1.50$ kg/cmq

Caratteristiche litostatiche:

- - Grado di sovraconsolidazione: $OCR = 1.00$
- - Coeff. di spinta a riposo: $\kappa_0 = 0.50$
- - Parametri elastici:
- - Modulo elastico normale: $E = 1000000.00$ kg/mq
- - Modulo elastico tangenziale: $G = 370370.00$ kg/mq
- - Esponente del parametro tensionale: $k_j = 0.00$
- - Coeff. di Poisson: $\nu = 0.35$
- - Modulo edometrico: $E_{\text{ed}} = 1600000.00$ kg/mq
- - Modulo elastico non drenato: $E_u = 1110000.00$ kg/mq

Tale caratterizzazione è stata scelta in quanto comunque compatibile con lo stato della struttura esistente su cui non si ravvisano particolari sintomi di cedimenti e/o insufficienze fondali.

Da un'indagine a campione sulla struttura esistente è stato possibile rilevare che le fondazioni dell'edificio sono costituite da un agglomerato caotico di sassi e cls con allargamento medio rispetto al filo del muro soprastante stimato, a favore di sicurezza, in circa 15 cm

Di seguito si riportano le verifiche della capacità portante della tipologia fondale, allo stato attuale e di progetto, assumendo i carichi derivanti dalle analisi globali eseguite.

Firenze, Marzo 2011

Il calculatore.
Dott. Ing. Michele Albano

Sommario

Criteri di analisi geotecnica e progetto delle fondazioni	2
Fondazioni superficiali	2
Fondazioni profonde	2
Caratterizzazione	4
Geotecnica	5
Figura numero 1: Schema struttura esistente per indagine in fondazione	11
Figura numero 2: Schema fondazioni	12
Elenco colonne stratigrafiche	5
Elenco unità geotecniche	5
Report grafico complessivo	6
Figura numero 3: Colonna stratigrafica numero 1 Ipotesi	9
Figura numero 4: Colonna stratigrafica numero 2	10
Figura numero 5: Tensioni in fondazione : CC9 - Amb2 (SLU)	12
Fondazioni superficiali	11
Verifiche capacità portante	11
Cedimenti	40

Criteri di analisi geotecnica e progetto delle fondazioni**Fondazioni superficiali**

Generali	
Generali	
Condizioni di calcolo per terreni coesivi sottofalda	Sia drenate che non drenate
Calcolo di a' dal rapporto con c'	1.00
Calcolo di a_u dal rapporto con c_u	1.00
Calcolo di σ' dal rapporto con ϕ'	1.00
Considera l'angolo di attrito in deformazione piana per fondazioni nastriformi	no
Calcolo dei parametri rappresentativi per terreni stratificati	Media pesata
-Calcola i valori medi dell'angolo di attrito secondo la sua tangente	no
Capacità portante in condizioni statiche	
Calcolo della capacità portante per rottura generale	Indicazioni EC7 (Allegato D)
-Combinazione dei fattori di forma e di inclinazione del carico	Considera solo i fattori di forma
-Considera il fattore di riduzione per platee	no
-Considera gli effetti dell'eccentricità del carico con un unico fattore riduttivo	si
Considera eccentricità e inclinazione dei carichi attraverso domini di interazione	no
-Parametro correttivo del momento	0.00
-Parametro correttivo del carico orizzontale	0.00
Calcolo della capacità portante per rottura locale	si
	Vesic (1975)
Calcolo della capacità portante per rottura per punzonamento	si
Calcolo della capacità portante per scorrimento	no
-Percentuale di carico orizzontale assorbito dai cordoli <%>	0.00
-Percentuale di spinta passiva mobilitata <%>	0.00
Calcolo della capacità portante per sollevamento	no
Capacità portante in condizioni sismiche	
Calcolo della capacità portante per rottura generale	Metodo scelto per le condizioni statiche
Riduzione dell'angolo d'attrito per terreni incoerenti ben addensati	no
Calcolo della capacità portante per scorrimento	si
-Percentuale di carico orizzontale assorbito dai cordoli <%>	0.00
-Percentuale di spinta passiva mobilitata <%>	0.00
Cedimenti	
Cedimenti	Bowles
-Spessore del terreno responsabile del cedimento	
-Dal rapporto con le dimensioni della fondazione pari a	5.00

Fondazioni profonde

Generali	
Generali	
Calcolo capacità portante per carichi verticali	Secondo formule statiche
Considera capacità portante	Entrambe
Condizioni di calcolo per terreni coesivi sotto falda	Sia drenate che non drenate
Calcolo della profondità critica	no
Effettua calcolo elasto-plastico per cedimenti	si
Effettua calcolo elasto-plastico per spostamenti orizzontali	si
Rapporto di elasticità trazione/compressione pari a	1.00
Fattori di correlazione	1.70
Attrito laterale limite da prove in sito	
Correlato con prove CPT	no
Correlato con prove SPT	no
Fattore di riduzione attrito laterale per pali trivellati	no
Pressione limite alla base da prove in sito	
Correlata con prove CPT	no
Correlata con prove SPT	no
Fattore di riduzione pressione limite alla base per pali trivellati	no
Spostamenti orizzontali	
Spostamenti orizzontali	Risposta elastica in funzione della

stratigrafia										
Specifici	1	2	3	4	5	6	7	8	9	10
Attrito laterale limite										
Calcolo dell'attrito laterale limite	Si									
-Condizioni non drenate										
-Calcolo di α										
-Pari a										
-A.G.I. (1984)	x	x	x	x	x	x	x	x	x	x
-A.P.I. (1984)										
-Viggiani (1999)										
-Olson e Dennis (1982)										
-Stas e Kulhavy (1984)										
-Skempton (1986)										
-Reese e O'Neill (1989)										
-Metodo di Bustamente e Doix (1985) per micropali	No									
-Iniezioni ripetute	x	x	x	x	x	x	x	x	x	x
-Unica iniezione										
-Condizioni drenate										
-Calcolo di β										
-Pari a	0.25	0.25	0.25	0.25	0.25	0.25	0.25	0.25	0.25	0.25
-Reese e O'Neill (1989)										
-Calcolato										
-Calcolo di k										
-Pari a										
-Dal rapporto con k_0 pari a	0.00	0.00	0.00	0.00	0.00	0.00	0.00	0.00	0.00	0.00
-Fleming (1985)										
-Calcolo di δ										
-Pari a $\langle \text{grad} \rangle$										
-Dal rapporto con ϕ' pari a	0.00	0.00	0.00	0.00	0.00	0.00	0.00	0.00	0.00	0.00
-Calcolo di a' dal rapporto con c'	1.00	1.00	1.00	1.00	1.00	1.00	1.00	1.00	1.00	1.00
Calcolo dell'attrito laterale limite per trazione										
-Considera i risultati del calcolo per l'attrito laterale limite percompressione con un fattore di riduzione pari a	0.66	0.66	0.66	0.66	0.66	0.66	0.66	0.66	0.66	0.66
-Sowa (1970)	No									
-Bowles (1991)	No									
Considera l'effetto dell'attrito negativo	No									
-Coefficiente di Lambe										
Pressione limite alla base										
Calcolo della pressione limite alla base del palo	Si									
-Terzaghi (1943)	x	x	x	x	x	x	x	x	x	x
-Meyerhof (1963)										
-Hansen (1970)										
-Vesic (1975)										
-Berezantzev (1961)										
-Berezantzev (1965)										
-Stagg e Zienkiewicz (1968)										
-Relazione generale, coefficienti di capacità portante										
-In condizioni drenate										
- N_d										
- N_c										
-In condizioni non drenate										
- N_c										
-Fattore di riduzione per terreni coesivi sovraconsolidati	No									
Cedimenti										
Risposta elastica laterale										
-Calcolata dalla rigidezza dello strato	x	x	x	x	x	x	x	x	x	x
-Coefficiente di influenza	4.00	4.00	4.00	4.00	4.00	4.00	4.00	4.00	4.00	4.00
-Pari a $\langle \text{kg/mq} \rangle$										
Risposta elastica alla base										
-Calcolata dalla rigidezza dello strato	x	x	x	x	x	x	x	x	x	x
-Pari a $\langle \text{kg/mq} \rangle$										
Spostamenti orizzontali										
Risposta elastica										
-Vesic (1961)										
-Broms (1964)										
-Glick (1948)										
-Chen (1978)										
-Pari a $\langle \text{kg/mq} \rangle$										
-Dal modulo elastico	x	x	x	x	x	x	x	x	x	x
-Coefficiente effetto tridimensionale	2.00	2.00	2.00	2.00	2.00	2.00	2.00	2.00	2.00	2.00
Resistenza limite										
-Calcolata dai parametri plastici	x	x	x	x	x	x	x	x	x	x

MEYER - stato ATTUALE - verifica in fondazione

-Coefficiente effetto tridimensionale resistenza per attrito	3.00	3.00	3.00	3.00	3.00	3.00	3.00	3.00	3.00	3.00
-Coefficiente effetto tridimensionale resistenza per coesione	4.00	4.00	4.00	4.00	4.00	4.00	4.00	4.00	4.00	4.00
-Pari a <kg/mq>										

Caratterizzazione

Specifici	1	2	3	4	5	6	7	8	9	10
Informazioni preliminari										
Coefficiente di uniformità	No									
-Pari a	0.00	0.00	0.00	0.00	0.00	0.00	0.00	0.00	0.00	0.00
Definizione della composizione granulometrica, per terreni incoerenti	No									
-Sabbia fine uniforme	x	x	x	x	x	x	x	x	x	x
-Sabbia fine ben gradata - sabbia media uniforme										
-Sabbia media ben gradata - sabbia grossa uniforme										
-Sabbia e ghiaia - ghiaia media										
Correggi NSPT se la misura è sottofalda	No									
Densità relativa										
Correlata con prove SPT										
-Terzaghi e Peck (1948)	Si									
-Gibbs e Holtz (1957)	No									
-Meyerhof (1957)	No									
-Schultze e Menzenbach (1961)	No									
-Bazaara (1967)	No									
-Marcuson e Bieganousky (1977)	No									
-Skempton (1986)	No									
Correlata con prove CPT										
-Schmertmann (1976)	Si									
-Jamiolkowski et al. (1985)	No									
-Baldi et al. (1986)	No									
Elaborazione dei risultati										
-Valore medio	x	x	x	x	x	x	x	x	x	x
-Valore minore										
Angolo d'attrito										
Correlato con prove SPT										
-Terzaghi e Peck (1948)	Si									
-Schmertmann (1975)	No									
-Wolff (1989)	No									
-Hatanaka e Uchida (1996)	No									
-Road Bridge Specification	No									
-Owasaki e Iwasaki	No									
-Japanese National Railway	No									
-Peck-Hanson e Thornburn	No									
-De Mello	No									
Correlato con prove CPT										
-Robertson e Campanella (1983)	Si									
-Durgunoglu e Mitchell	No									
-Caquot	No									
Correlata con proprietà indice										
-In funzione della densità relativa, per terreni incoerenti	No									
-In funzione dell'indice di plasticità, per terreni coesivi	No									
Elaborazione dei risultati										
-Valore medio	x	x	x	x	x	x	x	x	x	x
-Valore minore										
Coesione non drenata										
Correlata con prove SPT										
-Hara et al. (1971)	Si									
-Stroud (1974)	No									
Correlata con prove CPT										
-Mayne e Kemper (1988)	Si									
-Lunne e Eide	No									
Correlata con proprietà indice										
-Bjerrum e Simons (1960)	No									
-Skempton (1953)	No									
Elaborazione dei risultati										
-Valore medio	x	x	x	x	x	x	x	x	x	x
-Valore minore										
Caratteristiche litostatiche										
Grado di sovraconsolidazione										
Correlato con prove SPT										
-Mayne e Kemper (1988)	No									
Correlato con prove CPT										

MEYER - stato ATTUALE - verifica in fondazione

-Mayne e Kemper (1988)	No									
-Elaborazione dei risultati										
-Valore medio	x	x	x	x	x	x	x	x	x	x
-Valore minore										
Coefficiente di spinta a riposo										
-Calcolo di k_0 (NC)										
-Jaky (1936)	x	x	x	x	x	x	x	x	x	x
-Brooker e Ireland (1965)										
-Alpan (1967)										
-Massarsch (1979)										
-Correlato con Dr										
-Calcolato dal coefficiente di Poisson										
-Calcolo di α										
-Pari a										
-Kulhawy (1989)	x	x	x	x	x	x	x	x	x	x
-Alpan (1967) per terreni coesivi										
-Alpan (1967) per terreni incoerenti										
-Correlato con Dr										
Parametri elastici										
Correlati con prove GFS										
Correlati con prove SPT										
-Stroud e Butler (1975)										
-Stroud (1989)	x	x	x	x	x	x	x	x	x	x
-Schmertmann (1978)										
-Farrent										
-Menzenbach e Malcev										
-D'Appolonia										
-Schulze e Menzenbach										
-Crespellani e Vannucchi										
-Ohsaki e Iwasaki, per sabbie										
-Ohsaki e Iwasaki, per sabbie con fini										
Correlati con prove CPT										
-Schmertmann (1977)										
-Robertson e Campanella (1983)										
-Kulhawy e Mayne (1990)										
-Rix e Stokoe (1992)										
-Mayne e Rix (1993)										
Fattore correttivo	1.00	1.00	1.00	1.00	1.00	1.00	1.00	1.00	1.00	1.00

Geotecnica

Elenco colonne stratigrafiche

Colonna stratigrafica numero 1

Falda a profondità: 3.00 m

Simbologia

St.	=	Strato
z	=	Profondità della superficie superiore dello strato
Unità geotecnica	=	Unità geotecnica
Class.	=	Classificazione
		Coes. = Coesivo
		Inc. = Incoerente
		Roc. = Roccia
		N. c. = Non classificato

St.	z <m>	Unità geotecnica	Class.
1	0.00	2 Argilla ghiaiosa alta consistenza	Coes.

Colonna stratigrafica numero 2

Falda a profondità: 3.00 m

St.	z <m>	Unità geotecnica	Class.
1	0.00	1 Ghiaia ben gradata sciolta	Inc.

Elenco unità geotecniche

1 Ghiaia ben gradata sciolta:

Classificazione: Incoerente

Pesi:

- Peso specifico del terreno naturale: $\gamma = 2000.00$ kg/mc
- Peso specifico del terreno saturo: $\gamma_{sat} = 2200.00$ kg/mc

Proprietà indice:

- Densità relativa: $D_r = 30.00$ <%>

Parametri plastici:

- Angolo di attrito efficace: $\phi' = 35.00$ grad
- Coesione efficace: $c' = 0.00$

Caratteristiche litostatiche:

- Grado di sovraconsolidazione: $OCR = 1.00$
- Coeff. di spinta a riposo: $\kappa_0 = 0.43$

Parametri elastici:

- Modulo elastico normale: $E = 10000000.00$ kg/mq
- Modulo elastico tangenziale: $G = 4170000.00$ kg/mq
- Esponente del parametro tensionale: $k_j = 0.00$
- Coeff. di Poisson: $\nu = 0.20$
- Modulo edometrico: $E_{ed} = 11100000.00$ kg/mq
- Modulo elastico non drenato: $E_u = 0.00$ kg/mq

2 Argilla ghiaiosa alta consistenza:

Classificazione: Coesivo

Pesi:

- Peso specifico del terreno naturale: $\gamma = 1900.00$ kg/mc
- Peso specifico del terreno saturo: $\gamma_{sat} = 1950.00$ kg/mc

Proprietà indice:

- Indice di plasticità: $I_p = 10.00$ <%>

Parametri plastici:

- Angolo di attrito efficace: $\phi' = 32.00$ grad
- Coesione efficace: $c' = 2200.00$
- Coesione non drenata: $c_u = 15000.00$ kg/mq

Caratteristiche litostatiche:

- Grado di sovraconsolidazione: $OCR = 1.00$
- Coeff. di spinta a riposo: $\kappa_0 = 0.50$

Parametri elastici:

- Modulo elastico normale: $E = 1000000.00$ kg/mq
- Modulo elastico tangenziale: $G = 370370.00$ kg/mq
- Esponente del parametro tensionale: $k_j = 0.00$
- Coeff. di Poisson: $\nu = 0.35$
- Modulo edometrico: $E_{ed} = 1600000.00$ kg/mq
- Modulo elastico non drenato: $E_u = 1110000.00$ kg/mq

Report grafico complessivo

Colonna stratigrafica numero 1

Simbologia

St.	=	Strato
z	=	Profondità della superficie superiore dello strato
Unità geotecnica	=	Unità geotecnica
Class.	=	Classificazione
		Coes. = Coesivo
		Inc. = Incoerente
		Roc. = Roccia
		N. c. = Non classificato
γ	=	Peso specifico del terreno naturale
γ_{sat}	=	Peso specifico del terreno saturo
D_r	=	Densità relativa
I_p	=	Indice di plasticità

MEYER - stato ATTUALE - verifica in fondazione

ϕ'	=	Angolo di attrito efficace
c'	=	Coesione efficace
c_u	=	Coesione non drenata
OCR	=	Grado di sovraconsolidazione
κ_0	=	Coeff. di spinta a riposo
Crit.	=	Criterio di progetto

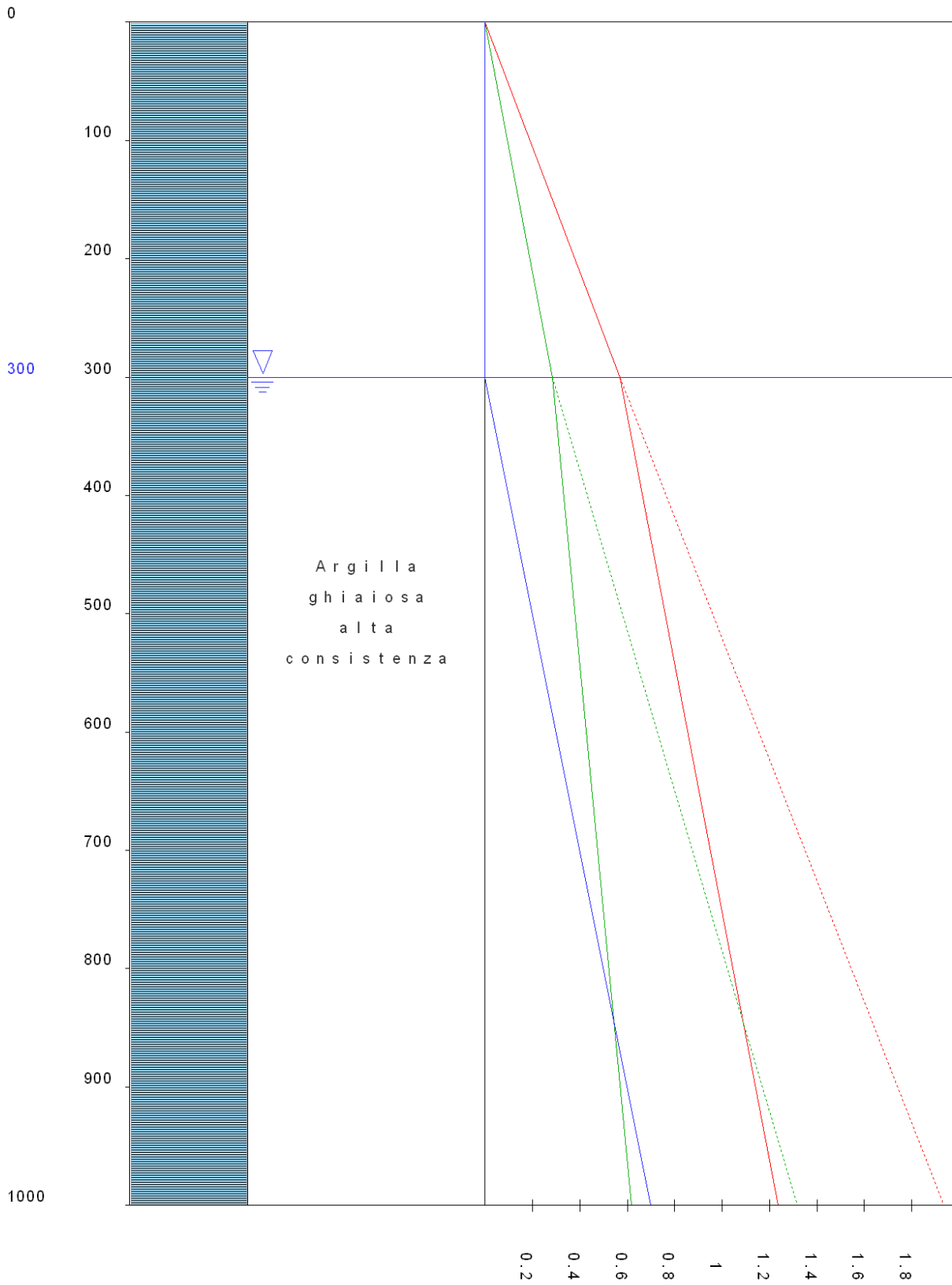
St.	z <m>	Unità geotecnica	Class.	γ <kg/mc>	γ_{sat} <kg/mc>	D_r	I_p	ϕ' <grad>	c' <kg/mq>	c_u <kg/mq>	OCR	κ_0	Crit.
1	0.00	2 Argilla ghiaiosa alta consistenza	Coes.	1900.00	1950.00	0.00	10.00	32.00	2200.00	15000.00	1.00	0.50	1

Simbologia

St.	=	Strato
z	=	Profondità della superficie superiore dello strato
E	=	Modulo elastico normale
G	=	Modulo elastico tangenziale
k_j	=	Esponente del parametro tensionale
ν	=	Coeff. di Poisson
E_{ed}	=	Modulo edometrico
E_u	=	Modulo elastico non drenato
Crit.	=	Criterio di progetto

St.	z <m>	E <kg/mq>	G <kg/mq>	k_j	ν	E_{ed} <kg/mq>	E_u <kg/mq>	Crit.
1	0.00	1000000.00	370370.00	0.00	0.35	1600000.00	1110000.00	1

Strati Commenti Pressioni litostatiche



Legenda
pressioni litostatiche:

- σ_{v0} (dotted red)
- σ'_{v0} ——— (solid red)
- σ_{h0} (dotted green)
- σ'_{h0} ——— (solid green)
- u ——— (solid blue)

Figura numero 3: Colonna stratigrafica numero 1 Ipotesi

Colonna stratigrafica numero 2

St.	z <m>	Unità geotecnica	Class.	γ <kg/mc>	γ_{sat} <kg/mc>	D_r	I_p	ϕ' <grad>	c' <kg/mq>	c_u <kg/mq>	OCR	κ_0	Crit.
1	0.00	1 Ghiaia ben gradata sciolta	Inc.	2000.00	2200.00	30.00	0.00	35.00	0.00		1.00	0.43	1

St.	z <m>	E <kg/mq>	G <kg/mq>	k_j	ν	E_{ed} <kg/mq>	E_u <kg/mq>	Crit.
1	0.00	10000000.00	4170000.00	0.00	0.20	11100000.00	0.00	1

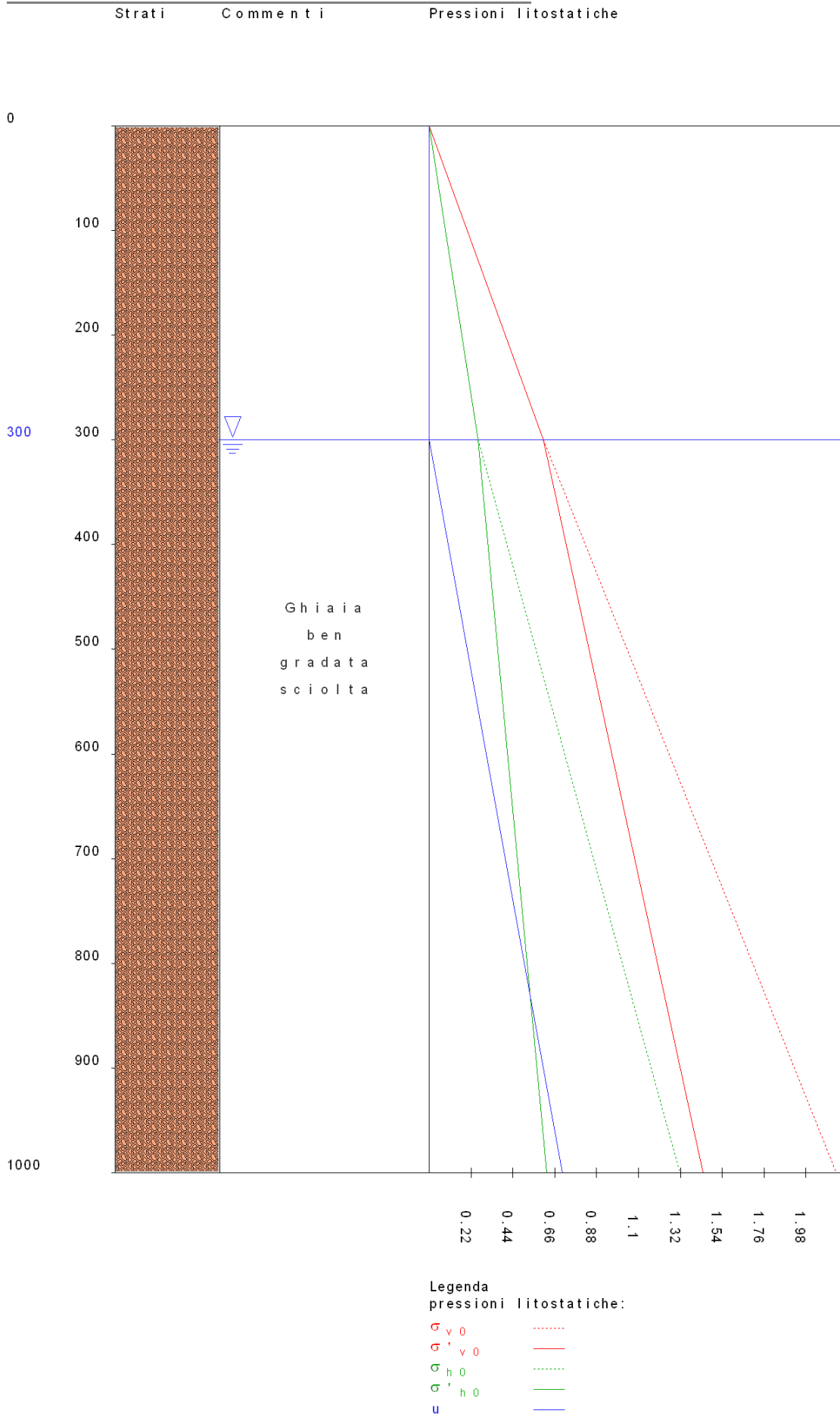


Figura numero 4: Colonna stratigrafica numero 2

Stato ATTUALE - Verifica fondazione

Fondazioni superficiali

Simbologia

B	= Base della fondazione
L	= Lunghezza della fondazione ($L > B$)
D	= Profondità del piano di posa della fondazione
β	= Inclinazione del piano di campagna
η	= Inclinazione del piano di posa della fondazione
γ_r	= Peso specifico rappresentativo del terreno di fondazione
$\sigma_{v0,f}$	= Pressione verticale alla profondità del piano di posa della fondazione
ϕ'_r	= Angolo di attrito rappresentativo del terreno di fondazione
c'_r	= Coesione efficace rappresentativa del terreno di fondazione
N_q	= Coefficiente di capacità portante relativo al sovraccarico laterale
N_c	= Coefficiente di capacità portante relativo alla coesione del terreno di fondazione
N_g	= Coefficiente di capacità portante relativo al peso del terreno di fondazione
b_q	= Fattore di inclinazione del piano di fondazione relativo a sovraccarico laterale
b_c	= Fattore di inclinazione del piano di fondazione relativo a coesione
b_g	= Fattore di inclinazione del piano di fondazione relativo a peso del terreno
f_{ecc}	= Fattore unico di riduzione dell'eccentricità del carico
c_{ur}	= Coesione non drenata rappresentativa del terreno di fondazione
ψ_q	= Fattore di punzonamento relativo al sovraccarico laterale
ψ_c	= Fattore di punzonamento relativo alla coesione del terreno di fondazione
ψ_g	= Fattore di punzonamento relativo al peso del terreno di fondazione
CC	= Numero della combinazione delle condizioni di carico elementari
N	= Sforzo normale
Tx	= Taglio in dir. X
Ty	= Taglio in dir. Y
Mx	= Momento intorno all'asse X
My	= Momento intorno all'asse Y
B'	= Base della fondazione reagente
L'	= Lunghezza della fondazione reagente
s_q	= Fattore di forma relativo a sovraccarico laterale
s_c	= Fattore di forma relativo a coesione
s_g	= Fattore di forma relativo a peso del terreno
i_q	= Fattore di inclinazione relativo a sovraccarico laterale
i_c	= Fattore di inclinazione relativo a coesione
i_g	= Fattore di inclinazione relativo al peso del terreno
q_{lim}	= Pressione limite
R_q	= Resistenza di progetto (Carico limite)
Sic.	= Sicurezza a rottura

Verifiche capacità portante

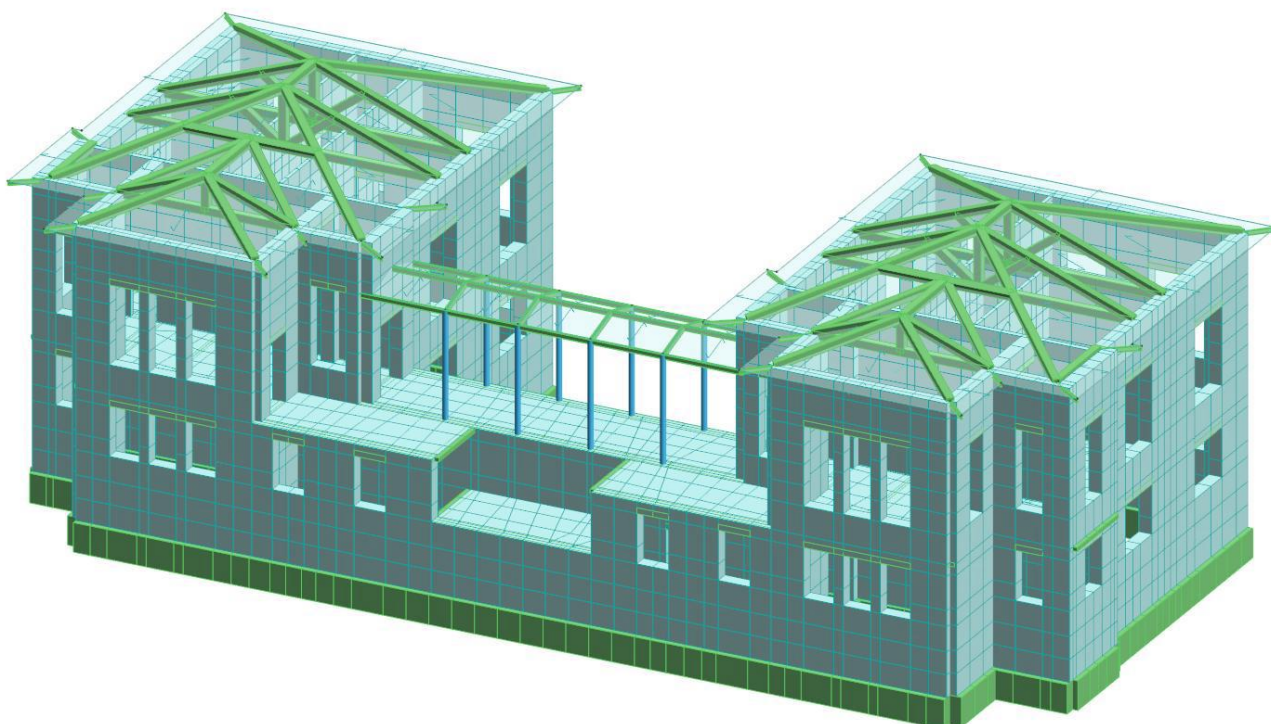


Figura numero 1: Schema struttura esistente per indagine in fondazione

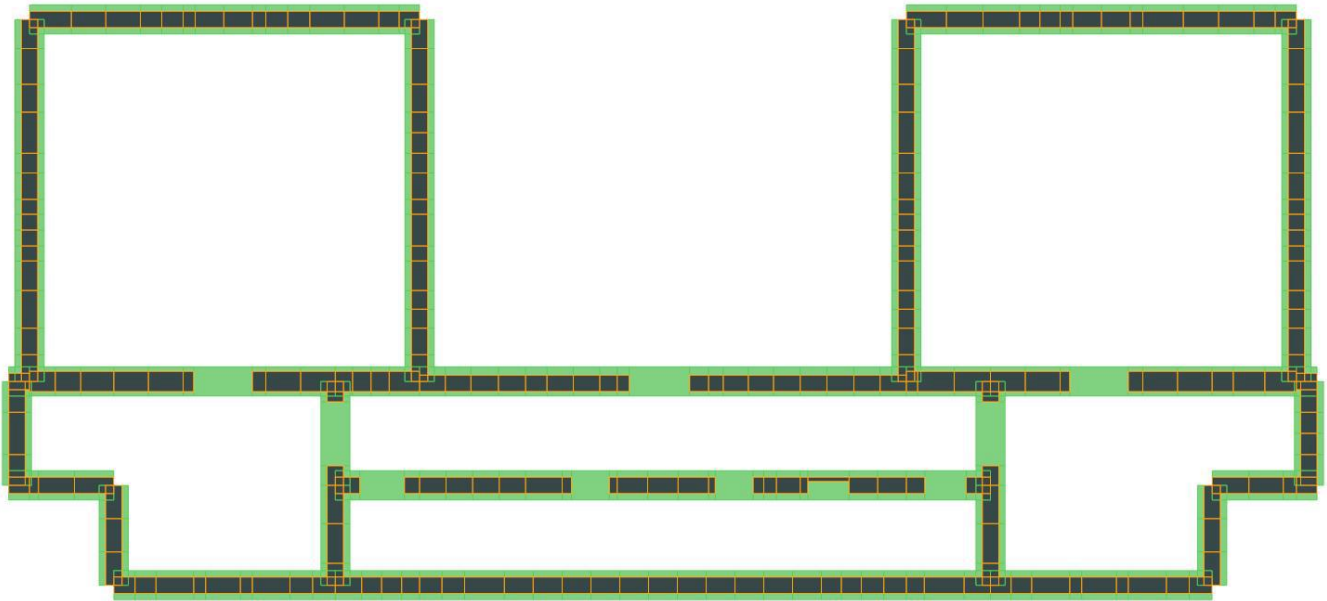


Figura numero 2: Schema fondazioni

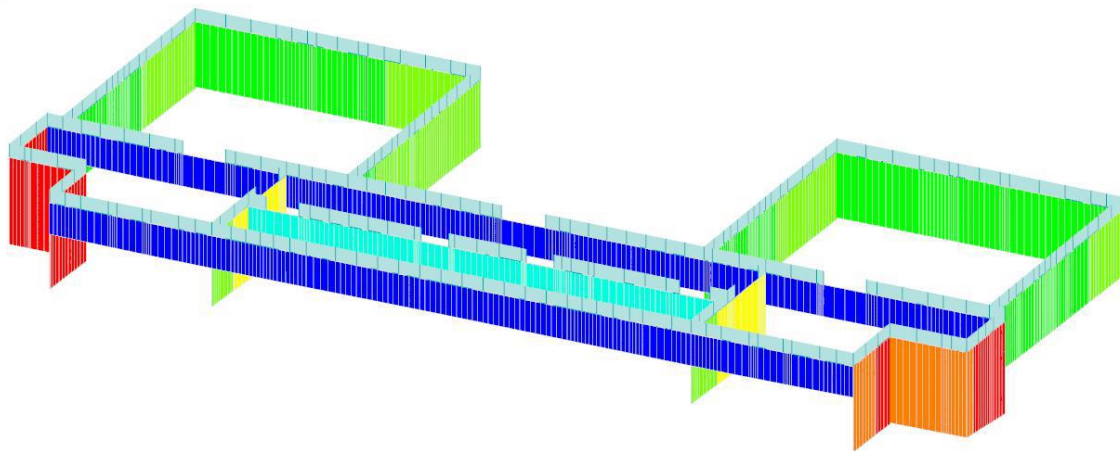
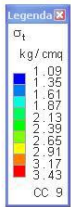


Figura numero 5: Tensioni in fondazione : CC9 - Amb2 (SLU)

Verifiche di capacità portante per rottura generale in condizioni statiche

Metodo utilizzato: Indicazioni EC7

Travata n. 737

B=0.80 <m>; L=2.84 <m>; D=1.00 <m>; $\beta=0.00$ <grad>; $\eta=0.00$ <grad>; $\gamma_r=1900.00$ <kg/mc>
 $\sigma_{v0,r}=1900.00$ <kg/mq>

Verifiche in condizioni drenate

$\phi'_r=32.00$ <grad>; $c'_r=2200.00$ <kg/mq>;
 $N_q=23.18$; $N_c=35.49$; $N_g=27.72$; $b_q=1.00$
 $b_c=1.00$; $b_g=1.00$; $f_{ecc}=0.98$

CC	N <kg>	Tx <kg>	Ty <kg>	Mx <kgm>	My <kgm>	B' <m>	L' <m>	s _q	s _c	s _g	i _q	i _c	i _g	Q _{lim} <kg/mq>	R _d <kg>	Sic.
9	73976.20	-4593.75	11751.80	82.05	-1398.64	0.80	2.80	1.15	1.16	0.91	1.00	1.00	1.00	157712.00	153237.00	2.07

Verifiche in condizioni non drenate

$c_{ur}=15000.00$ <kg/mq>;
 $N_q=1.00$; $N_c=5.14$; $b_q=0.00$; $b_c=1.00$; $f_{ecc}=0.98$

CC	N <kg>	Tx <kg>	Ty <kg>	Mx <kgm>	My <kgm>	B' <m>	L' <m>	s _c	i _q	i _c	Q _{lim} <kg/mq>	R _d <kg>	Sic.
9	73976.20	-4593.75	11751.80	82.05	-1398.64	0.80	2.80	1.06	0.00	1.00	82077.70	79748.60	1.08

Verifiche di capacità portante per rottura generale in condizioni statiche

Metodo utilizzato: Indicazioni EC7

Travata n. 781

B=0.80 <m>; L=2.84 <m>; D=1.00 <m>; $\beta=0.00$ <grad>; $\eta=0.00$ <grad>; $\gamma_r=1900.00$ <kg/mc>
 $\sigma_{v0,r}=1900.00$ <kg/mq>

Verifiche in condizioni drenate

$\phi'_r=32.00$ <grad>; $c'_r=2200.00$ <kg/mq>;
 $N_q=23.18$; $N_c=35.49$; $N_g=27.72$; $b_q=1.00$
 $b_c=1.00$; $b_g=1.00$; $f_{ecc}=0.99$

CC	N <kg>	Tx <kg>	Ty <kg>	Mx <kgm>	My <kgm>	B' <m>	L' <m>	s _q	s _c	s _g	i _q	i _c	i _g	Q _{lim} <kg/mq>	R _d <kg>	Sic.
9	75213.40	4328.39	12929.40	-61.80	-1297.63	0.80	2.80	1.15	1.16	0.91	1.00	1.00	1.00	158018.00	153826.00	2.05

Verifiche in condizioni non drenate

$c_{ur}=15000.00$ <kg/mq>;
 $N_q=1.00$; $N_c=5.14$; $b_q=0.00$; $b_c=1.00$; $f_{ecc}=0.99$

CC	N <kg>	Tx <kg>	Ty <kg>	Mx <kgm>	My <kgm>	B' <m>	L' <m>	s _c	i _q	i _c	Q _{lim} <kg/mq>	R _d <kg>	Sic.
9	75213.40	4328.39	12929.40	-61.80	-1297.63	0.80	2.80	1.06	0.00	1.00	82231.80	80050.40	1.06

Verifiche di capacità portante per rottura generale in condizioni statiche

Metodo utilizzato: Indicazioni EC7

Travata n. 783

B=0.80 <m>; L=2.73 <m>; D=1.00 <m>; $\beta=0.00$ <grad>; $\eta=0.00$ <grad>; $\gamma_r=1900.00$ <kg/mc>
 $\sigma_{v0,r}=1900.00$ <kg/mq>

Verifiche in condizioni drenate

$\phi'_r=32.00$ <grad>; $c'_r=2200.00$ <kg/mq>;
 $N_q=23.18$; $N_c=35.49$; $N_g=27.72$; $b_q=1.00$
 $b_c=1.00$; $b_g=1.00$; $f_{ecc}=1.00$

CC	N	Tx	Ty	Mx	My	B'	L'	s _q	s _c	s _g	i _q	i _c	i _g	Q _{lim}	R _d	Sic.
----	---	----	----	----	----	----	----	----------------	----------------	----------------	----------------	----------------	----------------	------------------	----------------	------

MEYER - stato ATTUALE - verifica in fondazione

	<kg>	<kg>	<kg>	<kgm>	<kgm>	<m>	<m>							<kg/mq>	<kg>	
9	69873.80	1051.37	-1940.84	-36.11	-322.41	0.80	2.72	1.16	1.16	0.91	1.00	1.00	1.00	160091.00	151363.00	2.17

Verifiche in condizioni non drenate

$c_{ur}=15000.00$ <kg/mq>;
 $N_q=1.00$; $N_c=5.14$; $b_q=0.00$; $b_c=1.00$; $f_{ecc}=1.00$

CC	N <kg>	Tx <kg>	Ty <kg>	Mx <kgm>	My <kgm>	B' <m>	L' <m>	s_c	i_q	i_c	q_{lim} <kg/mq>	R_d <kg>	Sic.
9	69873.80	1051.37	-1940.84	-36.11	-322.41	0.80	2.72	1.06	0.00	1.00	83161.90	78627.90	1.13

Verifiche di capacità portante per rottura generale in condizioni statiche

Metodo utilizzato: Indicazioni EC7

Travata n. 789

$B=0.80$ <m>; $L=5.57$ <m>; $D=1.00$ <m>; $\beta=0.00$ <grad>; $\eta=0.00$ <grad>; $\gamma_r=1900.00$ <kg/mc>
 $\sigma_{v0,i}=1900.00$ <kg/mq>

Verifiche in condizioni drenate

$\phi'_r=32.00$ <grad>; $c'_r=2200.00$ <kg/mq>;
 $N_q=23.18$; $N_c=35.49$; $N_g=27.72$; $b_q=1.00$
 $b_c=1.00$; $b_g=1.00$; $f_{ecc}=0.98$

CC	N <kg>	Tx <kg>	Ty <kg>	Mx <kgm>	My <kgm>	B' <m>	L' <m>	s_q	s_c	s_g	i_q	i_c	i_g	q_{lim} <kg/mq>	R_d <kg>	Sic.
9	121441.00	-994.02	9749.71	13.33	-6484.82	0.80	5.46	1.08	1.08	0.96	1.00	1.00	1.00	149038.00	283132.00	2.33

Verifiche in condizioni non drenate

$c_{ur}=15000.00$ <kg/mq>;
 $N_q=1.00$; $N_c=5.14$; $b_q=0.00$; $b_c=1.00$; $f_{ecc}=0.98$

CC	N <kg>	Tx <kg>	Ty <kg>	Mx <kgm>	My <kgm>	B' <m>	L' <m>	s_c	i_q	i_c	q_{lim} <kg/mq>	R_d <kg>	Sic.
9	121441.00	-994.02	9749.71	13.33	-6484.82	0.80	5.46	1.03	0.00	1.00	79701.60	151411.00	1.25

Verifiche di capacità portante per rottura generale in condizioni statiche

Metodo utilizzato: Indicazioni EC7

Travata n. 798

$B=0.80$ <m>; $L=5.57$ <m>; $D=1.00$ <m>; $\beta=0.00$ <grad>; $\eta=0.00$ <grad>; $\gamma_r=1900.00$ <kg/mc>
 $\sigma_{v0,i}=1900.00$ <kg/mq>

Verifiche in condizioni drenate

$\phi'_r=32.00$ <grad>; $c'_r=2200.00$ <kg/mq>;
 $N_q=23.18$; $N_c=35.49$; $N_g=27.72$; $b_q=1.00$
 $b_c=1.00$; $b_g=1.00$; $f_{ecc}=0.98$

CC	N <kg>	Tx <kg>	Ty <kg>	Mx <kgm>	My <kgm>	B' <m>	L' <m>	s_q	s_c	s_g	i_q	i_c	i_g	q_{lim} <kg/mq>	R_d <kg>	Sic.
9	120654.00	1840.75	9516.88	-12.53	-6249.07	0.80	5.47	1.08	1.08	0.96	1.00	1.00	1.00	149124.00	283464.00	2.35

Verifiche in condizioni non drenate

$c_{ur}=15000.00$ <kg/mq>;
 $N_q=1.00$; $N_c=5.14$; $b_q=0.00$; $b_c=1.00$; $f_{ecc}=0.98$

CC	N <kg>	Tx <kg>	Ty <kg>	Mx <kgm>	My <kgm>	B' <m>	L' <m>	s_c	i_q	i_c	q_{lim} <kg/mq>	R_d <kg>	Sic.
9	120654.00	1840.75	9516.88	-12.53	-6249.07	0.80	5.47	1.03	0.00	1.00	79748.40	151591.00	1.26

Verifiche di capacità portante per rottura generale in condizioni statiche

Metodo utilizzato: Indicazioni EC7

Travata n. 804

MEYER - stato ATTUALE - verifica in fondazione

B=0.80 <m>; L=2.73 <m>; D=1.00 <m>; $\beta=0.00$ <grad>; $\eta=0.00$ <grad>; $\gamma_r=1900.00$ <kg/mc>
 $\sigma_{v0,t}=1900.00$ <kg/mq>

Verifiche in condizioni drenate

$\phi'_r=32.00$ <grad>; $c'_r=2200.00$ <kg/mq>;
 $N_q=23.18$; $N_c=35.49$; $N_g=27.72$; $b_q=1.00$
 $b_c=1.00$; $b_g=1.00$; $f_{ecc}=0.99$

CC	N <kg>	Tx <kg>	Ty <kg>	Mx <kgm>	My <kgm>	B' <m>	L' <m>	s _q	s _c	s _g	i _q	i _c	i _g	q _{lim} <kg/mq>	R _d <kg>	Sic.
9	69154.90	-1139.65	-1764.72	52.38	-306.10	0.80	2.72	1.16	1.16	0.91	1.00	1.00	1.00	159992.00	151199.00	2.19

Verifiche in condizioni non drenate

$c_{ur}=15000.00$ <kg/mq>;
 $N_q=1.00$; $N_c=5.14$; $b_q=0.00$; $b_c=1.00$; $f_{ecc}=0.99$

CC	N <kg>	Tx <kg>	Ty <kg>	Mx <kgm>	My <kgm>	B' <m>	L' <m>	s _c	i _q	i _c	q _{lim} <kg/mq>	R _d <kg>	Sic.
9	69154.90	-1139.65	-1764.72	52.38	-306.10	0.80	2.72	1.06	0.00	1.00	83120.00	78551.80	1.14

Verifiche di capacità portante per rottura generale in condizioni statiche

Metodo utilizzato: Indicazioni EC7

Travata n. 840

B=0.80 <m>; L=2.87 <m>; D=1.00 <m>; $\beta=0.00$ <grad>; $\eta=0.00$ <grad>; $\gamma_r=1900.00$ <kg/mc>
 $\sigma_{v0,t}=1900.00$ <kg/mq>

Verifiche in condizioni drenate

$\phi'_r=32.00$ <grad>; $c'_r=2200.00$ <kg/mq>;
 $N_q=23.18$; $N_c=35.49$; $N_g=27.72$; $b_q=1.00$
 $b_c=1.00$; $b_g=1.00$; $f_{ecc}=1.00$

CC	N <kg>	Tx <kg>	Ty <kg>	Mx <kgm>	My <kgm>	B' <m>	L' <m>	s _q	s _c	s _g	i _q	i _c	i _g	q _{lim} <kg/mq>	R _d <kg>	Sic.
9	73004.50	-164.62	2379.96	139.65	5.17	0.80	2.87	1.15	1.15	0.92	1.00	1.00	1.00	159030.00	157987.00	2.16

Verifiche in condizioni non drenate

$c_{ur}=15000.00$ <kg/mq>;
 $N_q=1.00$; $N_c=5.14$; $b_q=0.00$; $b_c=1.00$; $f_{ecc}=1.00$

CC	N <kg>	Tx <kg>	Ty <kg>	Mx <kgm>	My <kgm>	B' <m>	L' <m>	s _c	i _q	i _c	q _{lim} <kg/mq>	R _d <kg>	Sic.
9	73004.50	-164.62	2379.96	139.65	5.17	0.80	2.87	1.06	0.00	1.00	82900.70	82356.70	1.13

Verifiche di capacità portante per rottura generale in condizioni statiche

Metodo utilizzato: Indicazioni EC7

Travata n. 851

B=0.80 <m>; L=9.90 <m>; D=1.00 <m>; $\beta=0.00$ <grad>; $\eta=0.00$ <grad>; $\gamma_r=1900.00$ <kg/mc>
 $\sigma_{v0,t}=1900.00$ <kg/mq>

Verifiche in condizioni drenate

$\phi'_r=32.00$ <grad>; $c'_r=2200.00$ <kg/mq>;
 $N_q=23.18$; $N_c=35.49$; $N_g=27.72$; $b_q=1.00$
 $b_c=1.00$; $b_g=1.00$; $f_{ecc}=0.99$

CC	N <kg>	Tx <kg>	Ty <kg>	Mx <kgm>	My <kgm>	B' <m>	L' <m>	s _q	s _c	s _g	i _q	i _c	i _g	q _{lim} <kg/mq>	R _d <kg>	Sic.
9	187885.00	7675.33	-9598.84	-116.51	-11853.10	0.80	9.77	1.04	1.05	0.98	1.00	1.00	1.00	145957.00	495424.00	2.64

Verifiche in condizioni non drenate

$c_{ur}=15000.00$ <kg/mq>;
 $N_q=1.00$; $N_c=5.14$; $b_q=0.00$; $b_c=1.00$; $f_{ecc}=0.99$

CC	N <kg>	Tx <kg>	Ty <kg>	Mx <kgm>	My <kgm>	B' <m>	L' <m>	s _c	i _q	i _c	q _{lim} <kg/mq>	R _d <kg>	Sic.
9	187885.00	7675.33	-9598.84	-116.51	-11853.10	0.80	9.77	1.06	0.00	1.00	82900.70	82356.70	1.13

MEYER - stato ATTUALE - verifica in fondazione

9	187885.00	7675.33	-9598.84	-116.51	-11853.10	0.80	9.77	1.02	0.00	1.00	79138.40	268621.00	1.43
---	-----------	---------	----------	---------	-----------	------	------	------	------	------	----------	-----------	------

Verifiche di capacità portante per rottura generale in condizioni statiche

Metodo utilizzato: Indicazioni EC7

Travata n. 874

B=0.80 <m>; L=9.90 <m>; D=1.00 <m>; $\beta=0.00$ <grad>; $\eta=0.00$ <grad>; $\gamma_r=1900.00$ <kg/mc>
 $\sigma_{v0,r}=1900.00$ <kg/mq>

Verifiche in condizioni drenate

$\phi'_r=32.00$ <grad>; $c'_r=2200.00$ <kg/mq>;
 $N_q=23.18$; $N_c=35.49$; $N_g=27.72$; $b_q=1.00$
 $b_c=1.00$; $b_g=1.00$; $f_{ecc}=0.99$

CC	N <kg>	Tx <kg>	Ty <kg>	Mx <kgm>	My <kgm>	B' <m>	L' <m>	s _q	s _c	s _g	i _q	i _c	i _g	Q _{lim} <kg/mq>	R _d <kg>	Sic.
9	186069.00	-8411.11	-9799.45	150.89	-11523.40	0.80	9.78	1.04	1.05	0.98	1.00	1.00	1.00	145908.00	495140.00	2.66

Verifiche in condizioni non drenate

$c_{ur}=15000.00$ <kg/mq>;
 $N_q=1.00$; $N_c=5.14$; $b_q=0.00$; $b_c=1.00$; $f_{ecc}=0.99$

CC	N <kg>	Tx <kg>	Ty <kg>	Mx <kgm>	My <kgm>	B' <m>	L' <m>	s _c	i _q	i _c	Q _{lim} <kg/mq>	R _d <kg>	Sic.
9	186069.00	-8411.11	-9799.45	150.89	-11523.40	0.80	9.78	1.02	0.00	1.00	79118.40	268489.00	1.44

Verifiche di capacità portante per rottura generale in condizioni statiche

Metodo utilizzato: Indicazioni EC7

Travata n. 977

B=0.80 <m>; L=30.01 <m>; D=1.00 <m>; $\beta=0.00$ <grad>; $\eta=0.00$ <grad>; $\gamma_r=1900.00$ <kg/mc>
 $\sigma_{v0,r}=1900.00$ <kg/mq>

Verifiche in condizioni drenate

$\phi'_r=32.00$ <grad>; $c'_r=2200.00$ <kg/mq>;
 $N_q=23.18$; $N_c=35.49$; $N_g=27.72$; $b_q=1.00$
 $b_c=1.00$; $b_g=1.00$; $f_{ecc}=1.00$

CC	N <kg>	Tx <kg>	Ty <kg>	Mx <kgm>	My <kgm>	B' <m>	L' <m>	s _q	s _c	s _g	i _q	i _c	i _g	Q _{lim} <kg/mq>	R _d <kg>	Sic.
9	279122.00	1658.94	7415.54	292.45	5917.95	0.80	29.97	1.01	1.01	0.99	1.00	1.00	1.00	144144.00	1498650.00	5.37

Verifiche in condizioni non drenate

$c_{ur}=15000.00$ <kg/mq>;
 $N_q=1.00$; $N_c=5.14$; $b_q=0.00$; $b_c=1.00$; $f_{ecc}=1.00$

CC	N <kg>	Tx <kg>	Ty <kg>	Mx <kgm>	My <kgm>	B' <m>	L' <m>	s _c	i _q	i _c	Q _{lim} <kg/mq>	R _d <kg>	Sic.
9	279122.00	1658.94	7415.54	292.45	5917.95	0.80	29.97	1.01	0.00	1.00	79114.60	822547.00	2.95

Verifiche di capacità portante per rottura generale in condizioni statiche

Metodo utilizzato: Indicazioni EC7

Travata n. 987

B=0.80 <m>; L=10.66 <m>; D=1.00 <m>; $\beta=0.00$ <grad>; $\eta=0.00$ <grad>; $\gamma_r=1900.00$ <kg/mc>
 $\sigma_{v0,r}=1900.00$ <kg/mq>

Verifiche in condizioni drenate

$\phi'_r=32.00$ <grad>; $c'_r=2200.00$ <kg/mq>;
 $N_q=23.18$; $N_c=35.49$; $N_g=27.72$; $b_q=1.00$
 $b_c=1.00$; $b_g=1.00$; $f_{ecc}=1.00$

CC	N <kg>	Tx <kg>	Ty <kg>	Mx <kgm>	My <kgm>	B' <m>	L' <m>	s _q	s _c	s _g	i _q	i _c	i _g	Q _{lim} <kg/mq>	R _d <kg>	Sic.
9	203855.00	2530.96	-3985.45	181.71	-1722.27	0.80	10.64	1.04	1.04	0.98	1.00	1.00	1.00	147090.00	543103.00	2.66

MEYER - stato ATTUALE - verifica in fondazione

Verifiche in condizioni non drenate

$c_{ur}=15000.00$ <kg/mq>;
 $N_q=1.00$; $N_c=5.14$; $b_q=0.00$; $b_c=1.00$; $f_{ecc}=1.00$

CC	N <kg>	Tx <kg>	Ty <kg>	Mx <kgm>	My <kgm>	B' <m>	L' <m>	s _c	i _q	i _c	q _{lim} <kg/mq>	R _d <kg>	Sic.
9	203855.00	2530.96	-3985.45	181.71	-1722.27	0.80	10.64	1.02	0.00	1.00	79875.70	294926.00	1.45

Verifiche di capacità portante per rottura generale in condizioni statiche

Metodo utilizzato: Indicazioni EC7

Travata n. 997

$B=0.80$ <m>; $L=9.90$ <m>; $D=1.00$ <m>; $\beta=0.00$ <grad>; $\eta=0.00$ <grad>; $\gamma_r=1900.00$ <kg/mc>
 $\sigma_{v0,f}=1900.00$ <kg/mq>

Verifiche in condizioni drenate

$\phi'_r=32.00$ <grad>; $c'_r=2200.00$ <kg/mq>;
 $N_q=23.18$; $N_c=35.49$; $N_g=27.72$; $b_q=1.00$
 $b_c=1.00$; $b_g=1.00$; $f_{ecc}=0.99$

CC	N <kg>	Tx <kg>	Ty <kg>	Mx <kgm>	My <kgm>	B' <m>	L' <m>	s _q	s _c	s _g	i _q	i _c	i _g	q _{lim} <kg/mq>	R _d <kg>	Sic.
9	191829.00	-2751.81	-14463.00	-36.31	-7191.27	0.80	9.83	1.04	1.05	0.98	1.00	1.00	1.00	146881.00	501714.00	2.62

Verifiche in condizioni non drenate

$c_{ur}=15000.00$ <kg/mq>;
 $N_q=1.00$; $N_c=5.14$; $b_q=0.00$; $b_c=1.00$; $f_{ecc}=0.99$

CC	N <kg>	Tx <kg>	Ty <kg>	Mx <kgm>	My <kgm>	B' <m>	L' <m>	s _c	i _q	i _c	q _{lim} <kg/mq>	R _d <kg>	Sic.
9	191829.00	-2751.81	-14463.00	-36.31	-7191.27	0.80	9.83	1.02	0.00	1.00	79633.60	272011.00	1.42

Verifiche di capacità portante per rottura generale in condizioni statiche

Metodo utilizzato: Indicazioni EC7

Travata n. 1004

$B=0.80$ <m>; $L=9.90$ <m>; $D=1.00$ <m>; $\beta=0.00$ <grad>; $\eta=0.00$ <grad>; $\gamma_r=1900.00$ <kg/mc>
 $\sigma_{v0,f}=1900.00$ <kg/mq>

Verifiche in condizioni drenate

$\phi'_r=32.00$ <grad>; $c'_r=2200.00$ <kg/mq>;
 $N_q=23.18$; $N_c=35.49$; $N_g=27.72$; $b_q=1.00$
 $b_c=1.00$; $b_g=1.00$; $f_{ecc}=0.99$

CC	N <kg>	Tx <kg>	Ty <kg>	Mx <kgm>	My <kgm>	B' <m>	L' <m>	s _q	s _c	s _g	i _q	i _c	i _g	q _{lim} <kg/mq>	R _d <kg>	Sic.
9	189659.00	2627.66	-14337.00	32.11	-6932.53	0.80	9.83	1.04	1.05	0.98	1.00	1.00	1.00	146917.00	501957.00	2.65

Verifiche in condizioni non drenate

$c_{ur}=15000.00$ <kg/mq>;
 $N_q=1.00$; $N_c=5.14$; $b_q=0.00$; $b_c=1.00$; $f_{ecc}=0.99$

CC	N <kg>	Tx <kg>	Ty <kg>	Mx <kgm>	My <kgm>	B' <m>	L' <m>	s _c	i _q	i _c	q _{lim} <kg/mq>	R _d <kg>	Sic.
9	189659.00	2627.66	-14337.00	32.11	-6932.53	0.80	9.83	1.02	0.00	1.00	79652.60	272141.00	1.43

Verifiche di capacità portante per rottura generale in condizioni statiche

Metodo utilizzato: Indicazioni EC7

Travata n. 1116

$B=0.80$ <m>; $L=17.90$ <m>; $D=1.00$ <m>; $\beta=0.00$ <grad>; $\eta=0.00$ <grad>; $\gamma_r=1900.00$ <kg/mc>
 $\sigma_{v0,f}=1900.00$ <kg/mq>

Verifiche in condizioni drenate

MEYER - stato ATTUALE - verifica in fondazione

$\phi'_r=32.00$ <grad>; $c'_r=2200.00$ <kg/mq>;
 $N_q=23.18$; $N_c=35.49$; $N_g=27.72$; $b_q=1.00$
 $b_c=1.00$; $b_g=1.00$; $f_{ecc}=0.99$

CC	N <kg>	Tx <kg>	Ty <kg>	Mx <kgm>	My <kgm>	B' <m>	L' <m>	s _q	s _c	s _g	i _q	i _c	i _g	Q _{lim} <kg/mq>	R _d <kg>	Sic.
9	238043.00	-1334.14	5161.99	480.80	3934.24	0.80	17.87	1.02	1.02	0.99	1.00	1.00	1.00	144753.00	895041.00	3.76

Verifiche in condizioni non drenate

$c_{ur}=15000.00$ <kg/mq>;
 $N_q=1.00$; $N_c=5.14$; $b_q=0.00$; $b_c=1.00$; $f_{ecc}=0.99$

CC	N <kg>	Tx <kg>	Ty <kg>	Mx <kgm>	My <kgm>	B' <m>	L' <m>	s _c	i _q	i _c	Q _{lim} <kg/mq>	R _d <kg>	Sic.
9	238043.00	-1334.14	5161.99	480.80	3934.24	0.80	17.87	1.01	0.00	1.00	79162.10	489476.00	2.06

Verifiche di capacità portante per rottura generale in condizioni statiche

Metodo utilizzato: Indicazioni EC7

Travata n. 1187

$B=0.80$ <m>; $L=35.75$ <m>; $D=1.00$ <m>; $\beta=0.00$ <grad>; $\eta=0.00$ <grad>; $\gamma_r=1900.00$ <kg/mc>
 $\sigma_{v0,r}=1900.00$ <kg/mq>

Verifiche in condizioni drenate

$\phi'_r=32.00$ <grad>; $c'_r=2200.00$ <kg/mq>;
 $N_q=23.18$; $N_c=35.49$; $N_g=27.72$; $b_q=1.00$
 $b_c=1.00$; $b_g=1.00$; $f_{ecc}=0.99$

CC	N <kg>	Tx <kg>	Ty <kg>	Mx <kgm>	My <kgm>	B' <m>	L' <m>	s _q	s _c	s _g	i _q	i _c	i _g	Q _{lim} <kg/mq>	R _d <kg>	Sic.
9	330895.00	3319.00	11987.50	511.01	12650.40	0.80	35.68	1.01	1.01	0.99	1.00	1.00	1.00	143578.00	1774760.00	5.36

Verifiche in condizioni non drenate

$c_{ur}=15000.00$ <kg/mq>;
 $N_q=1.00$; $N_c=5.14$; $b_q=0.00$; $b_c=1.00$; $f_{ecc}=0.99$

CC	N <kg>	Tx <kg>	Ty <kg>	Mx <kgm>	My <kgm>	B' <m>	L' <m>	s _c	i _q	i _c	Q _{lim} <kg/mq>	R _d <kg>	Sic.
9	330895.00	3319.00	11987.50	511.01	12650.40	0.80	35.68	1.00	0.00	1.00	78893.00	975194.00	2.95

Verifiche di capacità portante per rottura generale in condizioni statiche

Metodo utilizzato: Indicazioni EC7

Travata n. 1323

$B=0.80$ <m>; $L=2.87$ <m>; $D=1.00$ <m>; $\beta=0.00$ <grad>; $\eta=0.00$ <grad>; $\gamma_r=1900.00$ <kg/mc>
 $\sigma_{v0,r}=1900.00$ <kg/mq>

Verifiche in condizioni drenate

$\phi'_r=32.00$ <grad>; $c'_r=2200.00$ <kg/mq>;
 $N_q=23.18$; $N_c=35.49$; $N_g=27.72$; $b_q=1.00$
 $b_c=1.00$; $b_g=1.00$; $f_{ecc}=0.99$

CC	N <kg>	Tx <kg>	Ty <kg>	Mx <kgm>	My <kgm>	B' <m>	L' <m>	s _q	s _c	s _g	i _q	i _c	i _g	Q _{lim} <kg/mq>	R _d <kg>	Sic.
9	71899.80	-572.15	1463.80	145.93	157.78	0.80	2.87	1.15	1.15	0.92	1.00	1.00	1.00	158763.00	157441.00	2.19

Verifiche in condizioni non drenate

$c_{ur}=15000.00$ <kg/mq>;
 $N_q=1.00$; $N_c=5.14$; $b_q=0.00$; $b_c=1.00$; $f_{ecc}=0.99$

CC	N <kg>	Tx <kg>	Ty <kg>	Mx <kgm>	My <kgm>	B' <m>	L' <m>	s _c	i _q	i _c	Q _{lim} <kg/mq>	R _d <kg>	Sic.
9	71899.80	-572.15	1463.80	145.93	157.78	0.80	2.87	1.06	0.00	1.00	82758.80	82070.10	1.14

Verifiche di capacità portante per rottura generale in condizioni statiche

MEYER - stato ATTUALE - verifica in fondazione

Metodo utilizzato: Indicazioni EC7

Travata n. 1332

B=0.80 <m>; L=10.66 <m>; D=1.00 <m>; $\beta=0.00$ <grad>; $\eta=0.00$ <grad>; $\gamma_r=1900.00$ <kg/mc>
 $\sigma_{v0,r}=1900.00$ <kg/mq>

Verifiche in condizioni drenate

$\phi'_r=32.00$ <grad>; $c'_r=2200.00$ <kg/mq>;
 $N_q=23.18$; $N_c=35.49$; $N_g=27.72$; $b_q=1.00$
 $b_c=1.00$; $b_g=1.00$; $f_{ecc}=1.00$

CC	N <kg>	Tx <kg>	Ty <kg>	Mx <kgm>	My <kgm>	B' <m>	L' <m>	s _q	s _c	s _g	i _q	i _c	i _g	Q _{lim} <kg/mq>	R _d <kg>	Sic.
9	202710.00	-5628.81	-4536.67	195.14	2292.79	0.80	10.63	1.04	1.04	0.98	1.00	1.00	1.00	146983.00	542317.00	2.68

Verifiche in condizioni non drenate

$c_{ur}=15000.00$ <kg/mq>;
 $N_q=1.00$; $N_c=5.14$; $b_q=0.00$; $b_c=1.00$; $f_{ecc}=1.00$

CC	N <kg>	Tx <kg>	Ty <kg>	Mx <kgm>	My <kgm>	B' <m>	L' <m>	s _c	i _q	i _c	Q _{lim} <kg/mq>	R _d <kg>	Sic.
9	202710.00	-5628.81	-4536.67	195.14	2292.79	0.80	10.63	1.02	0.00	1.00	79818.80	294505.00	1.45

Verifiche di capacità portante per rottura generale in condizioni sismiche

Metodo utilizzato: Condizioni statiche

Travata n. 737

B=0.80 <m>; L=2.84 <m>; D=1.00 <m>; $\beta=0.00$ <grad>; $\eta=0.00$ <grad>; $\gamma_r=1900.00$ <kg/mc>
 $\sigma_{v0,r}=1900.00$ <kg/mq>

Verifiche in condizioni drenate

$\phi'_r=32.00$ <grad>; $c'_r=2200.00$ <kg/mq>;
 $N_q=23.18$; $N_c=35.49$; $N_g=27.72$; $b_q=1.00$
 $b_c=1.00$; $b_g=1.00$; $f_{ecc}=0.98$

CC	N <kg>	Tx <kg>	Ty <kg>	Mx <kgm>	My <kgm>	B' <m>	L' <m>	s _q	s _c	s _g	i _q	i _c	i _g	Q _{lim} <kg/mq>	R _d <kg>	Sic.
1	66178.30	-5973.25	19031.10	337.08	-620.01	0.79	2.82	1.15	1.16	0.92	1.00	1.00	1.00	156731.00	151789.00	2.29
2	62881.50	-5057.83	10943.60	274.44	-1452.13	0.79	2.79	1.15	1.16	0.92	1.00	1.00	1.00	155718.00	149616.00	2.38
3	65619.40	-5786.44	23121.90	247.34	279.45	0.79	2.83	1.15	1.16	0.92	1.00	1.00	1.00	157885.00	153975.00	2.35
4	61843.60	-4710.88	18540.80	107.77	218.30	0.80	2.83	1.15	1.16	0.92	1.00	1.00	1.00	158948.00	155886.00	2.52
5	67233.00	-5741.17	22731.10	322.15	-454.76	0.79	2.83	1.15	1.15	0.92	1.00	1.00	1.00	157137.00	152580.00	2.27
6	63936.20	-4825.74	14643.60	259.52	-1286.89	0.79	2.80	1.15	1.16	0.92	1.00	1.00	1.00	156161.00	150477.00	2.35
7	66674.20	-5554.35	26821.90	232.41	444.70	0.79	2.83	1.15	1.16	0.92	1.00	1.00	1.00	157783.00	153723.00	2.31
8	62898.30	-4478.79	22240.80	92.84	383.55	0.80	2.83	1.15	1.16	0.92	1.00	1.00	1.00	158821.00	155582.00	2.47

Verifiche in condizioni non drenate

$c_{ur}=15000.00$ <kg/mq>;
 $N_q=1.00$; $N_c=5.14$; $b_q=0.00$; $b_c=1.00$; $f_{ecc}=0.98$

CC	N <kg>	Tx <kg>	Ty <kg>	Mx <kgm>	My <kgm>	B' <m>	L' <m>	s _c	i _q	i _c	Q _{lim} <kg/mq>	R _d <kg>	Sic.
1	66178.30	-5973.25	19031.10	337.08	-620.01	0.79	2.82	1.06	0.00	1.00	81739.30	79162.00	1.20
2	62881.50	-5057.83	10943.60	274.44	-1452.13	0.79	2.79	1.06	0.00	1.00	81142.30	77962.70	1.24
3	65619.40	-5786.44	23121.90	247.34	279.45	0.79	2.83	1.06	0.00	1.00	82309.40	80271.30	1.22
4	61843.60	-4710.88	18540.80	107.77	218.30	0.80	2.83	1.06	0.00	1.00	82792.70	81197.40	1.31
5	67233.00	-5741.17	22731.10	322.15	-454.76	0.79	2.83	1.06	0.00	1.00	81948.30	79571.80	1.18
6	63936.20	-4825.74	14643.60	259.52	-1286.89	0.79	2.80	1.06	0.00	1.00	81371.70	78409.60	1.23
7	66674.20	-5554.35	26821.90	232.41	444.70	0.79	2.83	1.06	0.00	1.00	82238.30	80122.60	1.20
8	62898.30	-4478.79	22240.80	92.84	383.55	0.80	2.83	1.06	0.00	1.00	82708.60	81022.00	1.29

Verifiche di capacità portante per rottura generale in condizioni sismiche

Metodo utilizzato: Condizioni statiche

Travata n. 781

B=0.80 <m>; L=2.84 <m>; D=1.00 <m>; $\beta=0.00$ <grad>; $\eta=0.00$ <grad>; $\gamma_r=1900.00$ <kg/mc>
 $\sigma_{v0,r}=1900.00$ <kg/mq>

MEYER - stato ATTUALE - verifica in fondazione

Verifiche in condizioni drenate

$\phi'_r=32.00$ <grad>; $c'_r=2200.00$ <kg/mq>;
 $N_q=23.18$; $N_c=35.49$; $N_g=27.72$; $b_q=1.00$
 $b_c=1.00$; $b_g=1.00$; $f_{ecc}=0.99$

CC	N <kg>	Tx <kg>	Ty <kg>	Mx <kgm>	My <kgm>	B' <m>	L' <m>	s _q	s _c	s _g	i _q	i _c	i _g	Q _{lim} <kg/mq>	R _d <kg>	Sic.
1	68297.90	5823.69	25926.10	-218.34	-194.00	0.79	2.83	1.15	1.16	0.92	1.00	1.00	1.00	158306.00	154764.00	2.27
2	65301.80	4749.52	17389.20	-189.04	-1106.21	0.79	2.81	1.15	1.16	0.92	1.00	1.00	1.00	157043.00	152117.00	2.33
3	67260.70	5659.73	29332.00	-138.96	719.41	0.80	2.82	1.15	1.16	0.92	1.00	1.00	1.00	158072.00	154116.00	2.29
4	63375.60	4445.02	23714.40	-41.61	590.12	0.80	2.82	1.15	1.16	0.92	1.00	1.00	1.00	158898.00	155623.00	2.46
5	67229.50	6102.79	21657.80	-326.00	-418.19	0.79	2.83	1.15	1.15	0.92	1.00	1.00	1.00	157163.00	152642.00	2.27
6	64233.40	5028.62	13120.90	-268.73	-1330.40	0.79	2.80	1.15	1.16	0.92	1.00	1.00	1.00	156043.00	150253.00	2.34
7	66192.30	5938.83	25063.70	-225.02	495.22	0.79	2.82	1.15	1.16	0.92	1.00	1.00	1.00	157744.00	153631.00	2.32
8	62307.20	4724.12	19446.10	-81.19	365.93	0.80	2.83	1.15	1.16	0.92	1.00	1.00	1.00	158928.00	155779.00	2.50

Verifiche in condizioni non drenate

$c_{ur}=15000.00$ <kg/mq>;
 $N_q=1.00$; $N_c=5.14$; $b_q=0.00$; $b_c=1.00$; $f_{ecc}=0.99$

CC	N <kg>	Tx <kg>	Ty <kg>	Mx <kgm>	My <kgm>	B' <m>	L' <m>	s _c	i _q	i _c	Q _{lim} <kg/mq>	R _d <kg>	Sic.
1	68297.90	5823.69	25926.10	-218.34	-194.00	0.79	2.83	1.06	0.00	1.00	82512.80	80666.70	1.18
2	65301.80	4749.52	17389.20	-189.04	-1106.21	0.79	2.81	1.06	0.00	1.00	81799.60	79233.80	1.21
3	67260.70	5659.73	29332.00	-138.96	719.41	0.80	2.82	1.06	0.00	1.00	82325.20	80265.10	1.19
4	63375.60	4445.02	23714.40	-41.61	590.12	0.80	2.82	1.06	0.00	1.00	82709.00	81004.40	1.28
5	67229.50	6102.79	21657.80	-326.00	-418.19	0.79	2.83	1.06	0.00	1.00	81965.70	79607.70	1.18
6	64233.40	5028.62	13120.90	-268.73	-1330.40	0.79	2.80	1.06	0.00	1.00	81312.50	78295.20	1.22
7	66192.30	5938.83	25063.70	-225.02	495.22	0.79	2.82	1.06	0.00	1.00	82212.30	80068.70	1.21
8	62307.20	4724.12	19446.10	-81.19	365.93	0.80	2.83	1.06	0.00	1.00	82758.90	81119.30	1.30

Verifiche di capacità portante per rottura generale in condizioni sismiche

Metodo utilizzato: Condizioni statiche

Travata n. 783

$B=0.80$ <m>; $L=2.73$ <m>; $D=1.00$ <m>; $\beta=0.00$ <grad>; $\eta=0.00$ <grad>; $\gamma_r=1900.00$ <kg/mc>
 $\sigma_{v0,f}=1900.00$ <kg/mq>

Verifiche in condizioni drenate

$\phi'_r=32.00$ <grad>; $c'_r=2200.00$ <kg/mq>;
 $N_q=23.18$; $N_c=35.49$; $N_g=27.72$; $b_q=1.00$
 $b_c=1.00$; $b_g=1.00$; $f_{ecc}=0.98$

CC	N <kg>	Tx <kg>	Ty <kg>	Mx <kgm>	My <kgm>	B' <m>	L' <m>	s _q	s _c	s _g	i _q	i _c	i _g	Q _{lim} <kg/mq>	R _d <kg>	Sic.
1	64981.00	-527.63	-6433.58	-162.59	910.99	0.80	2.70	1.16	1.16	0.91	1.00	1.00	1.00	158134.00	147742.00	2.27
2	58753.90	136.33	-3117.27	-116.37	-168.26	0.80	2.73	1.15	1.16	0.91	1.00	1.00	1.00	159553.00	150494.00	2.56
3	68529.50	-830.40	-7259.40	-132.46	1855.81	0.80	2.68	1.16	1.16	0.91	1.00	1.00	1.00	157051.00	145520.00	2.12
4	65344.00	-425.94	-4650.94	-60.41	1586.39	0.80	2.68	1.16	1.16	0.91	1.00	1.00	1.00	157834.00	146922.00	2.25
5	63519.20	3967.22	-13406.90	-279.33	663.85	0.79	2.71	1.15	1.16	0.91	1.00	1.00	1.00	157578.00	146907.00	2.31
6	57292.20	2752.91	-7997.50	-200.37	-415.40	0.79	2.72	1.15	1.16	0.91	1.00	1.00	1.00	158351.00	148313.00	2.59
7	67067.80	3967.28	-14825.70	-231.58	1608.67	0.79	2.68	1.16	1.16	0.91	1.00	1.00	1.00	156635.00	144914.00	2.16
8	63882.30	2753.02	-10632.40	-111.69	1339.25	0.80	2.69	1.16	1.16	0.91	1.00	1.00	1.00	157779.00	146930.00	2.30

Verifiche in condizioni non drenate

$c_{ur}=15000.00$ <kg/mq>;
 $N_q=1.00$; $N_c=5.14$; $b_q=0.00$; $b_c=1.00$; $f_{ecc}=0.98$

CC	N <kg>	Tx <kg>	Ty <kg>	Mx <kgm>	My <kgm>	B' <m>	L' <m>	s _c	i _q	i _c	Q _{lim} <kg/mq>	R _d <kg>	Sic.
1	64981.00	-527.63	-6433.58	-162.59	910.99	0.80	2.70	1.06	0.00	1.00	82185.40	76784.20	1.18
2	58753.90	136.33	-3117.27	-116.37	-168.26	0.80	2.73	1.06	0.00	1.00	82941.50	78232.70	1.33
3	68529.50	-830.40	-7259.40	-132.46	1855.81	0.80	2.68	1.06	0.00	1.00	81557.30	75569.00	1.10
4	65344.00	-425.94	-4650.94	-60.41	1586.39	0.80	2.68	1.06	0.00	1.00	81937.10	76272.60	1.17
5	63519.20	3967.22	-13406.90	-279.33	663.85	0.79	2.71	1.06	0.00	1.00	81976.60	76425.10	1.20
6	57292.20	2752.91	-7997.50	-200.37	-415.40	0.79	2.72	1.06	0.00	1.00	82356.80	77136.10	1.35
7	67067.80	3967.28	-14825.70	-231.58	1608.67	0.79	2.68	1.06	0.00	1.00	81406.40	75314.90	1.12
8	63882.30	2753.02	-10632.40	-111.69	1339.25	0.80	2.69	1.06	0.00	1.00	81949.60	76314.80	1.19

Verifiche di capacità portante per rottura generale in condizioni sismiche

MEYER - stato ATTUALE - verifica in fondazione

Metodo utilizzato: Condizioni statiche

Travata n. 789

B=0.80 <m>; L=5.57 <m>; D=1.00 <m>; β=0.00 <grad>; η=0.00 <grad>; γ_r=1900.00 <kg/mc>
 σ_{v0,r}=1900.00 <kg/mq>

Verifiche in condizioni drenate

φ'_r=32.00 <grad>; c'_r=2200.00 <kg/mq>;
 N_q=23.18 ; N_c=35.49 ; N_γ=27.72 ; b_q=1.00
 b_c=1.00 ; b_γ=1.00 ; f_{ecc}=0.99

CC	N <kg>	Tx <kg>	Ty <kg>	Mx <kgm>	My <kgm>	B' <m>	L' <m>	s _q	s _c	s _γ	i _q	i _c	i _γ	Q _{lim} <kg/mq>	R _d <kg>	Sic.
1	103759.00	-5028.32	14522.80	232.99	-27.61	0.80	5.57	1.08	1.08	0.96	1.00	1.00	1.00	150806.00	290501.00	2.80
2	97545.00	-4550.37	5061.28	189.05	-5020.58	0.80	5.47	1.08	1.08	0.96	1.00	1.00	1.00	148326.00	280689.00	2.88
3	108440.00	-2990.16	23850.80	151.61	4563.31	0.80	5.49	1.08	1.08	0.96	1.00	1.00	1.00	149047.00	283404.00	2.61
4	106239.00	-765.22	22384.60	37.92	3505.35	0.80	5.50	1.08	1.08	0.96	1.00	1.00	1.00	149977.00	286865.00	2.70
5	103071.00	-4634.21	13388.30	124.09	-895.10	0.80	5.55	1.08	1.08	0.96	1.00	1.00	1.00	150844.00	290456.00	2.82
6	96857.70	-4156.26	3926.74	111.67	-5888.07	0.80	5.45	1.08	1.08	0.96	1.00	1.00	1.00	148197.00	280039.00	2.89
7	107753.00	-2596.05	22716.20	61.98	3695.80	0.80	5.50	1.08	1.08	0.96	1.00	1.00	1.00	149812.00	286258.00	2.66
8	105552.00	-371.10	21250.10	-3.68	2637.90	0.80	5.52	1.08	1.08	0.96	1.00	1.00	1.00	150532.00	288997.00	2.74

Verifiche in condizioni non drenate

c_{ur}=15000.00 <kg/mq>;
 N_q=1.00 ; N_c=5.14 ; b_q=0.00 ; b_c=1.00 ; f_{ecc}=0.99

CC	N <kg>	Tx <kg>	Ty <kg>	Mx <kgm>	My <kgm>	B' <m>	L' <m>	s _c	i _q	i _c	Q _{lim} <kg/mq>	R _d <kg>	Sic.
1	103759.00	-5028.32	14522.80	232.99	-27.61	0.80	5.57	1.03	0.00	1.00	80763.40	155577.00	1.50
2	97545.00	-4550.37	5061.28	189.05	-5020.58	0.80	5.47	1.03	0.00	1.00	79381.70	150220.00	1.54
3	108440.00	-2990.16	23850.80	151.61	4563.31	0.80	5.49	1.03	0.00	1.00	79757.80	151655.00	1.40
4	106239.00	-765.22	22384.60	37.92	3505.35	0.80	5.50	1.03	0.00	1.00	80229.50	153457.00	1.44
5	103071.00	-4634.21	13388.30	124.09	-895.10	0.80	5.55	1.03	0.00	1.00	80742.50	155473.00	1.51
6	96857.70	-4156.26	3926.74	111.67	-5888.07	0.80	5.45	1.03	0.00	1.00	79278.80	149808.00	1.55
7	107753.00	-2596.05	22716.20	61.98	3695.80	0.80	5.50	1.03	0.00	1.00	80147.50	153144.00	1.42
8	105552.00	-371.10	21250.10	-3.68	2637.90	0.80	5.52	1.03	0.00	1.00	80523.00	154591.00	1.46

Verifiche di capacità portante per rottura generale in condizioni sismiche

Metodo utilizzato: Condizioni statiche

Travata n. 788

B=0.80 <m>; L=5.57 <m>; D=1.00 <m>; β=0.00 <grad>; η=0.00 <grad>; γ_r=1900.00 <kg/mc>
 σ_{v0,r}=1900.00 <kg/mq>

Verifiche in condizioni drenate

φ'_r=32.00 <grad>; c'_r=2200.00 <kg/mq>;
 N_q=23.18 ; N_c=35.49 ; N_γ=27.72 ; b_q=1.00
 b_c=1.00 ; b_γ=1.00 ; f_{ecc}=0.99

CC	N <kg>	Tx <kg>	Ty <kg>	Mx <kgm>	My <kgm>	B' <m>	L' <m>	s _q	s _c	s _γ	i _q	i _c	i _γ	Q _{lim} <kg/mq>	R _d <kg>	Sic.
1	102189.00	6075.26	13328.60	-121.80	-921.07	0.80	5.55	1.08	1.08	0.96	1.00	1.00	1.00	150833.00	290408.00	2.84
2	95668.20	5248.44	3122.49	-107.49	-6081.32	0.80	5.44	1.08	1.08	0.96	1.00	1.00	1.00	148068.00	279530.00	2.92
3	107484.00	3997.80	23614.50	-63.12	4071.95	0.80	5.49	1.08	1.08	0.96	1.00	1.00	1.00	149623.00	285515.00	2.66
4	105502.00	1390.30	22225.00	1.47	3191.41	0.80	5.51	1.08	1.08	0.96	1.00	1.00	1.00	150271.00	287961.00	2.73
5	102909.00	6501.99	14711.80	-228.42	-31.82	0.80	5.57	1.08	1.08	0.96	1.00	1.00	1.00	150815.00	290534.00	2.82
6	96388.20	5675.16	4505.67	-178.89	-5192.08	0.80	5.46	1.08	1.08	0.96	1.00	1.00	1.00	148240.00	280338.00	2.91
7	108204.00	4424.53	24997.70	-158.13	4961.16	0.80	5.48	1.08	1.08	0.96	1.00	1.00	1.00	148825.00	282550.00	2.61
8	106222.00	1817.03	23608.10	-48.36	4080.64	0.80	5.49	1.08	1.08	0.96	1.00	1.00	1.00	149654.00	285614.00	2.69

Verifiche in condizioni non drenate

c_{ur}=15000.00 <kg/mq>;
 N_q=1.00 ; N_c=5.14 ; b_q=0.00 ; b_c=1.00 ; f_{ecc}=0.99

CC	N <kg>	Tx <kg>	Ty <kg>	Mx <kgm>	My <kgm>	B' <m>	L' <m>	s _c	i _q	i _c	Q _{lim} <kg/mq>	R _d <kg>	Sic.
1	102189.00	6075.26	13328.60	-121.80	-921.07	0.80	5.55	1.03	0.00	1.00	80735.70	155446.00	1.52
2	95668.20	5248.44	3122.49	-107.49	-6081.32	0.80	5.44	1.03	0.00	1.00	79206.30	149530.00	1.56
3	107484.00	3997.80	23614.50	-63.12	4071.95	0.80	5.49	1.03	0.00	1.00	80043.40	152741.00	1.42
4	105502.00	1390.30	22225.00	1.47	3191.41	0.80	5.51	1.03	0.00	1.00	80378.10	154027.00	1.46
5	102909.00	6501.99	14711.80	-228.42	-31.82	0.80	5.57	1.03	0.00	1.00	80767.60	155593.00	1.51
6	96388.20	5675.16	4505.67	-178.89	-5192.08	0.80	5.46	1.03	0.00	1.00	79330.80	150023.00	1.56
7	108204.00	4424.53	24997.70	-158.13	4961.16	0.80	5.48	1.03	0.00	1.00	79638.20	151196.00	1.40
8	106222.00	1817.03	23608.10	-48.36	4080.64	0.80	5.49	1.03	0.00	1.00	80055.60	152785.00	1.44

Verifiche di capacità portante per rottura generale in condizioni sismiche

Metodo utilizzato: Condizioni statiche

Travata n. 804

B=0.80 <m>; L=2.73 <m>; D=1.00 <m>; $\beta=0.00$ <grad>; $\eta=0.00$ <grad>; $\gamma_r=1900.00$ <kg/mc>
 $\sigma_{v0,r}=1900.00$ <kg/mq>

Verifiche in condizioni drenate

$\phi'_r=32.00$ <grad>; $c'_r=2200.00$ <kg/mq>;
 $N_q=23.18$; $N_c=35.49$; $N_g=27.72$; $b_q=1.00$
 $b_c=1.00$; $b_g=1.00$; $f_{ecc}=0.98$

CC	N <kg>	Tx <kg>	Ty <kg>	Mx <kgm>	My <kgm>	B' <m>	L' <m>	s _q	s _c	s _g	i _q	i _c	i _g	Q _{lim} <kg/mq>	R _d <kg>	Sic.
1	62551.30	-3909.02	-13719.20	275.33	613.68	0.79	2.71	1.15	1.16	0.91	1.00	1.00	1.00	157642.00	147035.00	2.35
2	56119.00	-2632.91	-7507.77	198.29	-514.63	0.79	2.71	1.15	1.16	0.91	1.00	1.00	1.00	158134.00	147887.00	2.64
3	66691.90	-4080.05	-16085.60	235.64	1678.01	0.79	2.68	1.16	1.16	0.91	1.00	1.00	1.00	156474.00	144609.00	2.17
4	63808.70	-2950.53	-11902.50	124.58	1461.97	0.80	2.69	1.16	1.16	0.91	1.00	1.00	1.00	157476.00	146361.00	2.29
5	63944.10	360.55	-6501.05	257.60	861.83	0.79	2.70	1.16	1.16	0.91	1.00	1.00	1.00	157445.00	146591.00	2.29
6	57511.80	-326.70	-2679.80	180.56	-266.48	0.79	2.72	1.15	1.16	0.91	1.00	1.00	1.00	158798.00	149153.00	2.59
7	68084.70	748.36	-7909.85	217.91	1926.16	0.79	2.67	1.16	1.16	0.91	1.00	1.00	1.00	156310.00	144242.00	2.12
8	65201.50	393.52	-5296.14	106.85	1710.12	0.80	2.68	1.16	1.16	0.91	1.00	1.00	1.00	157283.00	145935.00	2.24

Verifiche in condizioni non drenate

$c_{ur}=15000.00$ <kg/mq>;
 $N_q=1.00$; $N_c=5.14$; $b_q=0.00$; $b_c=1.00$; $f_{ecc}=0.98$

CC	N <kg>	Tx <kg>	Ty <kg>	Mx <kgm>	My <kgm>	B' <m>	L' <m>	s _c	i _q	i _c	Q _{lim} <kg/mq>	R _d <kg>	Sic.
1	62551.30	-3909.02	-13719.20	275.33	613.68	0.79	2.71	1.06	0.00	1.00	82012.30	76493.70	1.22
2	56119.00	-2632.91	-7507.77	198.29	-514.63	0.79	2.71	1.06	0.00	1.00	82238.80	76909.70	1.37
3	66691.90	-4080.05	-16085.60	235.64	1678.01	0.79	2.68	1.06	0.00	1.00	81321.60	75155.30	1.13
4	63808.70	-2950.53	-11902.50	124.58	1461.97	0.80	2.69	1.06	0.00	1.00	81793.20	76019.90	1.19
5	63944.10	360.55	-6501.05	257.60	861.83	0.79	2.70	1.06	0.00	1.00	81883.80	76239.10	1.19
6	57511.80	-326.70	-2679.80	180.56	-266.48	0.79	2.72	1.06	0.00	1.00	82585.40	77569.10	1.35
7	68084.70	748.36	-7909.85	217.91	1926.16	0.79	2.67	1.06	0.00	1.00	81213.90	74943.30	1.10
8	65201.50	393.52	-5296.14	106.85	1710.12	0.80	2.68	1.06	0.00	1.00	81670.00	75777.50	1.16

Verifiche di capacità portante per rottura generale in condizioni sismiche

Metodo utilizzato: Condizioni statiche

Travata n. 840

B=0.80 <m>; L=2.87 <m>; D=1.00 <m>; $\beta=0.00$ <grad>; $\eta=0.00$ <grad>; $\gamma_r=1900.00$ <kg/mc>
 $\sigma_{v0,r}=1900.00$ <kg/mq>

Verifiche in condizioni drenate

$\phi'_r=32.00$ <grad>; $c'_r=2200.00$ <kg/mq>;
 $N_q=23.18$; $N_c=35.49$; $N_g=27.72$; $b_q=1.00$
 $b_c=1.00$; $b_g=1.00$; $f_{ecc}=0.97$

CC	N <kg>	Tx <kg>	Ty <kg>	Mx <kgm>	My <kgm>	B' <m>	L' <m>	s _q	s _c	s _g	i _q	i _c	i _g	Q _{lim} <kg/mq>	R _d <kg>	Sic.
1	66833.20	-8186.99	3571.48	596.06	790.73	0.78	2.85	1.15	1.15	0.92	1.00	1.00	1.00	154469.00	149519.00	2.24
2	62324.00	-4466.58	2874.02	115.21	548.00	0.80	2.85	1.15	1.15	0.92	1.00	1.00	1.00	158196.00	156228.00	2.51
3	68054.00	-9068.17	3921.17	964.95	651.63	0.77	2.85	1.14	1.15	0.92	1.00	1.00	1.00	152150.00	145524.00	2.14
4	64591.20	-6103.05	3523.45	800.28	289.68	0.78	2.86	1.14	1.15	0.92	1.00	1.00	1.00	153502.00	148025.00	2.29
5	65570.30	8049.78	1335.30	637.17	642.39	0.78	2.85	1.15	1.15	0.92	1.00	1.00	1.00	154281.00	149245.00	2.28
6	61061.10	4635.59	1034.08	156.31	399.67	0.79	2.86	1.15	1.15	0.92	1.00	1.00	1.00	158073.00	156073.00	2.56
7	66791.20	8650.34	1494.83	1006.05	503.29	0.77	2.85	1.14	1.15	0.92	1.00	1.00	1.00	151920.00	145179.00	2.17
8	63328.30	5750.92	1330.36	841.38	141.35	0.77	2.87	1.14	1.15	0.92	1.00	1.00	1.00	153285.00	147706.00	2.33

Verifiche in condizioni non drenate

$c_{ur}=15000.00$ <kg/mq>;
 $N_q=1.00$; $N_c=5.14$; $b_q=0.00$; $b_c=1.00$; $f_{ecc}=0.97$

CC	N <kg>	Tx <kg>	Ty <kg>	Mx <kgm>	My <kgm>	B' <m>	L' <m>	s _c	i _q	i _c	Q _{lim} <kg/mq>	R _d <kg>	Sic.
----	-----------	------------	------------	-------------	-------------	-----------	-----------	----------------	----------------	----------------	-----------------------------	------------------------	------

MEYER - stato ATTUALE - verifica in fondazione

1	66833.20	-8186.99	3571.48	596.06	790.73	0.78	2.85	1.05	0.00	1.00	80734.90	78147.90	1.17
2	62324.00	-4466.58	2874.02	115.21	548.00	0.80	2.85	1.06	0.00	1.00	82436.70	81411.10	1.31
3	68054.00	-9068.17	3921.17	964.95	651.63	0.77	2.85	1.05	0.00	1.00	79714.30	76242.70	1.12
4	64591.20	-6103.05	3523.45	800.28	289.68	0.78	2.86	1.05	0.00	1.00	80374.20	77506.20	1.20
5	65570.30	8049.78	1335.30	637.17	642.39	0.78	2.85	1.05	0.00	1.00	80671.00	78037.90	1.19
6	61061.10	4635.59	1034.08	156.31	399.67	0.79	2.86	1.06	0.00	1.00	82404.80	81362.20	1.33
7	66791.20	8650.34	1494.83	1006.05	503.29	0.77	2.85	1.05	0.00	1.00	79630.70	76097.10	1.14
8	63328.30	5750.92	1330.36	841.38	141.35	0.77	2.87	1.05	0.00	1.00	80299.00	77376.30	1.22

Verifiche di capacità portante per rottura generale in condizioni sismiche

Metodo utilizzato: Condizioni statiche

Travata n. 851

B=0.80 <m>; L=9.90 <m>; D=1.00 <m>; $\beta=0.00$ <grad>; $\eta=0.00$ <grad>; $\gamma_r=1900.00$ <kg/mc>

$\sigma_{v0,r}=1900.00$ <kg/mq>

Verifiche in condizioni drenate

$\phi'_r=32.00$ <grad>; $c'_r=2200.00$ <kg/mq>;
 $N_q=23.18$; $N_c=35.49$; $N_g=27.72$; $b_q=1.00$
 $b_c=1.00$; $b_g=1.00$; $f_{ecc}=0.97$

CC	N <kg>	Tx <kg>	Ty <kg>	Mx <kgm>	My <kgm>	B' <m>	L' <m>	s _q	s _c	s _g	i _q	i _c	i _g	q _{lim} <kg/mq>	R _d <kg>	Sic.
1	165168.00	10932.20	9539.84	-476.29	-17102.90	0.79	9.69	1.04	1.05	0.98	1.00	1.00	1.00	143827.00	481410.00	2.91
2	154868.00	9715.79	3358.91	-445.25	2482.23	0.79	9.87	1.04	1.04	0.98	1.00	1.00	1.00	146342.00	498683.00	3.22
3	168693.00	9717.98	13184.70	-247.81	-39451.00	0.80	9.43	1.04	1.05	0.97	1.00	1.00	1.00	140674.00	459828.00	2.73
4	161416.00	7460.75	10127.90	-20.95	-39021.10	0.80	9.42	1.05	1.05	0.97	1.00	1.00	1.00	141001.00	461672.00	2.86
5	166339.00	9741.19	-62726.70	-647.46	-20961.00	0.79	9.65	1.04	1.05	0.98	1.00	1.00	1.00	142757.00	474405.00	2.85
6	156040.00	8524.75	-31935.40	-580.58	-1375.73	0.79	9.88	1.04	1.04	0.98	1.00	1.00	1.00	146183.00	497809.00	3.19
7	169864.00	8526.94	-76127.00	-369.32	-43308.90	0.80	9.39	1.04	1.05	0.97	1.00	1.00	1.00	139776.00	454043.00	2.67
8	162587.00	6269.70	-56821.50	-64.04	-42879.10	0.80	9.37	1.05	1.05	0.97	1.00	1.00	1.00	140257.00	456788.00	2.81

Verifiche in condizioni non drenate

$c_{ur}=15000.00$ <kg/mq>;

$N_q=1.00$; $N_c=5.14$; $b_q=0.00$; $b_c=1.00$; $f_{ecc}=0.97$

CC	N <kg>	Tx <kg>	Ty <kg>	Mx <kgm>	My <kgm>	B' <m>	L' <m>	s _c	i _q	i _c	q _{lim} <kg/mq>	R _d <kg>	Sic.
1	165168.00	10932.20	9539.84	-476.29	-17102.90	0.79	9.69	1.02	0.00	1.00	78041.60	261216.00	1.58
2	154868.00	9715.79	3358.91	-445.25	2482.23	0.79	9.87	1.02	0.00	1.00	79430.50	270672.00	1.75
3	168693.00	9717.98	13184.70	-247.81	-39451.00	0.80	9.43	1.02	0.00	1.00	76251.20	249246.00	1.48
4	161416.00	7460.75	10127.90	-20.95	-39021.10	0.80	9.42	1.02	0.00	1.00	76385.90	250106.00	1.55
5	166339.00	9741.19	-62726.70	-647.46	-20961.00	0.79	9.65	1.02	0.00	1.00	77485.10	257495.00	1.55
6	156040.00	8524.75	-31935.40	-580.58	-1375.73	0.79	9.88	1.02	0.00	1.00	79372.80	270294.00	1.73
7	169864.00	8526.94	-76127.00	-369.32	-43308.90	0.80	9.39	1.02	0.00	1.00	75779.10	246158.00	1.45
8	162587.00	6269.70	-56821.50	-64.04	-42879.10	0.80	9.37	1.02	0.00	1.00	75984.00	247465.00	1.52

Verifiche di capacità portante per rottura generale in condizioni sismiche

Metodo utilizzato: Condizioni statiche

Travata n. 874

B=0.80 <m>; L=9.90 <m>; D=1.00 <m>; $\beta=0.00$ <grad>; $\eta=0.00$ <grad>; $\gamma_r=1900.00$ <kg/mc>

$\sigma_{v0,r}=1900.00$ <kg/mq>

Verifiche in condizioni drenate

$\phi'_r=32.00$ <grad>; $c'_r=2200.00$ <kg/mq>;
 $N_q=23.18$; $N_c=35.49$; $N_g=27.72$; $b_q=1.00$
 $b_c=1.00$; $b_g=1.00$; $f_{ecc}=0.97$

CC	N <kg>	Tx <kg>	Ty <kg>	Mx <kgm>	My <kgm>	B' <m>	L' <m>	s _q	s _c	s _g	i _q	i _c	i _g	q _{lim} <kg/mq>	R _d <kg>	Sic.
1	164409.00	-9892.97	-62877.00	681.81	-20069.90	0.79	9.66	1.04	1.05	0.98	1.00	1.00	1.00	142762.00	474504.00	2.89
2	154510.00	-9005.20	-29720.70	635.30	-451.38	0.79	9.89	1.04	1.04	0.98	1.00	1.00	1.00	146183.00	497910.00	3.22
3	167405.00	-8578.64	-79867.90	368.92	-42817.10	0.80	9.39	1.04	1.05	0.97	1.00	1.00	1.00	139741.00	453817.00	2.71
4	160074.00	-6564.29	-61275.40	54.22	-42696.50	0.80	9.37	1.05	1.05	0.97	1.00	1.00	1.00	140193.00	456351.00	2.85
5	163748.00	-10694.10	8640.90	656.02	-16489.00	0.79	9.70	1.04	1.05	0.98	1.00	1.00	1.00	143433.00	479014.00	2.93
6	153849.00	-9806.34	2709.98	609.51	3129.46	0.79	9.86	1.04	1.04	0.98	1.00	1.00	1.00	145750.00	494873.00	3.22
7	166744.00	-9379.79	12616.80	343.13	-39236.40	0.80	9.43	1.04	1.05	0.97	1.00	1.00	1.00	140389.00	458078.00	2.75
8	159413.00	-7365.44	10093.80	28.43	-39115.60	0.80	9.41	1.05	1.05	0.97	1.00	1.00	1.00	140876.00	460851.00	2.89

Verifiche in condizioni non drenate

$c_{ur}=15000.00$ <kg/mq>;

$N_q=1.00$; $N_c=5.14$; $b_q=0.00$; $b_c=1.00$; $f_{ecc}=0.97$

MEYER - stato ATTUALE - verifica in fondazione

CC	N <kg>	Tx <kg>	Ty <kg>	Mx <kgm>	My <kgm>	B' <m>	L' <m>	s _c	i _q	i _c	Q _{lim} <kg/mq>	R _d <kg>	Sic.
1	164409.00	-9892.97	-62877.00	681.81	-20069.90	0.79	9.66	1.02	0.00	1.00	77496.80	257579.00	1.57
2	154510.00	-9005.20	-29720.70	635.30	-451.38	0.79	9.89	1.02	0.00	1.00	79386.40	270396.00	1.75
3	167405.00	-8578.64	-79867.90	368.92	-42817.10	0.80	9.39	1.02	0.00	1.00	75760.60	246037.00	1.47
4	160074.00	-6564.29	-61275.40	54.22	-42696.50	0.80	9.37	1.02	0.00	1.00	75946.80	247220.00	1.54
5	163748.00	-10694.10	8640.90	656.02	-16489.00	0.79	9.70	1.02	0.00	1.00	77862.60	260033.00	1.59
6	153849.00	-9806.34	2709.98	609.51	3129.46	0.79	9.86	1.02	0.00	1.00	79141.60	268714.00	1.75
7	166744.00	-9379.79	12616.80	343.13	-39236.40	0.80	9.43	1.02	0.00	1.00	76113.80	248353.00	1.49
8	159413.00	-7365.44	10093.80	28.43	-39115.60	0.80	9.41	1.02	0.00	1.00	76318.50	249663.00	1.57

Verifiche di capacità portante per rottura generale in condizioni sismiche

Metodo utilizzato: Condizioni statiche

Travata n. 977

B=0.80 <m>; L=30.01 <m>; D=1.00 <m>; β=0.00 <grad>; η=0.00 <grad>; γ_r=1900.00 <kg/mc>
σ_{v0,r}=1900.00 <kg/mq>

Verifiche in condizioni drenate

φ'_r=32.00 <grad>; c'_r=2200.00 <kg/mq>;
N_q=23.18 ; N_c=35.49 ; N_γ=27.72 ; b_q=1.00
b_c=1.00 ; b_γ=1.00 ; f_{ecc}=0.97

CC	N <kg>	Tx <kg>	Ty <kg>	Mx <kgm>	My <kgm>	B' <m>	L' <m>	s _q	s _c	s _γ	i _q	i _c	i _γ	Q _{lim} <kg/mq>	R _d <kg>	Sic.
1	249488.00	-14837.10	10767.20	1780.81	28861.90	0.79	29.78	1.01	1.01	0.99	1.00	1.00	1.00	140725.00	1431680.00	5.74
2	220049.00	-15311.40	5502.76	-238.00	33291.50	0.80	29.71	1.01	1.01	0.99	1.00	1.00	1.00	142893.00	1472620.00	6.69
3	275868.00	-9446.08	14514.50	3731.84	18542.20	0.77	29.88	1.01	1.01	0.99	1.00	1.00	1.00	138536.00	1391000.00	5.04
4	269040.00	-5299.41	12462.00	3385.34	14126.50	0.77	29.91	1.01	1.01	0.99	1.00	1.00	1.00	139061.00	1401060.00	5.21
5	249536.00	18916.30	10960.60	1778.78	-8719.07	0.79	29.94	1.01	1.01	0.99	1.00	1.00	1.00	141483.00	1447240.00	5.80
6	220097.00	17900.80	5351.31	-240.03	-4289.03	0.80	29.97	1.01	1.01	0.99	1.00	1.00	1.00	144143.00	1498650.00	6.81
7	275916.00	14845.10	15141.20	3729.81	-19038.50	0.77	29.87	1.01	1.01	0.99	1.00	1.00	1.00	138523.00	1390740.00	5.04
8	269088.00	10340.00	13115.40	3383.31	-23453.90	0.77	29.84	1.01	1.01	0.99	1.00	1.00	1.00	138746.00	1394690.00	5.18

Verifiche in condizioni non drenate

c_{uz}=15000.00 <kg/mq>;
N_q=1.00 ; N_c=5.14 ; b_q=0.00 ; b_c=1.00 ; f_{ecc}=0.97

CC	N <kg>	Tx <kg>	Ty <kg>	Mx <kgm>	My <kgm>	B' <m>	L' <m>	s _c	i _q	i _c	Q _{lim} <kg/mq>	R _d <kg>	Sic.
1	249488.00	-14837.10	10767.20	1780.81	28861.90	0.79	29.78	1.01	0.00	1.00	77412.10	787562.00	3.16
2	220049.00	-15311.40	5502.76	-238.00	33291.50	0.80	29.71	1.01	0.00	1.00	78424.60	808226.00	3.67
3	275868.00	-9446.08	14514.50	3731.84	18542.20	0.77	29.88	1.01	0.00	1.00	76393.20	767045.00	2.78
4	269040.00	-5299.41	12462.00	3385.34	14126.50	0.77	29.91	1.01	0.00	1.00	76655.90	772323.00	2.87
5	249536.00	18916.30	10960.60	1778.78	-8719.07	0.79	29.94	1.01	0.00	1.00	77831.60	796143.00	3.19
6	220097.00	17900.80	5351.31	-240.03	-4289.03	0.80	29.97	1.01	0.00	1.00	79115.10	822557.00	3.74
7	275916.00	14845.10	15141.20	3729.81	-19038.50	0.77	29.87	1.01	0.00	1.00	76386.10	766901.00	2.78
8	269088.00	10340.00	13115.40	3383.31	-23453.90	0.77	29.84	1.01	0.00	1.00	76481.10	768796.00	2.86

Verifiche di capacità portante per rottura generale in condizioni sismiche

Metodo utilizzato: Condizioni statiche

Travata n. 987

B=0.80 <m>; L=10.66 <m>; D=1.00 <m>; β=0.00 <grad>; η=0.00 <grad>; γ_r=1900.00 <kg/mc>
σ_{v0,r}=1900.00 <kg/mq>

Verifiche in condizioni drenate

φ'_r=32.00 <grad>; c'_r=2200.00 <kg/mq>;
N_q=23.18 ; N_c=35.49 ; N_γ=27.72 ; b_q=1.00
b_c=1.00 ; b_γ=1.00 ; f_{ecc}=0.98

CC	N <kg>	Tx <kg>	Ty <kg>	Mx <kgm>	My <kgm>	B' <m>	L' <m>	s _q	s _c	s _γ	i _q	i _c	i _γ	Q _{lim} <kg/mq>	R _d <kg>	Sic.
1	182781.00	27468.70	-6216.03	1043.56	-1831.65	0.79	10.64	1.04	1.04	0.98	1.00	1.00	1.00	144975.00	528675.00	2.89
2	160184.00	22103.50	-3124.68	126.53	-2451.25	0.80	10.63	1.04	1.04	0.98	1.00	1.00	1.00	146950.00	542024.00	3.38
3	199923.00	21398.70	-8349.14	1773.35	189.32	0.78	10.65	1.04	1.04	0.98	1.00	1.00	1.00	143857.00	521279.00	2.61
4	192018.00	10830.70	-7086.18	1481.85	1302.24	0.78	10.64	1.04	1.04	0.98	1.00	1.00	1.00	144198.00	523484.00	2.73
5	187448.00	-9380.54	-6957.68	1110.91	-3792.43	0.79	10.62	1.04	1.04	0.98	1.00	1.00	1.00	144612.00	526049.00	2.81
6	164850.00	-7001.16	-3866.34	193.88	-4411.91	0.80	10.60	1.04	1.04	0.98	1.00	1.00	1.00	146477.00	538592.00	3.27
7	204589.00	-8798.18	-9090.80	1840.69	-1771.32	0.78	10.64	1.04	1.04	0.98	1.00	1.00	1.00	143600.00	519428.00	2.54
8	196684.00	-5919.62	-7827.84	1549.19	-658.34	0.78	10.65	1.04	1.04	0.98	1.00	1.00	1.00	144220.00	523688.00	2.66

Verifiche in condizioni non drenate

MEYER - stato ATTUALE - verifica in fondazione

$c_{ur}=15000.00$ <kg/mq>;
 $N_q=1.00$; $N_c=5.14$; $b_q=0.00$; $b_c=1.00$; $f_{ecc}=0.98$

CC	N <kg>	Tx <kg>	Ty <kg>	Mx <kgm>	My <kgm>	B' <m>	L' <m>	s _c	i _q	i _c	Q _{lim} <kg/mq>	R _d <kg>	Sic.
1	182781.00	27468.70	-6216.03	1043.56	-1831.65	0.79	10.64	1.01	0.00	1.00	78874.70	287629.00	1.57
2	160184.00	22103.50	-3124.68	126.53	-2451.25	0.80	10.63	1.02	0.00	1.00	79794.80	294322.00	1.84
3	199923.00	21398.70	-8349.14	1773.35	189.32	0.78	10.65	1.01	0.00	1.00	78365.00	283963.00	1.42
4	192018.00	10830.70	-7086.18	1481.85	1302.24	0.78	10.64	1.01	0.00	1.00	78514.40	285031.00	1.48
5	187448.00	-9380.54	-6957.68	1110.91	-3792.43	0.79	10.62	1.01	0.00	1.00	78681.40	286216.00	1.53
6	164850.00	-7001.16	-3866.34	193.88	-4411.91	0.80	10.60	1.02	0.00	1.00	79547.00	292492.00	1.77
7	204589.00	-8798.18	-9090.80	1840.69	-1771.32	0.78	10.64	1.01	0.00	1.00	78227.50	282963.00	1.38
8	196684.00	-5919.62	-7827.84	1549.19	-658.34	0.78	10.65	1.01	0.00	1.00	78532.00	285163.00	1.45

Verifiche di capacità portante per rottura generale in condizioni sismiche

Metodo utilizzato: Condizioni statiche

Travata n. 997

$B=0.80$ <m>; $L=9.90$ <m>; $D=1.00$ <m>; $\beta=0.00$ <grad>; $\eta=0.00$ <grad>; $\gamma_r=1900.00$ <kg/mc>
 $\sigma_{v0,r}=1900.00$ <kg/mq>

Verifiche in condizioni drenate

$\phi'_r=32.00$ <grad>; $c'_r=2200.00$ <kg/mq>;
 $N_q=23.18$; $N_c=35.49$; $N_g=27.72$; $b_q=1.00$
 $b_c=1.00$; $b_g=1.00$; $f_{ecc}=0.96$

CC	N <kg>	Tx <kg>	Ty <kg>	Mx <kgm>	My <kgm>	B' <m>	L' <m>	s _q	s _c	s _g	i _q	i _c	i _g	Q _{lim} <kg/mq>	R _d <kg>	Sic.
1	162914.00	-5691.92	-33189.20	-327.93	-24708.10	0.80	9.60	1.04	1.05	0.98	1.00	1.00	1.00	142813.00	474308.00	2.91
2	153063.00	-4835.67	-3060.60	-296.32	-5611.01	0.80	9.83	1.04	1.04	0.98	1.00	1.00	1.00	146154.00	497132.00	3.25
3	168773.00	-4297.75	-62835.70	-156.25	-38281.50	0.80	9.45	1.04	1.05	0.97	1.00	1.00	1.00	141102.00	462545.00	2.74
4	163944.00	-2246.50	-58118.40	22.50	-30818.90	0.80	9.52	1.04	1.05	0.97	1.00	1.00	1.00	142552.00	472072.00	2.88
5	165898.00	-6529.08	-33454.00	-393.02	-29142.50	0.80	9.55	1.04	1.05	0.98	1.00	1.00	1.00	141974.00	468742.00	2.83
6	156047.00	-5548.95	-3325.36	-356.98	-10045.50	0.80	9.77	1.04	1.05	0.98	1.00	1.00	1.00	145206.00	490689.00	3.14
7	171757.00	-5139.60	-63100.50	-197.88	-42715.90	0.80	9.40	1.04	1.05	0.97	1.00	1.00	1.00	140378.00	457779.00	2.67
8	166928.00	-2968.49	-58383.20	5.42	-35253.30	0.80	9.48	1.04	1.05	0.97	1.00	1.00	1.00	141925.00	467827.00	2.80

Verifiche in condizioni non drenate

$c_{ur}=15000.00$ <kg/mq>;
 $N_q=1.00$; $N_c=5.14$; $b_q=0.00$; $b_c=1.00$; $f_{ecc}=0.96$

CC	N <kg>	Tx <kg>	Ty <kg>	Mx <kgm>	My <kgm>	B' <m>	L' <m>	s _c	i _q	i _c	Q _{lim} <kg/mq>	R _d <kg>	Sic.
1	162914.00	-5691.92	-33189.20	-327.93	-24708.10	0.80	9.60	1.02	0.00	1.00	77451.20	257229.00	1.58
2	153063.00	-4835.67	-3060.60	-296.32	-5611.01	0.80	9.83	1.02	0.00	1.00	79293.50	269712.00	1.76
3	168773.00	-4297.75	-62835.70	-156.25	-38281.50	0.80	9.45	1.02	0.00	1.00	76469.00	250672.00	1.49
4	163944.00	-2246.50	-58118.40	22.50	-30818.90	0.80	9.52	1.02	0.00	1.00	77242.40	255793.00	1.56
5	165898.00	-6529.08	-33454.00	-393.02	-29142.50	0.80	9.55	1.02	0.00	1.00	76999.80	254223.00	1.53
6	156047.00	-5548.95	-3325.36	-356.98	-10045.50	0.80	9.77	1.02	0.00	1.00	78782.40	266226.00	1.71
7	171757.00	-5139.60	-63100.50	-197.88	-42715.90	0.80	9.40	1.02	0.00	1.00	76076.70	248090.00	1.44
8	166928.00	-2968.49	-58383.20	5.42	-35253.30	0.80	9.48	1.02	0.00	1.00	76892.50	253461.00	1.52

Verifiche di capacità portante per rottura generale in condizioni sismiche

Metodo utilizzato: Condizioni statiche

Travata n. 1004

$B=0.80$ <m>; $L=9.90$ <m>; $D=1.00$ <m>; $\beta=0.00$ <grad>; $\eta=0.00$ <grad>; $\gamma_r=1900.00$ <kg/mc>
 $\sigma_{v0,r}=1900.00$ <kg/mq>

Verifiche in condizioni drenate

$\phi'_r=32.00$ <grad>; $c'_r=2200.00$ <kg/mq>;
 $N_q=23.18$; $N_c=35.49$; $N_g=27.72$; $b_q=1.00$
 $b_c=1.00$; $b_g=1.00$; $f_{ecc}=0.96$

CC	N <kg>	Tx <kg>	Ty <kg>	Mx <kgm>	My <kgm>	B' <m>	L' <m>	s _q	s _c	s _g	i _q	i _c	i _g	Q _{lim} <kg/mq>	R _d <kg>	Sic.
1	164735.00	6773.40	-39407.20	496.36	-30067.10	0.79	9.53	1.04	1.05	0.98	1.00	1.00	1.00	141508.00	465778.00	2.83
2	154070.00	5692.86	-4340.26	428.76	-9381.03	0.79	9.78	1.04	1.04	0.98	1.00	1.00	1.00	145094.00	490050.00	3.18
3	171522.00	5345.26	-72282.60	276.46	-45435.90	0.80	9.37	1.05	1.05	0.97	1.00	1.00	1.00	139722.00	453546.00	2.64
4	166675.00	3040.59	-65394.60	20.37	-37923.10	0.80	9.44	1.04	1.05	0.97	1.00	1.00	1.00	141415.00	464435.00	2.79
5	161389.00	2443.65	-39376.10	348.50	-24989.00	0.80	9.59	1.04	1.05	0.98	1.00	1.00	1.00	142660.00	473313.00	2.93
6	150724.00	2702.41	-4309.16	300.26	-4302.92	0.80	9.84	1.04	1.04	0.98	1.00	1.00	1.00	146363.00	498594.00	3.31
7	168176.00	1474.69	-72251.50	183.86	-40357.80	0.80	9.42	1.04	1.05	0.97	1.00	1.00	1.00	140654.00	459598.00	2.73
8	163329.00	902.90	-65363.50	-5.49	-32845.00	0.80	9.50	1.04	1.05	0.97	1.00	1.00	1.00	142216.00	469784.00	2.88

MEYER - stato ATTUALE - verifica in fondazione

Verifiche in condizioni non drenate

$c_{ur}=15000.00$ <kg/mq>;
 $N_q=1.00$; $N_c=5.14$; $b_q=0.00$; $b_c=1.00$; $f_{ecc}=0.96$

CC	N <kg>	Tx <kg>	Ty <kg>	Mx <kgm>	My <kgm>	B' <m>	L' <m>	s_c	i_q	i_c	q_{lim} <kg/mq>	R_d <kg>	Sic.
1	164735.00	6773.40	-39407.20	496.36	-30067.10	0.79	9.53	1.02	0.00	1.00	76764.50	252673.00	1.53
2	154070.00	5692.86	-4340.26	428.76	-9381.03	0.79	9.78	1.02	0.00	1.00	78738.00	265934.00	1.73
3	171522.00	5345.26	-72282.60	276.46	-45435.90	0.80	9.37	1.02	0.00	1.00	75730.00	245825.00	1.43
4	166675.00	3040.59	-65394.60	20.37	-37923.10	0.80	9.44	1.02	0.00	1.00	76614.20	251616.00	1.51
5	161389.00	2443.65	-39376.10	348.50	-24989.00	0.80	9.59	1.02	0.00	1.00	77371.80	256701.00	1.59
6	150724.00	2702.41	-4309.16	300.26	-4302.92	0.80	9.84	1.02	0.00	1.00	79410.90	270519.00	1.79
7	168176.00	1474.69	-72251.50	183.86	-40357.80	0.80	9.42	1.02	0.00	1.00	76227.00	249078.00	1.48
8	163329.00	902.90	-65363.50	-5.49	-32845.00	0.80	9.50	1.02	0.00	1.00	77053.40	254531.00	1.56

Verifiche di capacità portante per rottura generale in condizioni sismiche

Metodo utilizzato: Condizioni statiche

Travata n. 1116

$B=0.80$ <m>; $L=17.90$ <m>; $D=1.00$ <m>; $\beta=0.00$ <grad>; $\eta=0.00$ <grad>; $\gamma_r=1900.00$ <kg/mc>
 $\sigma_{v0,r}=1900.00$ <kg/mq>

Verifiche in condizioni drenate

$\phi'_r=32.00$ <grad>; $c'_r=2200.00$ <kg/mq>;
 $N_q=23.18$; $N_c=35.49$; $N_g=27.72$; $b_q=1.00$
 $b_c=1.00$; $b_g=1.00$; $f_{ecc}=0.98$

CC	N <kg>	Tx <kg>	Ty <kg>	Mx <kgm>	My <kgm>	B' <m>	L' <m>	s_q	s_c	s_g	i_q	i_c	i_g	q_{lim} <kg/mq>	R_d <kg>	Sic.
1	197630.00	-13751.90	9856.14	1266.94	5074.80	0.79	17.85	1.02	1.02	0.99	1.00	1.00	1.00	142760.00	872079.00	4.41
2	186575.00	-13056.80	3317.75	-60.53	5831.54	0.80	17.84	1.02	1.02	0.99	1.00	1.00	1.00	145234.00	900351.00	4.83
3	208195.00	-7316.47	15444.20	2636.49	3818.74	0.77	17.86	1.02	1.02	0.99	1.00	1.00	1.00	140250.00	843831.00	4.05
4	206194.00	-1105.26	13695.50	2482.92	3498.78	0.78	17.87	1.02	1.02	0.99	1.00	1.00	1.00	140532.00	847014.00	4.11
5	197610.00	-74.29	9483.43	1265.68	1646.84	0.79	17.88	1.02	1.02	0.99	1.00	1.00	1.00	143034.00	875468.00	4.43
6	186555.00	296.98	3003.83	-61.79	2403.75	0.80	17.87	1.02	1.02	0.99	1.00	1.00	1.00	145525.00	903996.00	4.85
7	208175.00	-117.73	15294.50	2635.23	390.71	0.77	17.90	1.02	1.02	0.99	1.00	1.00	1.00	140506.00	846940.00	4.07
8	206174.00	216.29	13795.90	2481.66	70.78	0.78	17.90	1.02	1.02	0.99	1.00	1.00	1.00	140791.00	850165.00	4.12

Verifiche in condizioni non drenate

$c_{ur}=15000.00$ <kg/mq>;
 $N_q=1.00$; $N_c=5.14$; $b_q=0.00$; $b_c=1.00$; $f_{ecc}=0.98$

CC	N <kg>	Tx <kg>	Ty <kg>	Mx <kgm>	My <kgm>	B' <m>	L' <m>	s_c	i_q	i_c	q_{lim} <kg/mq>	R_d <kg>	Sic.
1	197630.00	-13751.90	9856.14	1266.94	5074.80	0.79	17.85	1.01	0.00	1.00	78201.80	477713.00	2.42
2	186575.00	-13056.80	3317.75	-60.53	5831.54	0.80	17.84	1.01	0.00	1.00	79372.30	492054.00	2.64
3	208195.00	-7316.47	15444.20	2636.49	3818.74	0.77	17.86	1.01	0.00	1.00	77011.70	463350.00	2.23
4	206194.00	-1105.26	13695.50	2482.92	3498.78	0.78	17.87	1.01	0.00	1.00	77148.20	464988.00	2.26
5	197610.00	-74.29	9483.43	1265.68	1646.84	0.79	17.88	1.01	0.00	1.00	78353.60	479578.00	2.43
6	186555.00	296.98	3003.83	-61.79	2403.75	0.80	17.87	1.01	0.00	1.00	79533.10	494057.00	2.65
7	208175.00	-117.73	15294.50	2635.23	390.71	0.77	17.90	1.01	0.00	1.00	77153.40	465065.00	2.23
8	206174.00	216.29	13795.90	2481.66	70.78	0.78	17.90	1.01	0.00	1.00	77291.50	466725.00	2.26

Verifiche di capacità portante per rottura generale in condizioni sismiche

Metodo utilizzato: Condizioni statiche

Travata n. 1187

$B=0.80$ <m>; $L=35.75$ <m>; $D=1.00$ <m>; $\beta=0.00$ <grad>; $\eta=0.00$ <grad>; $\gamma_r=1900.00$ <kg/mc>
 $\sigma_{v0,r}=1900.00$ <kg/mq>

Verifiche in condizioni drenate

$\phi'_r=32.00$ <grad>; $c'_r=2200.00$ <kg/mq>;
 $N_q=23.18$; $N_c=35.49$; $N_g=27.72$; $b_q=1.00$
 $b_c=1.00$; $b_g=1.00$; $f_{ecc}=0.98$

CC	N <kg>	Tx <kg>	Ty <kg>	Mx <kgm>	My <kgm>	B' <m>	L' <m>	s_q	s_c	s_g	i_q	i_c	i_g	q_{lim} <kg/mq>	R_d <kg>	Sic.
1	272431.00	6012.51	27206.20	1644.24	11585.90	0.79	35.67	1.01	1.01	0.99	1.00	1.00	1.00	141680.00	1731140.00	6.35
2	268003.00	6293.99	11543.50	223.74	15975.60	0.80	35.63	1.01	1.01	0.99	1.00	1.00	1.00	143702.00	1777320.00	6.63
3	271954.00	4902.95	38539.50	2909.32	6596.11	0.78	35.70	1.01	1.01	0.99	1.00	1.00	1.00	139893.00	1690810.00	6.22
4	267118.00	4233.38	32591.20	2573.17	6708.48	0.78	35.70	1.01	1.01	0.99	1.00	1.00	1.00	140326.00	1700610.00	6.37
5	272482.00	2851.25	27175.20	1644.82	5038.90	0.79	35.72	1.01	1.01	0.99	1.00	1.00	1.00	141868.00	1735780.00	6.37
6	268054.00	2939.29	11512.50	224.32	9428.70	0.80	35.68	1.01	1.01	0.99	1.00	1.00	1.00	143896.00	1782160.00	6.65

MEYER - stato ATTUALE - verifica in fondazione

7	272006.00	777.26	38508.50	2909.90	50.36	0.78	35.75	1.01	1.01	0.99	1.00	1.00	1.00	140080.00	1695350.00	6.23
8	267169.00	-912.40	32560.20	2573.75	160.88	0.78	35.75	1.01	1.01	0.99	1.00	1.00	1.00	140517.00	1705260.00	6.38

Verifiche in condizioni non drenate

$c_{ur}=15000.00$ <kg/mq>;

$N_q=1.00$; $N_c=5.14$; $b_q=0.00$; $b_c=1.00$; $f_{ecc}=0.98$

CC	N <kg>	Tx <kg>	Ty <kg>	Mx <kgm>	My <kgm>	B' <m>	L' <m>	s_c	i_q	i_c	Q_{lim} <kg/mq>	R_d <kg>	Sic.
1	272431.00	6012.51	27206.20	1644.24	11585.90	0.79	35.67	1.00	0.00	1.00	77981.20	952830.00	3.50
2	268003.00	6293.99	11543.50	223.74	15975.60	0.80	35.63	1.00	0.00	1.00	78939.70	976338.00	3.64
3	271954.00	4902.95	38539.50	2909.32	6596.11	0.78	35.70	1.00	0.00	1.00	77133.00	932267.00	3.43
4	267118.00	4233.38	32591.20	2573.17	6708.48	0.78	35.70	1.00	0.00	1.00	77341.20	937294.00	3.51
5	272482.00	2851.25	27175.20	1644.82	5038.90	0.79	35.72	1.00	0.00	1.00	78085.70	955389.00	3.51
6	268054.00	2939.29	11512.50	224.32	9428.70	0.80	35.68	1.00	0.00	1.00	79047.10	979002.00	3.65
7	272006.00	777.26	38508.50	2909.90	50.36	0.78	35.75	1.00	0.00	1.00	77236.60	934777.00	3.44
8	267169.00	-912.40	32560.20	2573.75	160.88	0.78	35.75	1.00	0.00	1.00	77446.90	939863.00	3.52

Verifiche di capacità portante per rottura generale in condizioni sismiche

Metodo utilizzato: Condizioni statiche

Travata n. 1323

$B=0.80$ <m>; $L=2.87$ <m>; $D=1.00$ <m>; $\beta=0.00$ <grad>; $\eta=0.00$ <grad>; $\gamma_r=1900.00$ <kg/mc>

$\sigma_{v0,t}=1900.00$ <kg/mq>

Verifiche in condizioni drenate

$\phi'_r=32.00$ <grad>; $c'_r=2200.00$ <kg/mq>;

$N_q=23.18$; $N_c=35.49$; $N_g=27.72$; $b_q=1.00$

$b_c=1.00$; $b_g=1.00$; $f_{ecc}=0.97$

CC	N <kg>	Tx <kg>	Ty <kg>	Mx <kgm>	My <kgm>	B' <m>	L' <m>	s_q	s_c	s_g	i_q	i_c	i_g	Q_{lim} <kg/mq>	R_d <kg>	Sic.
1	64382.80	-10357.50	-126.30	576.83	-488.32	0.78	2.85	1.15	1.15	0.92	1.00	1.00	1.00	154862.00	150332.00	2.33
2	59756.50	-5456.93	97.37	104.60	-240.95	0.80	2.86	1.15	1.15	0.92	1.00	1.00	1.00	158717.00	157304.00	2.63
3	66009.20	-11940.30	-183.87	976.32	-378.95	0.77	2.86	1.14	1.15	0.92	1.00	1.00	1.00	152223.00	145754.00	2.21
4	62777.00	-8396.28	-9.56	846.51	-37.83	0.77	2.87	1.14	1.15	0.92	1.00	1.00	1.00	153346.00	147857.00	2.36
5	65539.40	7078.17	1891.52	540.83	-619.51	0.78	2.85	1.15	1.15	0.92	1.00	1.00	1.00	155023.00	150563.00	2.30
6	60913.20	3245.54	1716.12	68.60	-372.14	0.80	2.86	1.15	1.15	0.92	1.00	1.00	1.00	158815.00	157419.00	2.58
7	67165.80	8418.29	2060.29	940.32	-510.14	0.77	2.85	1.14	1.15	0.92	1.00	1.00	1.00	152426.00	146059.00	2.17
8	63933.70	5734.33	2029.55	810.52	-169.02	0.77	2.86	1.14	1.15	0.92	1.00	1.00	1.00	153540.00	148142.00	2.32

Verifiche in condizioni non drenate

$c_{ur}=15000.00$ <kg/mq>;

$N_q=1.00$; $N_c=5.14$; $b_q=0.00$; $b_c=1.00$; $f_{ecc}=0.97$

CC	N <kg>	Tx <kg>	Ty <kg>	Mx <kgm>	My <kgm>	B' <m>	L' <m>	s_c	i_q	i_c	Q_{lim} <kg/mq>	R_d <kg>	Sic.
1	64382.80	-10357.50	-126.30	576.83	-488.32	0.78	2.85	1.05	0.00	1.00	80954.70	78586.30	1.22
2	59756.50	-5456.93	97.37	104.60	-240.95	0.80	2.86	1.06	0.00	1.00	82719.10	81982.90	1.37
3	66009.20	-11940.30	-183.87	976.32	-378.95	0.77	2.86	1.05	0.00	1.00	79784.90	76394.30	1.16
4	62777.00	-8396.28	-9.56	846.51	-37.83	0.77	2.87	1.05	0.00	1.00	80342.50	77466.50	1.23
5	65539.40	7078.17	1891.52	540.83	-619.51	0.78	2.85	1.05	0.00	1.00	81007.90	78677.10	1.20
6	60913.20	3245.54	1716.12	68.60	-372.14	0.80	2.86	1.06	0.00	1.00	82741.40	82014.30	1.35
7	67165.80	8418.29	2060.29	940.32	-510.14	0.77	2.85	1.05	0.00	1.00	79858.30	76522.20	1.14
8	63933.70	5734.33	2029.55	810.52	-169.02	0.77	2.86	1.05	0.00	1.00	80409.80	77582.80	1.21

Verifiche di capacità portante per rottura generale in condizioni sismiche

Metodo utilizzato: Condizioni statiche

Travata n. 1332

$B=0.80$ <m>; $L=10.66$ <m>; $D=1.00$ <m>; $\beta=0.00$ <grad>; $\eta=0.00$ <grad>; $\gamma_r=1900.00$ <kg/mc>

$\sigma_{v0,t}=1900.00$ <kg/mq>

Verifiche in condizioni drenate

$\phi'_r=32.00$ <grad>; $c'_r=2200.00$ <kg/mq>;

$N_q=23.18$; $N_c=35.49$; $N_g=27.72$; $b_q=1.00$

$b_c=1.00$; $b_g=1.00$; $f_{ecc}=0.98$

CC	N	Tx	Ty	Mx	My	B'	L'	s_q	s_c	s_g	i_q	i_c	i_g	Q_{lim}	R_d	Sic.
----	---	----	----	----	----	----	----	-------	-------	-------	-------	-------	-------	-----------	-------	------

MEYER - stato ATTUALE - verifica in fondazione

	<kg>	<kg>	<kg>	<kgm>	<kgm>	<m>	<m>							<kg/mq>	<kg>	
1	186280.00	7212.36	-7608.93	1124.96	6889.43	0.79	10.58	1.04	1.04	0.98	1.00	1.00	1.00	144121.00	522460.00	2.80
2	162646.00	4857.29	-4313.80	139.76	5944.64	0.80	10.58	1.04	1.04	0.98	1.00	1.00	1.00	146351.00	537561.00	3.31
3	205097.00	7143.44	-9864.80	1956.15	5919.67	0.78	10.60	1.04	1.04	0.98	1.00	1.00	1.00	142841.00	514006.00	2.51
4	197591.00	4729.31	-8503.28	1683.40	4143.61	0.78	10.61	1.04	1.04	0.98	1.00	1.00	1.00	143482.00	518432.00	2.62
5	181542.00	-33456.60	-6858.36	1053.30	3390.39	0.79	10.62	1.04	1.04	0.98	1.00	1.00	1.00	144707.00	526713.00	2.90
6	157908.00	-26323.30	-3563.23	68.10	2445.68	0.80	10.63	1.04	1.04	0.98	1.00	1.00	1.00	147100.00	543044.00	3.44
7	200358.00	-28106.40	-9114.24	1884.50	2420.50	0.78	10.63	1.04	1.04	0.98	1.00	1.00	1.00	143336.00	517596.00	2.58
8	192853.00	-16387.30	-7752.71	1611.75	644.46	0.78	10.65	1.04	1.04	0.98	1.00	1.00	1.00	144014.00	522298.00	2.71

Verifiche in condizioni non drenate

$c_{uz}=15000.00$ <kg/mq>;
 $N_q=1.00$; $N_c=5.14$; $b_q=0.00$; $b_c=1.00$; $f_{ecc}=0.98$

CC	N <kg>	Tx <kg>	Ty <kg>	Mx <kgm>	My <kgm>	B' <m>	L' <m>	s _c	i _q	i _c	Q _{lim} <kg/mq>	R _d <kg>	Sic.
1	186280.00	7212.36	-7608.93	1124.96	6889.43	0.79	10.58	1.01	0.00	1.00	78413.90	284261.00	1.53
2	162646.00	4857.29	-4313.80	139.76	5944.64	0.80	10.58	1.02	0.00	1.00	79466.30	291888.00	1.79
3	205097.00	7143.44	-9864.80	1956.15	5919.67	0.78	10.60	1.01	0.00	1.00	77825.20	280051.00	1.37
4	197591.00	4729.31	-8503.28	1683.40	4143.61	0.78	10.61	1.01	0.00	1.00	78145.60	282357.00	1.43
5	181542.00	-33456.60	-6858.36	1053.30	3390.39	0.79	10.62	1.01	0.00	1.00	78729.40	286565.00	1.58
6	157908.00	-26323.30	-3563.23	68.10	2445.68	0.80	10.63	1.02	0.00	1.00	79864.80	294835.00	1.87
7	200358.00	-28106.40	-9114.24	1884.50	2420.50	0.78	10.63	1.01	0.00	1.00	78095.00	282007.00	1.41
8	192853.00	-16387.30	-7752.71	1611.75	644.46	0.78	10.65	1.01	0.00	1.00	78434.40	284460.00	1.48

Verifiche di capacità portante per rottura per punzonamento

Travata n. 737

Verifiche in condizioni drenate

$B=0.80$ <m>; $L=2.84$ <m>; $D=1.00$ <m>; $\beta=0.00$ <grad>; $\eta=0.00$ <grad>; $\gamma_r=1900.00$ <kg/mc>
 $\sigma_{v0,t}=1900.00$ <kg/mq>; $\psi_q=0.81$; $\psi_c=0.68$; $\psi_g=0.81$
 $\phi'_r=32.00$ <grad>; $c'_r=2200.00$ <kg/mq>;
 $N_q=23.18$; $N_c=35.49$; $N_g=30.21$; $b_q=1.00$
 $b_c=1.00$; $b_g=1.00$; $f_{ecc}=0.98$

CC	N <kg>	Tx <kg>	Ty <kg>	Mx <kgm>	My <kgm>	B' <m>	L' <m>	s _q	s _c	s _g	i _q	i _c	i _g	Q _{lim} <kg/mq>	R _d <kg>	Sic.
9	73976.20	-4593.75	11751.80	82.05	-1398.64	0.80	2.80	1.18	1.19	0.89	1.00	1.00	1.00	191355.00	185925.00	2.51

Verifiche in condizioni non drenate

Verifiche soddisfatte $I_r(24.67) \geq I_{rcrit}(11.94)$

Verifiche di capacità portante per rottura per punzonamento

Travata n. 781

Verifiche in condizioni drenate

$B=0.80$ <m>; $L=2.84$ <m>; $D=1.00$ <m>; $\beta=0.00$ <grad>; $\eta=0.00$ <grad>; $\gamma_r=1900.00$ <kg/mc>
 $\sigma_{v0,t}=1900.00$ <kg/mq>; $\psi_q=0.81$; $\psi_c=0.68$; $\psi_g=0.81$
 $\phi'_r=32.00$ <grad>; $c'_r=2200.00$ <kg/mq>;
 $N_q=23.18$; $N_c=35.49$; $N_g=30.21$; $b_q=1.00$
 $b_c=1.00$; $b_g=1.00$; $f_{ecc}=0.99$

CC	N <kg>	Tx <kg>	Ty <kg>	Mx <kgm>	My <kgm>	B' <m>	L' <m>	s _q	s _c	s _g	i _q	i _c	i _g	Q _{lim} <kg/mq>	R _d <kg>	Sic.
9	75213.40	4328.39	12929.40	-61.80	-1297.63	0.80	2.80	1.18	1.19	0.89	1.00	1.00	1.00	191334.00	186259.00	2.48

Verifiche in condizioni non drenate

Verifiche soddisfatte $I_r(24.67) \geq I_{rcrit}(11.94)$

Verifiche di capacità portante per rottura per punzonamento

Travata n. 783

Verifiche in condizioni drenate

$B=0.80$ <m>; $L=2.73$ <m>; $D=1.00$ <m>; $\beta=0.00$ <grad>; $\eta=0.00$ <grad>; $\gamma_r=1900.00$ <kg/mc>
 $\sigma_{v0,t}=1900.00$ <kg/mq>; $\psi_q=0.81$; $\psi_c=0.68$; $\psi_g=0.81$

MEYER - stato ATTUALE - verifica in fondazione

$\phi'_r=32.00$ <grad>; $c'_r=2200.00$ <kg/mq>;
 $N_q=23.18$; $N_c=35.49$; $N_g=30.21$; $b_q=1.00$
 $b_c=1.00$; $b_g=1.00$; $f_{ecc}=1.00$

CC	N <kg>	Tx <kg>	Ty <kg>	Mx <kgm>	My <kgm>	B' <m>	L' <m>	s _q	s _c	s _g	i _q	i _c	i _g	Q _{lim} <kg/mq>	R _d <kg>	Sic.
9	69873.80	1051.37	-1940.84	-36.11	-322.41	0.80	2.72	1.18	1.19	0.88	1.00	1.00	1.00	192939.00	182420.00	2.61

Verifiche in condizioni non drenate

Verifiche soddisfatte $Ir(24.67) \geq Ir_{crit}(11.88)$

Verifiche di capacità portante per rottura per punzonamento

Travata n. 789

Verifiche in condizioni drenate

$B=0.80$ <m>; $L=5.57$ <m>; $D=1.00$ <m>; $\beta=0.00$ <grad>; $\eta=0.00$ <grad>; $\gamma_r=1900.00$ <kg/mc>
 $\sigma_{v0,r}=1900.00$ <kg/mq>; $\psi_q=0.76$; $\psi_c=0.64$; $\psi_g=0.76$
 $\phi'_r=32.00$ <grad>; $c'_r=2200.00$ <kg/mq>;
 $N_q=23.18$; $N_c=35.49$; $N_g=30.21$; $b_q=1.00$
 $b_c=1.00$; $b_g=1.00$; $f_{ecc}=0.98$

CC	N <kg>	Tx <kg>	Ty <kg>	Mx <kgm>	My <kgm>	B' <m>	L' <m>	s _q	s _c	s _g	i _q	i _c	i _g	Q _{lim} <kg/mq>	R _d <kg>	Sic.
9	121441.00	-994.02	9749.71	13.33	-6484.82	0.80	5.46	1.09	1.10	0.94	1.00	1.00	1.00	169809.00	322590.00	2.66

Verifiche in condizioni non drenate

Verifiche soddisfatte $Ir(24.67) \geq Ir_{crit}(12.71)$

Verifiche di capacità portante per rottura per punzonamento

Travata n. 798

Verifiche in condizioni drenate

$B=0.80$ <m>; $L=5.57$ <m>; $D=1.00$ <m>; $\beta=0.00$ <grad>; $\eta=0.00$ <grad>; $\gamma_r=1900.00$ <kg/mc>
 $\sigma_{v0,r}=1900.00$ <kg/mq>; $\psi_q=0.76$; $\psi_c=0.64$; $\psi_g=0.76$
 $\phi'_r=32.00$ <grad>; $c'_r=2200.00$ <kg/mq>;
 $N_q=23.18$; $N_c=35.49$; $N_g=30.21$; $b_q=1.00$
 $b_c=1.00$; $b_g=1.00$; $f_{ecc}=0.98$

CC	N <kg>	Tx <kg>	Ty <kg>	Mx <kgm>	My <kgm>	B' <m>	L' <m>	s _q	s _c	s _g	i _q	i _c	i _g	Q _{lim} <kg/mq>	R _d <kg>	Sic.
9	120654.00	1840.75	9516.88	-12.53	-6249.07	0.80	5.47	1.09	1.10	0.94	1.00	1.00	1.00	169802.00	322771.00	2.68

Verifiche in condizioni non drenate

Verifiche soddisfatte $Ir(24.67) \geq Ir_{crit}(12.71)$

Verifiche di capacità portante per rottura per punzonamento

Travata n. 804

Verifiche in condizioni drenate

$B=0.80$ <m>; $L=2.73$ <m>; $D=1.00$ <m>; $\beta=0.00$ <grad>; $\eta=0.00$ <grad>; $\gamma_r=1900.00$ <kg/mc>
 $\sigma_{v0,r}=1900.00$ <kg/mq>; $\psi_q=0.81$; $\psi_c=0.68$; $\psi_g=0.81$
 $\phi'_r=32.00$ <grad>; $c'_r=2200.00$ <kg/mq>;
 $N_q=23.18$; $N_c=35.49$; $N_g=30.21$; $b_q=1.00$
 $b_c=1.00$; $b_g=1.00$; $f_{ecc}=0.99$

CC	N <kg>	Tx <kg>	Ty <kg>	Mx <kgm>	My <kgm>	B' <m>	L' <m>	s _q	s _c	s _g	i _q	i _c	i _g	Q _{lim} <kg/mq>	R _d <kg>	Sic.
9	69154.90	-1139.65	-1764.72	52.38	-306.10	0.80	2.72	1.18	1.19	0.88	1.00	1.00	1.00	192928.00	182325.00	2.64

Verifiche in condizioni non drenate

Verifiche soddisfatte $Ir(24.67) \geq Ir_{crit}(11.88)$

Verifiche di capacità portante per rottura per punzonamento

Travata n. 840

Verifiche in condizioni drenate

B=0.80 <m>; L=2.87 <m>; D=1.00 <m>; $\beta=0.00$ <grad>; $\eta=0.00$ <grad>; $\gamma_r=1900.00$ <kg/mc>
 $\sigma_{v0,i}=1900.00$ <kg/mq>; $\psi_q=0.80$; $\psi_c=0.68$; $\psi_g=0.80$
 $\phi'_r=32.00$ <grad>; $c'_r=2200.00$ <kg/mq>;
 $N_q=23.18$; $N_c=35.49$; $N_g=30.21$; $b_q=1.00$
 $b_c=1.00$; $b_g=1.00$; $f_{ecc}=1.00$

CC	N <kg>	Tx <kg>	Ty <kg>	Mx <kgm>	My <kgm>	B' <m>	L' <m>	s _q	s _c	s _g	i _q	i _c	i _g	q _{lim} <kg/mq>	R _d <kg>	Sic.
9	73004.50	-164.62	2379.96	139.65	5.17	0.80	2.87	1.17	1.18	0.89	1.00	1.00	1.00	190510.00	189260.00	2.59

Verifiche in condizioni non drenate

Verifiche soddisfatte Ir(24.67)>=Ircrit(11.96)

Verifiche di capacità portante per rottura per punzonamento

Travata n. 851

Verifiche in condizioni drenate

B=0.80 <m>; L=9.90 <m>; D=1.00 <m>; $\beta=0.00$ <grad>; $\eta=0.00$ <grad>; $\gamma_r=1900.00$ <kg/mc>
 $\sigma_{v0,i}=1900.00$ <kg/mq>; $\psi_q=0.75$; $\psi_c=0.63$; $\psi_g=0.75$
 $\phi'_r=32.00$ <grad>; $c'_r=2200.00$ <kg/mq>;
 $N_q=23.18$; $N_c=35.49$; $N_g=30.21$; $b_q=1.00$
 $b_c=1.00$; $b_g=1.00$; $f_{ecc}=0.99$

CC	N <kg>	Tx <kg>	Ty <kg>	Mx <kgm>	My <kgm>	B' <m>	L' <m>	s _q	s _c	s _g	i _q	i _c	i _g	q _{lim} <kg/mq>	R _d <kg>	Sic.
9	187885.00	7675.33	-9598.84	-116.51	-11853.10	0.80	9.77	1.05	1.05	0.97	1.00	1.00	1.00	160476.00	544707.00	2.90

Verifiche in condizioni non drenate

Verifiche soddisfatte Ir(24.67)>=Ircrit(13.07)

Verifiche di capacità portante per rottura per punzonamento

Travata n. 874

Verifiche in condizioni drenate

B=0.80 <m>; L=9.90 <m>; D=1.00 <m>; $\beta=0.00$ <grad>; $\eta=0.00$ <grad>; $\gamma_r=1900.00$ <kg/mc>
 $\sigma_{v0,i}=1900.00$ <kg/mq>; $\psi_q=0.75$; $\psi_c=0.63$; $\psi_g=0.75$
 $\phi'_r=32.00$ <grad>; $c'_r=2200.00$ <kg/mq>;
 $N_q=23.18$; $N_c=35.49$; $N_g=30.21$; $b_q=1.00$
 $b_c=1.00$; $b_g=1.00$; $f_{ecc}=0.99$

CC	N <kg>	Tx <kg>	Ty <kg>	Mx <kgm>	My <kgm>	B' <m>	L' <m>	s _q	s _c	s _g	i _q	i _c	i _g	q _{lim} <kg/mq>	R _d <kg>	Sic.
9	186069.00	-8411.11	-9799.45	150.89	-11523.40	0.80	9.78	1.05	1.05	0.97	1.00	1.00	1.00	160475.00	544571.00	2.93

Verifiche in condizioni non drenate

Verifiche soddisfatte Ir(24.67)>=Ircrit(13.07)

Verifiche di capacità portante per rottura per punzonamento

Travata n. 977

Verifiche in condizioni drenate

B=0.80 <m>; L=30.01 <m>; D=1.00 <m>; $\beta=0.00$ <grad>; $\eta=0.00$ <grad>; $\gamma_r=1900.00$ <kg/mc>
 $\sigma_{v0,i}=1900.00$ <kg/mq>; $\psi_q=0.73$; $\psi_c=0.61$; $\psi_g=0.73$
 $\phi'_r=32.00$ <grad>; $c'_r=2200.00$ <kg/mq>;
 $N_q=23.18$; $N_c=35.49$; $N_g=30.21$; $b_q=1.00$
 $b_c=1.00$; $b_g=1.00$; $f_{ecc}=1.00$

CC	N <kg>	Tx <kg>	Ty <kg>	Mx <kgm>	My <kgm>	B' <m>	L' <m>	s _q	s _c	s _g	i _q	i _c	i _g	q _{lim} <kg/mq>	R _d <kg>	Sic.
9	186069.00	-8411.11	-9799.45	150.89	-11523.40	0.80	9.78	1.05	1.05	0.97	1.00	1.00	1.00	160475.00	544571.00	2.93

MEYER - stato ATTUALE - verifica in fondazione

9	279122.00	1658.94	7415.54	292.45	5917.95	0.80	29.97	1.02	1.02	0.99	1.00	1.00	1.00	152762.00	1588250.00	5.69
---	-----------	---------	---------	--------	---------	------	-------	------	------	------	------	------	------	-----------	------------	------

Verifiche in condizioni non drenate

Verifiche soddisfatte $I_r(24.67) \geq I_{rcrit}(13.39)$

Verifiche di capacità portante per rottura per punzonamento

Travata n. 987

Verifiche in condizioni drenate

$B=0.80$ <m>; $L=10.66$ <m>; $D=1.00$ <m>; $\beta=0.00$ <grad>; $\eta=0.00$ <grad>; $\gamma_r=1900.00$ <kg/mc>
 $\sigma_{v0,r}=1900.00$ <kg/mq>; $\psi_q=0.75$; $\psi_c=0.62$; $\psi_g=0.75$
 $\phi'_r=32.00$ <grad>; $c'_r=2200.00$ <kg/mq>;
 $N_q=23.18$; $N_c=35.49$; $N_g=30.21$; $b_q=1.00$
 $b_c=1.00$; $b_g=1.00$; $f_{ecc}=1.00$

CC	N <kg>	Tx <kg>	Ty <kg>	Mx <kgm>	My <kgm>	B' <m>	L' <m>	s _q	s _c	s _g	i _q	i _c	i _g	q _{lim} <kg/mq>	R _d <kg>	Sic.
9	203855.00	2530.96	-3985.45	181.71	-1722.27	0.80	10.64	1.05	1.05	0.97	1.00	1.00	1.00	159582.00	589226.00	2.89

Verifiche in condizioni non drenate

Verifiche soddisfatte $I_r(24.67) \geq I_{rcrit}(13.11)$

Verifiche di capacità portante per rottura per punzonamento

Travata n. 997

Verifiche in condizioni drenate

$B=0.80$ <m>; $L=9.90$ <m>; $D=1.00$ <m>; $\beta=0.00$ <grad>; $\eta=0.00$ <grad>; $\gamma_r=1900.00$ <kg/mc>
 $\sigma_{v0,r}=1900.00$ <kg/mq>; $\psi_q=0.75$; $\psi_c=0.63$; $\psi_g=0.75$
 $\phi'_r=32.00$ <grad>; $c'_r=2200.00$ <kg/mq>;
 $N_q=23.18$; $N_c=35.49$; $N_g=30.21$; $b_q=1.00$
 $b_c=1.00$; $b_g=1.00$; $f_{ecc}=0.99$

CC	N <kg>	Tx <kg>	Ty <kg>	Mx <kgm>	My <kgm>	B' <m>	L' <m>	s _q	s _c	s _g	i _q	i _c	i _g	q _{lim} <kg/mq>	R _d <kg>	Sic.
9	191829.00	-2751.81	-14463.00	-36.31	-7191.27	0.80	9.83	1.05	1.05	0.97	1.00	1.00	1.00	160441.00	548031.00	2.86

Verifiche in condizioni non drenate

Verifiche soddisfatte $I_r(24.67) \geq I_{rcrit}(13.07)$

Verifiche di capacità portante per rottura per punzonamento

Travata n. 1004

Verifiche in condizioni drenate

$B=0.80$ <m>; $L=9.90$ <m>; $D=1.00$ <m>; $\beta=0.00$ <grad>; $\eta=0.00$ <grad>; $\gamma_r=1900.00$ <kg/mc>
 $\sigma_{v0,r}=1900.00$ <kg/mq>; $\psi_q=0.75$; $\psi_c=0.63$; $\psi_g=0.75$
 $\phi'_r=32.00$ <grad>; $c'_r=2200.00$ <kg/mq>;
 $N_q=23.18$; $N_c=35.49$; $N_g=30.21$; $b_q=1.00$
 $b_c=1.00$; $b_g=1.00$; $f_{ecc}=0.99$

CC	N <kg>	Tx <kg>	Ty <kg>	Mx <kgm>	My <kgm>	B' <m>	L' <m>	s _q	s _c	s _g	i _q	i _c	i _g	q _{lim} <kg/mq>	R _d <kg>	Sic.
9	189659.00	2627.66	-14337.00	32.11	-6932.53	0.80	9.83	1.05	1.05	0.97	1.00	1.00	1.00	160440.00	548158.00	2.89

Verifiche in condizioni non drenate

Verifiche soddisfatte $I_r(24.67) \geq I_{rcrit}(13.07)$

Verifiche di capacità portante per rottura per punzonamento

Travata n. 1116

Verifiche in condizioni drenate

$B=0.80$ <m>; $L=17.90$ <m>; $D=1.00$ <m>; $\beta=0.00$ <grad>; $\eta=0.00$ <grad>; $\gamma_r=1900.00$ <kg/mc>

MEYER - stato ATTUALE - verifica in fondazione

$\sigma_{v0,r}=1900.00$ <kg/mq>; $\psi_q=0.74$; $\psi_c=0.62$; $\psi_g=0.74$
 $\phi'_r=32.00$ <grad>; $c'_r=2200.00$ <kg/mq>;
 $N_q=23.18$; $N_c=35.49$; $N_g=30.21$; $b_q=1.00$
 $b_c=1.00$; $b_g=1.00$; $f_{ecc}=0.99$

CC	N <kg>	Tx <kg>	Ty <kg>	Mx <kgm>	My <kgm>	B' <m>	L' <m>	s _q	s _c	s _g	i _q	i _c	i _g	Q _{lim} <kg/mq>	R _d <kg>	Sic.
9	238043.00	-1334.14	5161.99	480.80	3934.24	0.80	17.87	1.03	1.03	0.98	1.00	1.00	1.00	155287.00	960173.00	4.03

Verifiche in condizioni non drenate

Verifiche soddisfatte $Ir(24.67) \geq Ir_{crit}(13.29)$

Verifiche di capacità portante per rottura per punzonamento

Travata n. 1187

Verifiche in condizioni drenate

$B=0.80$ <m>; $L=35.75$ <m>; $D=1.00$ <m>; $\beta=0.00$ <grad>; $\eta=0.00$ <grad>; $\gamma_r=1900.00$ <kg/mc>
 $\sigma_{v0,r}=1900.00$ <kg/mq>; $\psi_q=0.73$; $\psi_c=0.61$; $\psi_g=0.73$
 $\phi'_r=32.00$ <grad>; $c'_r=2200.00$ <kg/mq>;
 $N_q=23.18$; $N_c=35.49$; $N_g=30.21$; $b_q=1.00$
 $b_c=1.00$; $b_g=1.00$; $f_{ecc}=0.99$

CC	N <kg>	Tx <kg>	Ty <kg>	Mx <kgm>	My <kgm>	B' <m>	L' <m>	s _q	s _c	s _g	i _q	i _c	i _g	Q _{lim} <kg/mq>	R _d <kg>	Sic.
9	330895.00	3319.00	11987.50	511.01	12650.40	0.80	35.68	1.01	1.01	0.99	1.00	1.00	1.00	152175.00	1881030.00	5.68

Verifiche in condizioni non drenate

Verifiche soddisfatte $Ir(24.67) \geq Ir_{crit}(13.42)$

Verifiche di capacità portante per rottura per punzonamento

Travata n. 1323

Verifiche in condizioni drenate

$B=0.80$ <m>; $L=2.87$ <m>; $D=1.00$ <m>; $\beta=0.00$ <grad>; $\eta=0.00$ <grad>; $\gamma_r=1900.00$ <kg/mc>
 $\sigma_{v0,r}=1900.00$ <kg/mq>; $\psi_q=0.80$; $\psi_c=0.68$; $\psi_g=0.80$
 $\phi'_r=32.00$ <grad>; $c'_r=2200.00$ <kg/mq>;
 $N_q=23.18$; $N_c=35.49$; $N_g=30.21$; $b_q=1.00$
 $b_c=1.00$; $b_g=1.00$; $f_{ecc}=0.99$

CC	N <kg>	Tx <kg>	Ty <kg>	Mx <kgm>	My <kgm>	B' <m>	L' <m>	s _q	s _c	s _g	i _q	i _c	i _g	Q _{lim} <kg/mq>	R _d <kg>	Sic.
9	71899.80	-572.15	1463.80	145.93	157.78	0.80	2.87	1.17	1.18	0.89	1.00	1.00	1.00	190542.00	188956.00	2.63

Verifiche in condizioni non drenate

Verifiche soddisfatte $Ir(24.67) \geq Ir_{crit}(11.96)$

Verifiche di capacità portante per rottura per punzonamento

Travata n. 1332

Verifiche in condizioni drenate

$B=0.80$ <m>; $L=10.66$ <m>; $D=1.00$ <m>; $\beta=0.00$ <grad>; $\eta=0.00$ <grad>; $\gamma_r=1900.00$ <kg/mc>
 $\sigma_{v0,r}=1900.00$ <kg/mq>; $\psi_q=0.75$; $\psi_c=0.62$; $\psi_g=0.75$
 $\phi'_r=32.00$ <grad>; $c'_r=2200.00$ <kg/mq>;
 $N_q=23.18$; $N_c=35.49$; $N_g=30.21$; $b_q=1.00$
 $b_c=1.00$; $b_g=1.00$; $f_{ecc}=1.00$

CC	N <kg>	Tx <kg>	Ty <kg>	Mx <kgm>	My <kgm>	B' <m>	L' <m>	s _q	s _c	s _g	i _q	i _c	i _g	Q _{lim} <kg/mq>	R _d <kg>	Sic.
9	202710.00	-5628.81	-4536.67	195.14	2292.79	0.80	10.63	1.05	1.05	0.97	1.00	1.00	1.00	159585.00	588816.00	2.90

Verifiche in condizioni non drenate

Verifiche soddisfatte $Ir(24.67) \geq Ir_{crit}(13.11)$

Verifiche di capacità portante per rottura per scorrimento

Travata n. 737

B=0.80 <m>; L=2.84 <m>; D=1.00 <m>

Verifiche in condizioni drenate

CC	N <kg>	Tx <kg>	Ty <kg>	R _d <kg>	Sic.
1	66178.30	-5973.25	19031.10	42048.40	2.11
2	62881.50	-5057.83	10943.60	40140.40	3.33
3	65619.40	-5786.44	23121.90	41762.10	1.75
4	61843.60	-4710.88	18540.80	39642.40	2.07
5	67233.00	-5741.17	22731.10	42659.20	1.82
6	63936.20	-4825.74	14643.60	40752.30	2.64
7	66674.20	-5554.35	26821.90	42356.80	1.55
8	62898.30	-4478.79	22240.80	40236.40	1.77

Verifiche in condizioni non drenate

CC	N <kg>	Tx <kg>	Ty <kg>	R _d <kg>	Sic.
1	66178.30	-5973.25	19031.10	30374.70	1.52
2	62881.50	-5057.83	10943.60	30134.60	2.50
3	65619.40	-5786.44	23121.90	30587.00	1.28
4	61843.60	-4710.88	18540.80	30759.30	1.61
5	67233.00	-5741.17	22731.10	30454.10	1.30
6	63936.20	-4825.74	14643.60	30221.90	1.96
7	66674.20	-5554.35	26821.90	30556.80	1.12
8	62898.30	-4478.79	22240.80	30724.10	1.35

Verifiche di capacità portante per rottura per scorrimento

Travata n. 781

B=0.80 <m>; L=2.84 <m>; D=1.00 <m>

Verifiche in condizioni drenate

CC	N <kg>	Tx <kg>	Ty <kg>	R _d <kg>	Sic.
1	68297.90	5823.69	25926.10	43294.60	1.63
2	65301.80	4749.52	17389.20	41551.30	2.31
3	67260.70	5659.73	29332.00	42693.20	1.43
4	63375.60	4445.02	23714.40	40506.50	1.68
5	67229.50	6102.79	21657.80	42658.30	1.90
6	64233.40	5028.62	13120.90	40917.90	2.91
7	66192.30	5938.83	25063.70	42081.50	1.63
8	62307.20	4724.12	19446.10	39903.30	1.99

Verifiche in condizioni non drenate

CC	N <kg>	Tx <kg>	Ty <kg>	R _d <kg>	Sic.
1	68297.90	5823.69	25926.10	30661.90	1.15
2	65301.80	4749.52	17389.20	30379.80	1.69
3	67260.70	5659.73	29332.00	30578.80	1.02
4	63375.60	4445.02	23714.40	30717.20	1.27
5	67229.50	6102.79	21657.80	30461.40	1.35
6	64233.40	5028.62	13120.90	30199.80	2.15
7	66192.30	5938.83	25063.70	30545.80	1.19
8	62307.20	4724.12	19446.10	30742.30	1.54

Verifiche di capacità portante per rottura per scorrimento

Travata n. 783

B=0.80 <m>; L=2.73 <m>; D=1.00 <m>

Verifiche in condizioni drenate

CC	N <kg>	Tx <kg>	Ty <kg>	R _d <kg>	Sic.
1	64981.00	-527.63	-6433.58	41211.00	6.38
2	58753.90	136.33	-3117.27	37714.80	12.09
3	68529.50	-830.40	-7259.40	43191.30	5.91
4	65344.00	-425.94	-4650.94	41401.50	8.86
5	63519.20	3967.22	-13406.90	40371.40	2.89
6	57292.20	2752.91	-7997.50	36854.00	4.36
7	67067.80	3967.28	-14825.70	42354.50	2.76
8	63882.30	2753.02	-10632.40	40572.90	3.69

Verifiche in condizioni non drenate

CC	N <kg>	Tx <kg>	Ty <kg>	R _d <kg>	Sic.
1	64981.00	-527.63	-6433.58	29302.40	4.54
2	58753.90	136.33	-3117.27	29583.00	9.48
3	68529.50	-830.40	-7259.40	29060.80	3.98
4	65344.00	-425.94	-4650.94	29195.40	6.25
5	63519.20	3967.22	-13406.90	29239.70	2.09
6	57292.20	2752.91	-7997.50	29375.40	3.47
7	67067.80	3967.28	-14825.70	29016.70	1.89
8	63882.30	2753.02	-10632.40	29207.10	2.66

Verifiche di capacità portante per rottura per scorrimento

Travata n. 789

B=0.80 <m>; L=5.57 <m>; D=1.00 <m>

Verifiche in condizioni drenate

CC	N <kg>	Tx <kg>	Ty <kg>	R _d <kg>	Sic.
1	103759.00	-5028.32	14522.80	67802.50	4.41
2	97545.00	-4550.37	5061.28	64116.60	9.42
3	108440.00	-2990.16	23850.80	70347.50	2.93
4	106239.00	-765.22	22384.60	69149.20	3.09
5	103071.00	-4634.21	13388.30	67408.40	4.76
6	96857.70	-4156.26	3926.74	63713.60	11.14
7	107753.00	-2596.05	22716.20	70000.00	3.06
8	105552.00	-371.10	21250.10	68791.50	3.24

Verifiche in condizioni non drenate

CC	N <kg>	Tx <kg>	Ty <kg>	R _d <kg>	Sic.
1	103759.00	-5028.32	14522.80	60416.80	3.93
2	97545.00	-4550.37	5061.28	59351.70	8.72
3	108440.00	-2990.16	23850.80	59636.30	2.48
4	106239.00	-765.22	22384.60	59990.20	2.68
5	103071.00	-4634.21	13388.30	60391.80	4.26
6	96857.70	-4156.26	3926.74	59266.00	10.37
7	107753.00	-2596.05	22716.20	59929.00	2.62
8	105552.00	-371.10	21250.10	60213.10	2.83

Verifiche di capacità portante per rottura per scorrimento

Travata n. 798

B=0.80 <m>; L=5.57 <m>; D=1.00 <m>

Verifiche in condizioni drenate

CC	N <kg>	Tx <kg>	Ty <kg>	R _d <kg>	Sic.
1	102189.00	6075.26	13328.60	66906.40	4.57
2	95668.20	5248.44	3122.49	63029.70	10.32
3	107484.00	3997.80	23614.50	69835.60	2.92

MEYER - stato ATTUALE - verifica in fondazione

4	105502.00	1390.30	22225.00	68746.80	3.09
5	102909.00	6501.99	14711.80	67320.30	4.19
6	96388.20	5675.16	4505.67	63453.60	8.76
7	108204.00	4424.53	24997.70	70200.00	2.77
8	106222.00	1817.03	23608.10	69120.00	2.92

Verifiche in condizioni non drenate

CC	N <kg>	Tx <kg>	Ty <kg>	R _d <kg>	Sic.
1	102189.00	6075.26	13328.60	60386.50	4.12
2	95668.20	5248.44	3122.49	59209.90	9.70
3	107484.00	3997.80	23614.50	59849.10	2.50
4	105502.00	1390.30	22225.00	60101.60	2.70
5	102909.00	6501.99	14711.80	60419.70	3.76
6	96388.20	5675.16	4505.67	59311.90	8.19
7	108204.00	4424.53	24997.70	59544.90	2.35
8	106222.00	1817.03	23608.10	59857.30	2.53

Verifiche di capacità portante per rottura per scorrimento

Travata n. 804

B=0.80 <m>; L=2.73 <m>; D=1.00 <m>

Verifiche in condizioni drenate

CC	N <kg>	Tx <kg>	Ty <kg>	R _d <kg>	Sic.
1	62551.30	-3909.02	-13719.20	39823.50	2.79
2	56119.00	-2632.91	-7507.77	36181.10	4.55
3	66691.90	-4080.05	-16085.60	42136.40	2.54
4	63808.70	-2950.53	-11902.50	40522.70	3.30
5	63944.10	360.55	-6501.05	40607.20	6.24
6	57511.80	-326.70	-2679.80	36990.90	13.70
7	68084.70	748.36	-7909.85	42921.20	5.40
8	65201.50	393.52	-5296.14	41306.70	7.78

Verifiche in condizioni non drenate

CC	N <kg>	Tx <kg>	Ty <kg>	R _d <kg>	Sic.
1	62551.30	-3909.02	-13719.20	29253.20	2.05
2	56119.00	-2632.91	-7507.77	29331.20	3.69
3	66691.90	-4080.05	-16085.60	28985.50	1.75
4	63808.70	-2950.53	-11902.50	29149.90	2.38
5	63944.10	360.55	-6501.05	29201.60	4.48
6	57511.80	-326.70	-2679.80	29458.60	10.91
7	68084.70	748.36	-7909.85	28942.00	3.64
8	65201.50	393.52	-5296.14	29100.80	5.48

Verifiche di capacità portante per rottura per scorrimento

Travata n. 840

B=0.80 <m>; L=2.87 <m>; D=1.00 <m>

Verifiche in condizioni drenate

CC	N <kg>	Tx <kg>	Ty <kg>	R _d <kg>	Sic.
1	66833.20	-8186.99	3571.48	42418.10	4.75
2	62324.00	-4466.58	2874.02	39946.70	7.52
3	68054.00	-9068.17	3921.17	43058.60	4.36
4	64591.20	-6103.05	3523.45	41127.70	5.84
5	65570.30	8049.78	1335.30	41697.90	5.11
6	61061.10	4635.59	1034.08	39228.40	8.26
7	66791.20	8650.34	1494.83	42337.50	4.82
8	63328.30	5750.92	1330.36	40407.10	6.85

MEYER - stato ATTUALE - verifica in fondazione

Verifiche in condizioni non drenate

CC	N <kg>	Tx <kg>	Ty <kg>	R _d <kg>	Sic.
1	66833.20	-8186.99	3571.48	30358.60	3.40
2	62324.00	-4466.58	2874.02	30973.40	5.83
3	68054.00	-9068.17	3921.17	29997.70	3.04
4	64591.20	-6103.05	3523.45	30244.50	4.29
5	65570.30	8049.78	1335.30	30339.90	3.72
6	61061.10	4635.59	1034.08	30966.80	6.52
7	66791.20	8650.34	1494.83	29971.90	3.41
8	63328.30	5750.92	1330.36	30222.10	5.12

Verifiche di capacità portante per rottura per scorrimento

Travata n. 851

B=0.80 <m>; L=9.90 <m>; D=1.00 <m>

Verifiche in condizioni drenate

CC	N <kg>	Tx <kg>	Ty <kg>	R _d <kg>	Sic.
1	165168.00	10932.20	9539.84	109222.00	7.53
2	154868.00	9715.79	3358.91	103650.00	10.08
3	168693.00	9717.98	13184.70	110864.00	6.77
4	161416.00	7460.75	10127.90	106756.00	8.49
5	166339.00	9741.19	-62726.70	109778.00	1.73
6	156040.00	8524.75	-31935.40	104305.00	3.16
7	169864.00	8526.94	-76127.00	111436.00	1.45
8	162587.00	6269.70	-56821.50	107341.00	1.88

Verifiche in condizioni non drenate

CC	N <kg>	Tx <kg>	Ty <kg>	R _d <kg>	Sic.
1	165168.00	10932.20	9539.84	104978.00	7.24
2	154868.00	9715.79	3358.91	106877.00	10.40
3	168693.00	9717.98	13184.70	102520.00	6.26
4	161416.00	7460.75	10127.90	102692.00	8.16
5	166339.00	9741.19	-62726.70	104226.00	1.64
6	156040.00	8524.75	-31935.40	106805.00	3.23
7	169864.00	8526.94	-76127.00	101880.00	1.33
8	162587.00	6269.70	-56821.50	102145.00	1.79

Verifiche di capacità portante per rottura per scorrimento

Travata n. 874

B=0.80 <m>; L=9.90 <m>; D=1.00 <m>

Verifiche in condizioni drenate

CC	N <kg>	Tx <kg>	Ty <kg>	R _d <kg>	Sic.
1	164409.00	-9892.97	-62877.00	108684.00	1.71
2	154510.00	-9005.20	-29720.70	103439.00	3.33
3	167405.00	-8578.64	-79867.90	110035.00	1.37
4	160074.00	-6564.29	-61275.40	105906.00	1.72
5	163748.00	-10694.10	8640.90	108382.00	7.88
6	153849.00	-9806.34	2709.98	103015.00	10.13
7	166744.00	-9379.79	12616.80	109730.00	6.98
8	159413.00	-7365.44	10093.80	105605.00	8.45

Verifiche in condizioni non drenate

CC	N <kg>	Tx <kg>	Ty <kg>	R _d <kg>	Sic.
1	164409.00	-9892.97	-62877.00	104245.00	1.64
2	154510.00	-9005.20	-29720.70	106827.00	3.44

MEYER - stato ATTUALE - verifica in fondazione

3	167405.00	-8578.64	-79867.90	101855.00	1.27
4	160074.00	-6564.29	-61275.40	102094.00	1.66
5	163748.00	-10694.10	8640.90	104743.00	7.62
6	153849.00	-9806.34	2709.98	106491.00	10.47
7	166744.00	-9379.79	12616.80	102337.00	6.51
8	159413.00	-7365.44	10093.80	102601.00	8.21

Verifiche di capacità portante per rottura per scorrimento

Travata n. 977

B=0.80 <m>; L=30.01 <m>; D=1.00 <m>

Verifiche in condizioni drenate

CC	N <kg>	Tx <kg>	Ty <kg>	R _d <kg>	Sic.
1	249488.00	-14837.10	10767.20	188524.00	10.28
2	220049.00	-15311.40	5502.76	172408.00	10.60
3	275868.00	-9446.08	14514.50	202898.00	11.72
4	269040.00	-5299.41	12462.00	199178.00	14.71
5	249536.00	18916.30	10960.60	188806.00	8.64
6	220097.00	17900.80	5351.31	172855.00	9.25
7	275916.00	14845.10	15141.20	202921.00	9.57
8	269088.00	10340.00	13115.40	199099.00	11.92

Verifiche in condizioni non drenate

CC	N <kg>	Tx <kg>	Ty <kg>	R _d <kg>	Sic.
1	249488.00	-14837.10	10767.20	319082.00	17.41
2	220049.00	-15311.40	5502.76	323226.00	19.87
3	275868.00	-9446.08	14514.50	314914.00	18.18
4	269040.00	-5299.41	12462.00	315995.00	23.33
5	249536.00	18916.30	10960.60	320820.00	14.67
6	220097.00	17900.80	5351.31	326087.00	17.45
7	275916.00	14845.10	15141.20	314884.00	14.85
8	269088.00	10340.00	13115.40	315270.00	18.88

Verifiche di capacità portante per rottura per scorrimento

Travata n. 987

B=0.80 <m>; L=10.66 <m>; D=1.00 <m>

Verifiche in condizioni drenate

CC	N <kg>	Tx <kg>	Ty <kg>	R _d <kg>	Sic.
1	182781.00	27468.70	-6216.03	120606.00	4.28
2	160184.00	22103.50	-3124.68	107961.00	4.84
3	199923.00	21398.70	-8349.14	130237.00	5.67
4	192018.00	10830.70	-7086.18	125778.00	9.72
5	187448.00	-9380.54	-6957.68	123215.00	10.55
6	164850.00	-7001.16	-3866.34	110559.00	13.82
7	204589.00	-8798.18	-9090.80	132859.00	10.50
8	196684.00	-5919.62	-7827.84	128432.00	13.09

Verifiche in condizioni non drenate

CC	N <kg>	Tx <kg>	Ty <kg>	R _d <kg>	Sic.
1	182781.00	27468.70	-6216.03	114373.00	4.06
2	160184.00	22103.50	-3124.68	115685.00	5.18
3	199923.00	21398.70	-8349.14	113649.00	4.95
4	192018.00	10830.70	-7086.18	113859.00	8.80
5	187448.00	-9380.54	-6957.68	114090.00	9.77
6	164850.00	-7001.16	-3866.34	115323.00	14.42
7	204589.00	-8798.18	-9090.80	113448.00	8.97
8	196684.00	-5919.62	-7827.84	113887.00	11.60

Verifiche di capacità portante per rottura per scorrimento

Travata n. 997

B=0.80 <m>; L=9.90 <m>; D=1.00 <m>

Verifiche in condizioni drenate

CC	N <kg>	Tx <kg>	Ty <kg>	R _d <kg>	Sic.
1	162914.00	-5691.92	-33189.20	107823.00	3.20
2	153063.00	-4835.67	-3060.60	102596.00	17.93
3	168773.00	-4297.75	-62835.70	110953.00	1.76
4	163944.00	-2246.50	-58118.40	108364.00	1.86
5	165898.00	-6529.08	-33454.00	109428.00	3.21
6	156047.00	-5548.95	-3325.36	104189.00	16.11
7	171757.00	-5139.60	-63100.50	112569.00	1.78
8	166928.00	-2968.49	-58383.20	109989.00	1.88

Verifiche in condizioni non drenate

CC	N <kg>	Tx <kg>	Ty <kg>	R _d <kg>	Sic.
1	162914.00	-5691.92	-33189.20	104164.00	3.09
2	153063.00	-4835.67	-3060.60	106681.00	18.64
3	168773.00	-4297.75	-62835.70	102813.00	1.63
4	163944.00	-2246.50	-58118.40	103863.00	1.79
5	165898.00	-6529.08	-33454.00	103550.00	3.04
6	156047.00	-5548.95	-3325.36	105986.00	16.38
7	171757.00	-5139.60	-63100.50	102278.00	1.62
8	166928.00	-2968.49	-58383.20	103384.00	1.77

Verifiche di capacità portante per rottura per scorrimento

Travata n. 1004

B=0.80 <m>; L=9.90 <m>; D=1.00 <m>

Verifiche in condizioni drenate

CC	N <kg>	Tx <kg>	Ty <kg>	R _d <kg>	Sic.
1	164735.00	6773.40	-39407.20	108721.00	2.72
2	154070.00	5692.86	-4340.26	103058.00	14.40
3	171522.00	5345.26	-72282.60	112367.00	1.55
4	166675.00	3040.59	-65394.60	109789.00	1.68
5	161389.00	2443.65	-39376.10	106941.00	2.71
6	150724.00	2702.41	-4309.16	101291.00	19.91
7	168176.00	1474.69	-72251.50	110566.00	1.53
8	163329.00	902.90	-65363.50	107976.00	1.65

Verifiche in condizioni non drenate

CC	N <kg>	Tx <kg>	Ty <kg>	R _d <kg>	Sic.
1	164735.00	6773.40	-39407.20	103234.00	2.58
2	154070.00	5692.86	-4340.26	105929.00	14.80
3	171522.00	5345.26	-72282.60	101809.00	1.40
4	166675.00	3040.59	-65394.60	103004.00	1.57
5	161389.00	2443.65	-39376.10	104057.00	2.64
6	150724.00	2702.41	-4309.16	106842.00	21.01
7	168176.00	1474.69	-72251.50	102483.00	1.42
8	163329.00	902.90	-65363.50	103604.00	1.58

Verifiche di capacità portante per rottura per scorrimento

Travata n. 1116

MEYER - stato ATTUALE - verifica in fondazione

B=0.80 <m>; L=17.90 <m>; D=1.00 <m>

Verifiche in condizioni drenate

CC	N <kg>	Tx <kg>	Ty <kg>	R _d <kg>	Sic.
1	197630.00	-13751.90	9856.14	140367.00	8.30
2	186575.00	-13056.80	3317.75	134503.00	9.98
3	208195.00	-7316.47	15444.20	145944.00	8.54
4	206194.00	-1105.26	13695.50	144857.00	10.54
5	197610.00	-74.29	9483.43	140410.00	14.81
6	186555.00	296.98	3003.83	134550.00	44.58
7	208175.00	-117.73	15294.50	145984.00	9.54
8	206174.00	216.29	13795.90	144897.00	10.50

Verifiche in condizioni non drenate

CC	N <kg>	Tx <kg>	Ty <kg>	R _d <kg>	Sic.
1	197630.00	-13751.90	9856.14	191592.00	11.32
2	186575.00	-13056.80	3317.75	194433.00	14.43
3	208195.00	-7316.47	15444.20	188703.00	11.04
4	206194.00	-1105.26	13695.50	189035.00	13.76
5	197610.00	-74.29	9483.43	191967.00	20.24
6	186555.00	296.98	3003.83	194830.00	64.55
7	208175.00	-117.73	15294.50	189053.00	12.36
8	206174.00	216.29	13795.90	189389.00	13.73

Verifiche di capacità portante per rottura per scorrimento

Travata n. 1187

B=0.80 <m>; L=35.75 <m>; D=1.00 <m>

Verifiche in condizioni drenate

CC	N <kg>	Tx <kg>	Ty <kg>	R _d <kg>	Sic.
1	272431.00	6012.51	27206.20	210964.00	7.57
2	268003.00	6293.99	11543.50	209136.00	15.91
3	271954.00	4902.95	38539.50	210085.00	5.41
4	267118.00	4233.38	32591.20	207487.00	6.31
5	272482.00	2851.25	27175.20	211069.00	7.72
6	268054.00	2939.29	11512.50	209243.00	17.61
7	272006.00	777.26	38508.50	210189.00	5.46
8	267169.00	-912.40	32560.20	207593.00	6.37

Verifiche in condizioni non drenate

CC	N <kg>	Tx <kg>	Ty <kg>	R _d <kg>	Sic.
1	272431.00	6012.51	27206.20	383223.00	13.75
2	268003.00	6293.99	11543.50	387910.00	29.50
3	271954.00	4902.95	38539.50	379076.00	9.76
4	267118.00	4233.38	32591.20	380094.00	11.57
5	272482.00	2851.25	27175.20	383739.00	14.04
6	268054.00	2939.29	11512.50	388440.00	32.69
7	272006.00	777.26	38508.50	379587.00	9.86
8	267169.00	-912.40	32560.20	380616.00	11.69

Verifiche di capacità portante per rottura per scorrimento

Travata n. 1323

B=0.80 <m>; L=2.87 <m>; D=1.00 <m>

Verifiche in condizioni drenate

CC	N <kg>	Tx <kg>	Ty <kg>	R _d <kg>	Sic.
----	-----------	------------	------------	------------------------	------

MEYER - stato ATTUALE - verifica in fondazione

1	64382.80	-10357.50	-126.30	41038.90	3.96
2	59756.50	-5456.93	97.37	38504.50	7.05
3	66009.20	-11940.30	-183.87	41901.90	3.51
4	62777.00	-8396.28	-9.56	40096.60	4.78
5	65539.40	7078.17	1891.52	41698.20	5.69
6	60913.20	3245.54	1716.12	39162.10	10.67
7	67165.80	8418.29	2060.29	42562.30	4.91
8	63933.70	5734.33	2029.55	40756.60	6.70

Verifiche in condizioni non drenate

CC	N <kg>	Tx <kg>	Ty <kg>	R _d <kg>	Sic.
1	64382.80	-10357.50	-126.30	30446.10	2.94
2	59756.50	-5456.93	97.37	31084.50	5.70
3	66009.20	-11940.30	-183.87	30030.80	2.51
4	62777.00	-8396.28	-9.56	30240.90	3.60
5	65539.40	7078.17	1891.52	30461.20	4.16
6	60913.20	3245.54	1716.12	31088.00	8.47
7	67165.80	8418.29	2060.29	30053.40	3.47
8	63933.70	5734.33	2029.55	30261.00	4.97

Verifiche di capacità portante per rottura per scorrimento

Travata n. 1332

B=0.80 <m>; L=10.66 <m>; D=1.00 <m>

Verifiche in condizioni drenate

CC	N <kg>	Tx <kg>	Ty <kg>	R _d <kg>	Sic.
1	186280.00	7212.36	-7608.93	122494.00	11.68
2	162646.00	4857.29	-4313.80	109289.00	16.82
3	205097.00	7143.44	-9864.80	133061.00	10.92
4	197591.00	4729.31	-8503.28	128865.00	13.24
5	181542.00	-33456.60	-6858.36	119871.00	3.51
6	157908.00	-26323.30	-3563.23	106683.00	4.02
7	200358.00	-28106.40	-9114.24	130427.00	4.41
8	192853.00	-16387.30	-7752.71	126235.00	6.96

Verifiche in condizioni non drenate

CC	N <kg>	Tx <kg>	Ty <kg>	R _d <kg>	Sic.
1	186280.00	7212.36	-7608.93	113697.00	10.84
2	162646.00	4857.29	-4313.80	115202.00	17.73
3	205097.00	7143.44	-9864.80	112861.00	9.27
4	197591.00	4729.31	-8503.28	113324.00	11.65
5	181542.00	-33456.60	-6858.36	114160.00	3.34
6	157908.00	-26323.30	-3563.23	115784.00	4.36
7	200358.00	-28106.40	-9114.24	113256.00	3.83
8	192853.00	-16387.30	-7752.71	113747.00	6.27

Cedimenti

Metodo utilizzato: Bowles

Simbologia

B	= Base della fondazione
L	= Lunghezza della fondazione (L>B)
D	= Profondità del piano di posa della fondazione
H	= Spessore del terreno responsabile del cedimento
E _r	= Modulo elastico rappresentativo del terreno di fondazione
v _r	= Coefficiente di Poisson rappresentativo del terreno di fondazione
I _s	= Coefficiente di influenza
I _f	= Coefficiente di profondità
kw	= Costante di sottofondo
CC	= Numero della combinazione delle condizioni di carico elementari
N	= Sforzo normale
q _{es}	= Pressione di esercizio

MEYER - stato ATTUALE - verifica in fondazione

Ced	=	Cedimento calcolato
-----	---	---------------------

Travata n. 737

B=0.80 <m>; L=2.84 <m>; D=1.00 <m>; H=4.00 <m>; E_r=1000000.00 <kg/mq>; ν_r=0.35
I_s=0.75 ; I_f=0.71 ; kw=1327800.00 <kg/mc>

CC	N <kg>	q _{es} <kg/mq>	Ced <cm>
1	66178.30	29138.00	2.19
2	62881.50	27686.40	2.09
3	65619.40	28892.00	2.18
4	61843.60	27229.50	2.05
5	67233.00	29602.40	2.23
6	63936.20	28150.80	2.12
7	66674.20	29356.40	2.21
8	62898.30	27693.80	2.09
9	73976.20	32571.40	2.45
10	55846.80	24589.10	1.85
11	53968.90	23762.30	1.79
12	53421.90	23521.40	1.77

Travata n. 781

B=0.80 <m>; L=2.84 <m>; D=1.00 <m>; H=4.00 <m>; E_r=1000000.00 <kg/mq>; ν_r=0.35
I_s=0.75 ; I_f=0.71 ; kw=1327800.00 <kg/mc>

CC	N <kg>	q _{es} <kg/mq>	Ced <cm>
1	68297.90	30071.30	2.26
2	65301.80	28752.10	2.17
3	67260.70	29614.60	2.23
4	63375.60	27904.00	2.10
5	67229.50	29600.90	2.23
6	64233.40	28281.70	2.13
7	66192.30	29144.20	2.19
8	62307.20	27433.60	2.07
9	75213.40	33116.20	2.49
10	56792.90	25005.70	1.88
11	54904.90	24174.40	1.82
12	54355.00	23932.30	1.80

Travata n. 783

B=0.80 <m>; L=2.73 <m>; D=1.00 <m>; H=4.00 <m>; E_r=1000000.00 <kg/mq>; ν_r=0.35
I_s=0.75 ; I_f=0.71 ; kw=1345600.00 <kg/mc>

CC	N <kg>	q _{es} <kg/mq>	Ced <cm>
1	64981.00	29742.30	2.21
2	58753.90	26892.10	2.00
3	68529.50	31366.50	2.33
4	65344.00	29908.50	2.22
5	63519.20	29073.30	2.16
6	57292.20	26223.10	1.95
7	67067.80	30697.40	2.28
8	63882.30	29239.40	2.17
9	69873.80	31981.80	2.38
10	52837.90	24184.30	1.80
11	51224.80	23446.00	1.74
12	50752.20	23229.70	1.73

Travata n. 789

B=0.80 <m>; L=5.57 <m>; D=1.00 <m>; H=4.00 <m>; E_r=1000000.00 <kg/mq>; ν_r=0.35
I_s=0.81 ; I_f=0.82 ; kw=1065270.00 <kg/mc>

CC	N <kg>	q _{es} <kg/mq>	Ced <cm>
1	103759.00	23285.10	2.19
2	97545.00	21890.70	2.05
3	108440.00	24335.80	2.28
4	106239.00	23841.90	2.24
5	103071.00	23130.90	2.17
6	96857.70	21736.50	2.04
7	107753.00	24181.50	2.27
8	105552.00	23687.60	2.22
9	121441.00	27253.40	2.56
10	91706.30	20580.40	1.93

MEYER - stato ATTUALE - verifica in fondazione

11	88733.70	19913.30	1.87
12	87854.70	19716.00	1.85

Travata n. 798

B=0.80 <m>; L=5.57 <m>; D=1.00 <m>; H=4.00 <m>; E_r=1000000.00 <kg/mq>; v_r=0.35
I_s=0.81 ; I_f=0.82 ; kw=1065270.00 <kg/mc>

CC	N <kg>	q _{es} <kg/mq>	Ced <cm>
1	102189.00	22932.90	2.15
2	95668.20	21469.50	2.02
3	107484.00	24121.20	2.26
4	105502.00	23676.40	2.22
5	102909.00	23094.40	2.17
6	96388.20	21631.10	2.03
7	108204.00	24282.80	2.28
8	106222.00	23838.00	2.24
9	120654.00	27076.70	2.54
10	91104.60	20445.40	1.92
11	88136.70	19779.30	1.86
12	87259.40	19582.50	1.84

Travata n. 804

B=0.80 <m>; L=2.73 <m>; D=1.00 <m>; H=4.00 <m>; E_r=1000000.00 <kg/mq>; v_r=0.35
I_s=0.75 ; I_f=0.71 ; kw=1345600.00 <kg/mc>

CC	N <kg>	q _{es} <kg/mq>	Ced <cm>
1	62551.30	28630.20	2.13
2	56119.00	25686.10	1.91
3	66691.90	30525.40	2.27
4	63808.70	29205.70	2.17
5	63944.10	29267.70	2.18
6	57511.80	26323.60	1.96
7	68084.70	31162.90	2.32
8	65201.50	29843.20	2.22
9	69154.90	31652.80	2.35
10	52288.40	23932.80	1.78
11	50677.30	23195.40	1.72
12	50205.70	22979.50	1.71

Travata n. 840

B=0.80 <m>; L=2.87 <m>; D=1.00 <m>; H=4.00 <m>; E_r=1000000.00 <kg/mq>; v_r=0.35
I_s=0.75 ; I_f=0.71 ; kw=1322890.00 <kg/mc>

CC	N <kg>	q _{es} <kg/mq>	Ced <cm>
1	66833.20	29108.50	2.20
2	62324.00	27144.60	2.05
3	68054.00	29640.30	2.24
4	64591.20	28132.10	2.13
5	65570.30	28558.50	2.16
6	61061.10	26594.60	2.01
7	66791.20	29090.20	2.20
8	63328.30	27582.00	2.08
9	73004.50	31796.40	2.40
10	55165.40	24026.70	1.82
11	53401.70	23258.60	1.76
12	52887.10	23034.50	1.74

Travata n. 851

B=0.80 <m>; L=9.90 <m>; D=1.00 <m>; H=4.00 <m>; E_r=1000000.00 <kg/mq>; v_r=0.35
I_s=0.82 ; I_f=1.00 ; kw=869246.00 <kg/mc>

CC	N <kg>	q _{es} <kg/mq>	Ced <cm>
1	165168.00	20854.50	2.40
2	154868.00	19554.10	2.25
3	168693.00	21299.60	2.45
4	161416.00	20380.80	2.34
5	166339.00	21002.40	2.42
6	156040.00	19702.00	2.27
7	169864.00	21447.50	2.47
8	162587.00	20528.70	2.36
9	187885.00	23722.80	2.73

MEYER - stato ATTUALE - verifica in fondazione

10	141638.00	17883.60	2.06
11	136470.00	17231.10	1.98
12	134977.00	17042.50	1.96

Travata n. 874

B=0.80 <m>; L=9.90 <m>; D=1.00 <m>; H=4.00 <m>; E_t=1000000.00 <kg/mq>; ν_t=0.35
I_s=0.82 ; I_f=1.00 ; kw=869246.00 <kg/mc>

CC	N <kg>	q _{es} <kg/mq>	Ced <cm>
1	164409.00	20758.70	2.39
2	154510.00	19508.80	2.24
3	167405.00	21137.00	2.43
4	160074.00	20211.30	2.33
5	163748.00	20675.30	2.38
6	153849.00	19425.40	2.23
7	166744.00	21053.50	2.42
8	159413.00	20127.90	2.32
9	186069.00	23493.60	2.70
10	140231.00	17705.90	2.04
11	135053.00	17052.10	1.96
12	133555.00	16863.00	1.94

Travata n. 977

B=0.80 <m>; L=30.01 <m>; D=1.00 <m>; H=4.00 <m>; E_t=1000000.00 <kg/mq>; ν_t=0.35
I_s=0.81 ; I_f=1.82 ; kw=483972.00 <kg/mc>

CC	N <kg>	q _{es} <kg/mq>	Ced <cm>
1	249488.00	10391.20	2.15
2	220049.00	9165.03	1.89
3	275868.00	11489.90	2.37
4	269040.00	11205.50	2.32
5	249536.00	10393.20	2.15
6	220097.00	9167.04	1.89
7	275916.00	11491.90	2.37
8	269088.00	11207.50	2.32
9	279122.00	11625.40	2.40
10	211117.00	8793.03	1.82
11	204945.00	8535.95	1.76
12	203102.00	8459.20	1.75

Travata n. 987

B=0.80 <m>; L=10.66 <m>; D=1.00 <m>; H=4.00 <m>; E_t=1000000.00 <kg/mq>; ν_t=0.35
I_s=0.82 ; I_f=1.03 ; kw=843801.00 <kg/mc>

CC	N <kg>	q _{es} <kg/mq>	Ced <cm>
1	182781.00	21441.10	2.54
2	160184.00	18790.30	2.23
3	199923.00	23451.90	2.78
4	192018.00	22524.60	2.67
5	187448.00	21988.50	2.61
6	164850.00	19337.70	2.29
7	204589.00	23999.30	2.84
8	196684.00	23072.00	2.73
9	203855.00	23913.20	2.83
10	153558.00	18013.00	2.13
11	147719.00	17328.20	2.05
12	146037.00	17130.80	2.03

Travata n. 997

B=0.80 <m>; L=9.90 <m>; D=1.00 <m>; H=4.00 <m>; E_t=1000000.00 <kg/mq>; ν_t=0.35
I_s=0.82 ; I_f=1.00 ; kw=869246.00 <kg/mc>

CC	N <kg>	q _{es} <kg/mq>	Ced <cm>
1	162914.00	20569.90	2.37
2	153063.00	19326.20	2.22
3	168773.00	21309.70	2.45
4	163944.00	20700.00	2.38
5	165898.00	20946.70	2.41
6	156047.00	19702.90	2.27
7	171757.00	21686.50	2.49
8	166928.00	21076.80	2.42

MEYER - stato ATTUALE - verifica in fondazione

9	191829.00	24220.80	2.79
10	144566.00	18253.30	2.10
11	139219.00	17578.20	2.02
12	137666.00	17382.10	2.00

Travata n. 1004

B=0.80 <m>; L=9.90 <m>; D=1.00 <m>; H=4.00 <m>; E_r=1000000.00 <kg/mq>; v_r=0.35
I_s=0.82 ; I_f=1.00 ; kw=869246.00 <kg/mc>

CC	N <kg>	q _{es} <kg/mq>	Ced <cm>
1	164735.00	20799.80	2.39
2	154070.00	19453.20	2.24
3	171522.00	21656.90	2.49
4	166675.00	21044.80	2.42
5	161389.00	20377.40	2.34
6	150724.00	19030.80	2.19
7	168176.00	21234.40	2.44
8	163329.00	20622.40	2.37
9	189659.00	23946.90	2.75
10	142915.00	18044.80	2.08
11	137591.00	17372.60	2.00
12	136046.00	17177.50	1.98

Travata n. 1116

B=0.80 <m>; L=17.90 <m>; D=1.00 <m>; H=4.00 <m>; E_r=1000000.00 <kg/mq>; v_r=0.35
I_s=0.81 ; I_f=1.32 ; kw=660539.00 <kg/mc>

CC	N <kg>	q _{es} <kg/mq>	Ced <cm>
1	197630.00	13801.00	2.09
2	186575.00	13028.90	1.97
3	208195.00	14538.70	2.20
4	206194.00	14399.00	2.18
5	197610.00	13799.60	2.09
6	186555.00	13027.60	1.97
7	208175.00	14537.30	2.20
8	206174.00	14397.70	2.18
9	238043.00	16623.10	2.52
10	179597.00	12541.70	1.90
11	173427.00	12110.90	1.83
12	171599.00	11983.10	1.81

Travata n. 1187

B=0.80 <m>; L=35.75 <m>; D=1.00 <m>; H=4.00 <m>; E_r=1000000.00 <kg/mq>; v_r=0.35
I_s=0.81 ; I_f=2.05 ; kw=429348.00 <kg/mc>

CC	N <kg>	q _{es} <kg/mq>	Ced <cm>
1	272431.00	9525.02	2.22
2	268003.00	9370.21	2.18
3	271954.00	9508.35	2.21
4	267118.00	9339.26	2.18
5	272482.00	9526.82	2.22
6	268054.00	9372.01	2.18
7	272006.00	9510.15	2.22
8	267169.00	9341.06	2.18
9	330895.00	11569.10	2.69
10	249585.00	8726.25	2.03
11	240897.00	8422.51	1.96
12	238347.00	8333.36	1.94

Travata n. 1323

B=0.80 <m>; L=2.87 <m>; D=1.00 <m>; H=4.00 <m>; E_r=1000000.00 <kg/mq>; v_r=0.35
I_s=0.75 ; I_f=0.71 ; kw=1322890.00 <kg/mc>

CC	N <kg>	q _{es} <kg/mq>	Ced <cm>
1	64382.80	28041.20	2.12
2	59756.50	26026.30	1.97
3	66009.20	28749.60	2.17
4	62777.00	27341.90	2.07
5	65539.40	28545.00	2.16
6	60913.20	26530.10	2.01
7	67165.80	29253.40	2.21

MEYER - stato ATTUALE - verifica in fondazione

8	63933.70	27845.60	2.10
9	71899.80	31315.20	2.37
10	54322.80	23659.70	1.79
11	52567.30	22895.10	1.73
12	52055.50	22672.20	1.71

Travata n. 1332

B=0.80 <m>; L=10.66 <m>; D=1.00 <m>; H=4.00 <m>; E_r=1000000.00 <kg/mq>; v_r=0.35
 I_s=0.82 ; I_r=1.03 ; kw=843801.00 <kg/mc>

CC	N <kg>	q _{es} <kg/mq>	Ced <cm>
1	186280.00	21851.50	2.59
2	162646.00	19079.20	2.26
3	205097.00	24058.80	2.85
4	197591.00	23178.40	2.75
5	181542.00	21295.70	2.52
6	157908.00	18523.30	2.20
7	200358.00	23503.00	2.79
8	192853.00	22622.60	2.68
9	202710.00	23778.80	2.82
10	152650.00	17906.50	2.12
11	146772.00	17217.00	2.04
12	145077.00	17018.20	2.02

Stato di PROGETTO - Verifica fondazione

Sommario

Figura numero 1: Verifica in fondazione: schema 3D	2
Figura numero 2: Stato di progetto : schema fondazioni	2
Figura numero 3: Tensioni sul terreno: CC9 Amb. 2 (SLU)	3
Fondazioni superficiali.....	3
Verifiche capacità portante	3
Cedimenti	25

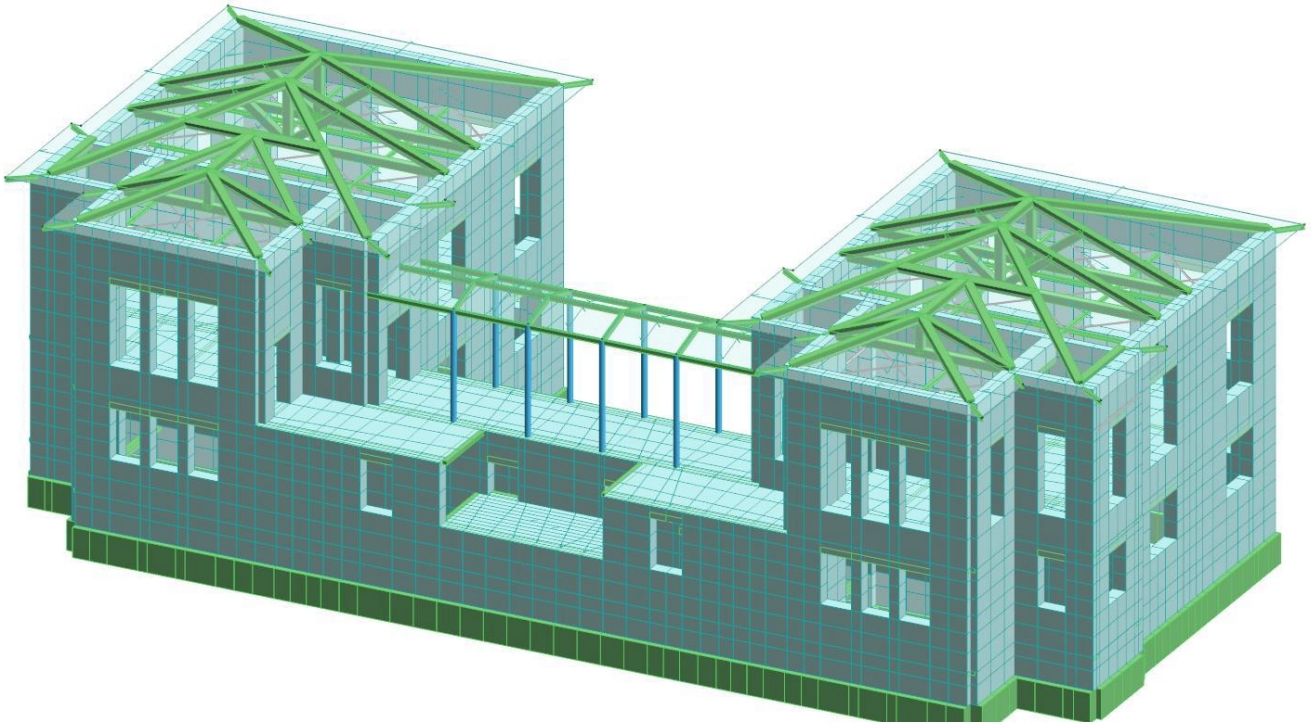


Figura numero 1: Verifica in fondazione: schema 3D

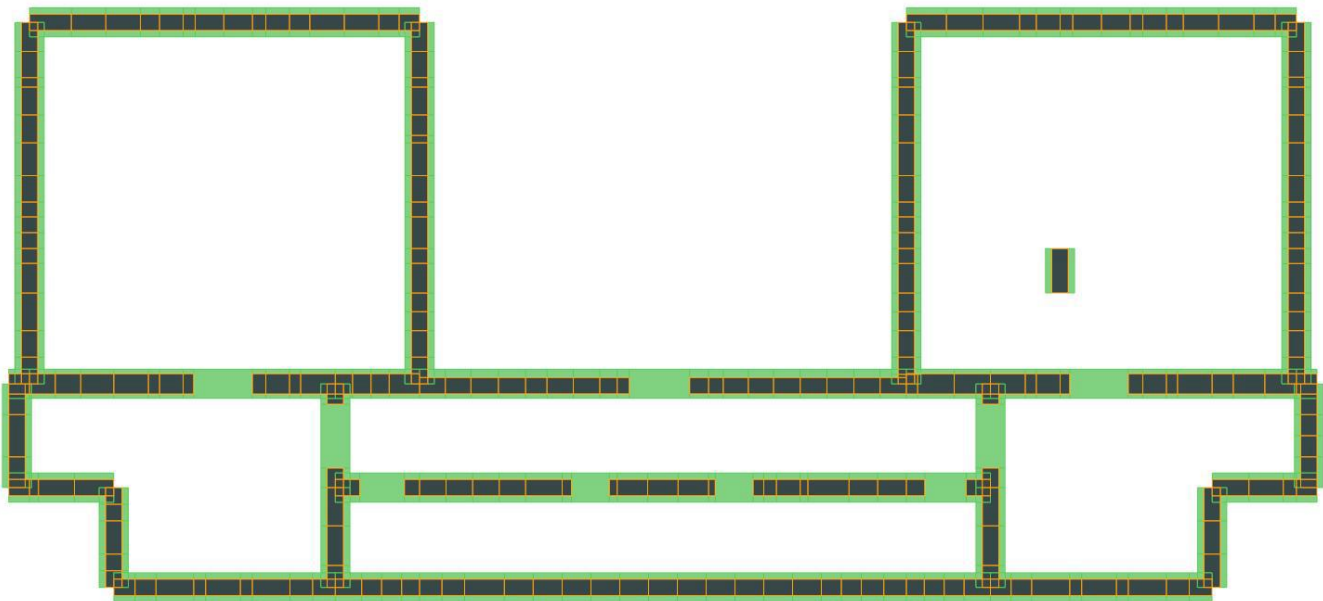


Figura numero 2: Stato di progetto : schema fondazioni

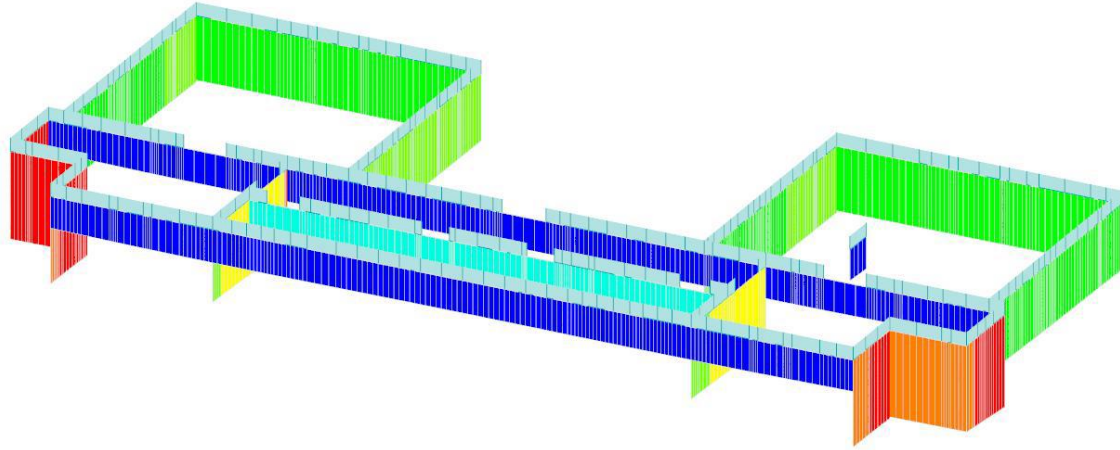
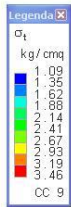


Figura numero 3: Tensioni sul terreno: CC9 Amb. 2 (SLU)

Fondazioni superficiali

Simbologia

B	= Base della fondazione
L	= Lunghezza della fondazione (L>B)
D	= Profondità del piano di posa della fondazione
β	= Inclinazione del piano di campagna
η	= Inclinazione del piano di posa della fondazione
γ _z	= Peso specifico rappresentativo del terreno di fondazione
σ _{v0,f}	= Pressione verticale alla profondità del piano di posa della fondazione
φ' _z	= Angolo di attrito rappresentativo del terreno di fondazione
c' _z	= Coesione efficace rappresentativa del terreno di fondazione
N _q	= Coefficiente di capacità portante relativo al sovraccarico laterale
N _c	= Coefficiente di capacità portante relativo alla coesione del terreno di fondazione
N _q	= Coefficiente di capacità portante relativo al peso del terreno di fondazione
b _q	= Fattore di inclinazione del piano di fondazione relativo a sovraccarico laterale
b _c	= Fattore di inclinazione del piano di fondazione relativo a coesione
b _q	= Fattore di inclinazione del piano di fondazione relativo a peso del terreno
f _{ecc}	= Fattore unico di riduzione dell'eccentricità del carico
c _{uz}	= Coesione non drenata rappresentativa del terreno di fondazione
ψ _q	= Fattore di punzonamento relativo al sovraccarico laterale
ψ _c	= Fattore di punzonamento relativo alla coesione del terreno di fondazione
ψ _q	= Fattore di punzonamento relativo al peso del terreno di fondazione
CC	= Numero della combinazione delle condizioni di carico elementari
N	= Sforzo normale
T _x	= Taglio in dir. X
T _y	= Taglio in dir. Y
M _x	= Momento intorno all'asse X
M _y	= Momento intorno all'asse Y
B'	= Base della fondazione reagente
L'	= Lunghezza della fondazione reagente
s _q	= Fattore di forma relativo a sovraccarico laterale
s _c	= Fattore di forma relativo a coesione
s _q	= Fattore di forma relativo a peso del terreno
i _q	= Fattore di inclinazione relativo a sovraccarico laterale
i _c	= Fattore di inclinazione relativo a coesione
i _q	= Fattore di inclinazione relativo al peso del terreno
q _{lim}	= Pressione limite
R _d	= Resistenza di progetto (Carico limite)
Sic.	= Sicurezza a rottura

Verifiche capacità portante

Verifiche di capacità portante per rottura generale in condizioni statiche

Metodo utilizzato: Indicazioni EC7

Travata n. 802

B=0.80 <m>; L=2.87 <m>; D=1.00 <m>; $\beta=0.00$ <grad>; $\eta=0.00$ <grad>; $\gamma_r=1900.00$ <kg/mc>
 $\sigma_{v0,r}=1900.00$ <kg/mq>

Verifiche in condizioni drenate

$\phi'_r=32.00$ <grad>; $c'_r=2200.00$ <kg/mq>;
 $N_q=23.18$; $N_c=35.49$; $N_g=27.72$; $b_q=1.00$
 $b_c=1.00$; $b_g=1.00$; $f_{ecc}=0.99$

CC	N <kg>	Tx <kg>	Ty <kg>	Mx <kgm>	My <kgm>	B' <m>	L' <m>	s _q	s _c	s _g	i _q	i _c	i _g	Q _{lim} <kg/mq>	R _d <kg>	Sic.
9	73532.60	-3581.64	5768.10	136.03	141.65	0.80	2.87	1.15	1.15	0.92	1.00	1.00	1.00	158877.00	157655.00	2.14

Verifiche in condizioni non drenate

$c_{ur}=15000.00$ <kg/mq>;
 $N_q=1.00$; $N_c=5.14$; $b_q=0.00$; $b_c=1.00$; $f_{ecc}=0.99$

CC	N <kg>	Tx <kg>	Ty <kg>	Mx <kgm>	My <kgm>	B' <m>	L' <m>	s _c	i _q	i _c	Q _{lim} <kg/mq>	R _d <kg>	Sic.
9	73532.60	-3581.64	5768.10	136.03	141.65	0.80	2.87	1.06	0.00	1.00	82812.80	82176.00	1.12

Verifiche di capacità portante per rottura generale in condizioni statiche

Metodo utilizzato: Indicazioni EC7

Travata n. 839

B=0.80 <m>; L=1.22 <m>; D=1.00 <m>; $\beta=0.00$ <grad>; $\eta=0.00$ <grad>; $\gamma_r=1900.00$ <kg/mc>
 $\sigma_{v0,r}=1900.00$ <kg/mq>

Verifiche in condizioni drenate

$\phi'_r=32.00$ <grad>; $c'_r=2200.00$ <kg/mq>;
 $N_q=23.18$; $N_c=35.49$; $N_g=27.72$; $b_q=1.00$
 $b_c=1.00$; $b_g=1.00$; $f_{ecc}=0.99$

CC	N <kg>	Tx <kg>	Ty <kg>	Mx <kgm>	My <kgm>	B' <m>	L' <m>	s _q	s _c	s _g	i _q	i _c	i _g	Q _{lim} <kg/mq>	R _d <kg>	Sic.
9	11271.30	0.00	-2162.03	2.65	-51.78	0.80	1.21	1.35	1.37	0.80	1.00	1.00	1.00	181536.00	76283.20	6.77

Verifiche in condizioni non drenate

$c_{ur}=15000.00$ <kg/mq>;
 $N_q=1.00$; $N_c=5.14$; $b_q=0.00$; $b_c=1.00$; $f_{ecc}=0.99$

CC	N <kg>	Tx <kg>	Ty <kg>	Mx <kgm>	My <kgm>	B' <m>	L' <m>	s _c	i _q	i _c	Q _{lim} <kg/mq>	R _d <kg>	Sic.
9	11271.30	0.00	-2162.03	2.65	-51.78	0.80	1.21	1.13	0.00	1.00	88501.20	37189.10	3.30

Verifiche di capacità portante per rottura generale in condizioni statiche

Metodo utilizzato: Indicazioni EC7

Travata n. 945

B=0.80 <m>; L=5.57 <m>; D=1.00 <m>; $\beta=0.00$ <grad>; $\eta=0.00$ <grad>; $\gamma_r=1900.00$ <kg/mc>
 $\sigma_{v0,r}=1900.00$ <kg/mq>

Verifiche in condizioni drenate

$\phi'_r=32.00$ <grad>; $c'_r=2200.00$ <kg/mq>;
 $N_q=23.18$; $N_c=35.49$; $N_g=27.72$; $b_q=1.00$
 $b_c=1.00$; $b_g=1.00$; $f_{ecc}=0.98$

CC	N <kg>	Tx <kg>	Ty <kg>	Mx <kgm>	My <kgm>	B' <m>	L' <m>	s _q	s _c	s _g	i _q	i _c	i _g	Q _{lim} <kg/mq>	R _d <kg>	Sic.
9	123503.00	595.09	10000.80	7.68	-6154.75	0.80	5.47	1.08	1.08	0.96	1.00	1.00	1.00	149243.00	283923.00	2.30

Verifiche in condizioni non drenate

$c_{ur}=15000.00$ <kg/mq>;
 $N_q=1.00$; $N_c=5.14$; $b_q=0.00$; $b_c=1.00$; $f_{ecc}=0.98$

CC	N <kg>	Tx <kg>	Ty <kg>	Mx <kgm>	My <kgm>	B' <m>	L' <m>	s _c	i _q	i _c	Q _{lim} <kg/mq>	R _d <kg>	Sic.
9	123503.00	595.09	10000.80	7.68	-6154.75	0.80	5.47	1.03	0.00	1.00	79812.50	151838.00	1.23

Verifiche di capacità portante per rottura generale in condizioni statiche

Metodo utilizzato: Indicazioni EC7

Travata n. 955

$B=0.80$ <m>; $L=5.57$ <m>; $D=1.00$ <m>; $\beta=0.00$ <grad>; $\eta=0.00$ <grad>; $\gamma_r=1900.00$ <kg/mc>
 $\sigma_{v0,i}=1900.00$ <kg/mq>

Verifiche in condizioni drenate

$\phi'_r=32.00$ <grad>; $c'_r=2200.00$ <kg/mq>;
 $N_q=23.18$; $N_c=35.49$; $N_g=27.72$; $b_q=1.00$
 $b_c=1.00$; $b_g=1.00$; $f_{ecc}=0.98$

CC	N <kg>	Tx <kg>	Ty <kg>	Mx <kgm>	My <kgm>	B' <m>	L' <m>	s _q	s _c	s _g	i _q	i _c	i _g	Q _{lim} <kg/mq>	R _d <kg>	Sic.
9	121975.00	-915.69	8074.75	12.01	-5446.28	0.80	5.48	1.08	1.08	0.96	1.00	1.00	1.00	149493.00	284913.00	2.34

Verifiche in condizioni non drenate

$c_{ur}=15000.00$ <kg/mq>;
 $N_q=1.00$; $N_c=5.14$; $b_q=0.00$; $b_c=1.00$; $f_{ecc}=0.98$

CC	N <kg>	Tx <kg>	Ty <kg>	Mx <kgm>	My <kgm>	B' <m>	L' <m>	s _c	i _q	i _c	Q _{lim} <kg/mq>	R _d <kg>	Sic.
9	121975.00	-915.69	8074.75	12.01	-5446.28	0.80	5.48	1.03	0.00	1.00	79952.10	152378.00	1.25

Verifiche di capacità portante per rottura generale in condizioni statiche

Metodo utilizzato: Indicazioni EC7

Travata n. 964

$B=0.80$ <m>; $L=2.73$ <m>; $D=1.00$ <m>; $\beta=0.00$ <grad>; $\eta=0.00$ <grad>; $\gamma_r=1900.00$ <kg/mc>
 $\sigma_{v0,i}=1900.00$ <kg/mq>

Verifiche in condizioni drenate

$\phi'_r=32.00$ <grad>; $c'_r=2200.00$ <kg/mq>;
 $N_q=23.18$; $N_c=35.49$; $N_g=27.72$; $b_q=1.00$
 $b_c=1.00$; $b_g=1.00$; $f_{ecc}=1.00$

CC	N <kg>	Tx <kg>	Ty <kg>	Mx <kgm>	My <kgm>	B' <m>	L' <m>	s _q	s _c	s _g	i _q	i _c	i _g	Q _{lim} <kg/mq>	R _d <kg>	Sic.
9	69852.20	-2936.66	-5766.21	52.54	-188.31	0.80	2.73	1.16	1.16	0.91	1.00	1.00	1.00	160175.00	151567.00	2.17

Verifiche in condizioni non drenate

$c_{ur}=15000.00$ <kg/mq>;
 $N_q=1.00$; $N_c=5.14$; $b_q=0.00$; $b_c=1.00$; $f_{ecc}=1.00$

CC	N <kg>	Tx <kg>	Ty <kg>	Mx <kgm>	My <kgm>	B' <m>	L' <m>	s _c	i _q	i _c	Q _{lim} <kg/mq>	R _d <kg>	Sic.
9	69852.20	-2936.66	-5766.21	52.54	-188.31	0.80	2.73	1.06	0.00	1.00	83221.10	78748.40	1.13

Verifiche di capacità portante per rottura generale in condizioni statiche

Metodo utilizzato: Indicazioni EC7

Travata n. 1052

$B=0.80$ <m>; $L=2.84$ <m>; $D=1.00$ <m>; $\beta=0.00$ <grad>; $\eta=0.00$ <grad>; $\gamma_r=1900.00$ <kg/mc>
 $\sigma_{v0,i}=1900.00$ <kg/mq>

MEYER - stato di PROGETTO - verifica fondazione

Verifiche in condizioni drenate

$\phi'_r=32.00$ <grad>; $c'_r=2200.00$ <kg/mq>;
 $N_q=23.18$; $N_c=35.49$; $N_g=27.72$; $b_q=1.00$
 $b_c=1.00$; $b_g=1.00$; $f_{ecc}=0.99$

CC	N <kg>	Tx <kg>	Ty <kg>	Mx <kgm>	My <kgm>	B' <m>	L' <m>	s _q	s _c	s _g	i _q	i _c	i _g	q _{lim} <kg/mq>	R _d <kg>	Sic.
9	75907.50	4797.26	19045.00	-53.79	-1257.56	0.80	2.81	1.15	1.16	0.91	1.00	1.00	1.00	158142.00	154066.00	2.03

Verifiche in condizioni non drenate

$c_{ur}=15000.00$ <kg/mq>;
 $N_q=1.00$; $N_c=5.14$; $b_q=0.00$; $b_c=1.00$; $f_{ecc}=0.99$

CC	N <kg>	Tx <kg>	Ty <kg>	Mx <kgm>	My <kgm>	B' <m>	L' <m>	s _c	i _q	i _c	q _{lim} <kg/mq>	R _d <kg>	Sic.
9	75907.50	4797.26	19045.00	-53.79	-1257.56	0.80	2.81	1.06	0.00	1.00	82294.40	80173.20	1.06

Verifiche di capacità portante per rottura generale in condizioni statiche

Metodo utilizzato: Indicazioni EC7

Travata n. 1053

$B=0.80$ <m>; $L=9.90$ <m>; $D=1.00$ <m>; $\beta=0.00$ <grad>; $\eta=0.00$ <grad>; $\gamma_r=1900.00$ <kg/mc>
 $\sigma_{v0,r}=1900.00$ <kg/mq>

Verifiche in condizioni drenate

$\phi'_r=32.00$ <grad>; $c'_r=2200.00$ <kg/mq>;
 $N_q=23.18$; $N_c=35.49$; $N_g=27.72$; $b_q=1.00$
 $b_c=1.00$; $b_g=1.00$; $f_{ecc}=0.99$

CC	N <kg>	Tx <kg>	Ty <kg>	Mx <kgm>	My <kgm>	B' <m>	L' <m>	s _q	s _c	s _g	i _q	i _c	i _g	q _{lim} <kg/mq>	R _d <kg>	Sic.
9	187802.00	3647.11	-8072.13	-141.43	-8778.75	0.80	9.81	1.04	1.05	0.98	1.00	1.00	1.00	146371.00	498327.00	2.65

Verifiche in condizioni non drenate

$c_{ur}=15000.00$ <kg/mq>;
 $N_q=1.00$; $N_c=5.14$; $b_q=0.00$; $b_c=1.00$; $f_{ecc}=0.99$

CC	N <kg>	Tx <kg>	Ty <kg>	Mx <kgm>	My <kgm>	B' <m>	L' <m>	s _c	i _q	i _c	q _{lim} <kg/mq>	R _d <kg>	Sic.
9	187802.00	3647.11	-8072.13	-141.43	-8778.75	0.80	9.81	1.02	0.00	1.00	79372.10	270225.00	1.44

Verifiche di capacità portante per rottura generale in condizioni statiche

Metodo utilizzato: Indicazioni EC7

Travata n. 1054

$B=0.80$ <m>; $L=2.73$ <m>; $D=1.00$ <m>; $\beta=0.00$ <grad>; $\eta=0.00$ <grad>; $\gamma_r=1900.00$ <kg/mc>
 $\sigma_{v0,r}=1900.00$ <kg/mq>

Verifiche in condizioni drenate

$\phi'_r=32.00$ <grad>; $c'_r=2200.00$ <kg/mq>;
 $N_q=23.18$; $N_c=35.49$; $N_g=27.72$; $b_q=1.00$
 $b_c=1.00$; $b_g=1.00$; $f_{ecc}=1.00$

CC	N <kg>	Tx <kg>	Ty <kg>	Mx <kgm>	My <kgm>	B' <m>	L' <m>	s _q	s _c	s _g	i _q	i _c	i _g	q _{lim} <kg/mq>	R _d <kg>	Sic.
9	70136.80	1300.26	-2798.82	-36.65	-288.13	0.80	2.72	1.16	1.16	0.91	1.00	1.00	1.00	160141.00	151464.00	2.16

Verifiche in condizioni non drenate

$c_{ur}=15000.00$ <kg/mq>;
 $N_q=1.00$; $N_c=5.14$; $b_q=0.00$; $b_c=1.00$; $f_{ecc}=1.00$

CC	N <kg>	Tx <kg>	Ty <kg>	Mx <kgm>	My <kgm>	B' <m>	L' <m>	s _c	i _q	i _c	q _{lim} <kg/mq>	R _d <kg>	Sic.
9	70136.80	1300.26	-2798.82	-36.65	-288.13	0.80	2.72	1.06	0.00	1.00	83189.90	78682.50	1.12

Verifiche di capacità portante per rottura generale in condizioni statiche

Metodo utilizzato: Indicazioni EC7

Travata n. 1083

B=0.80 <m>; L=9.90 <m>; D=1.00 <m>; $\beta=0.00$ <grad>; $\eta=0.00$ <grad>; $\gamma_r=1900.00$ <kg/mc>
 $\sigma_{v0,r}=1900.00$ <kg/mq>

Verifiche in condizioni drenate

$\phi'_r=32.00$ <grad>; $c'_r=2200.00$ <kg/mq>;
 $N_q=23.18$; $N_c=35.49$; $N_g=27.72$; $b_q=1.00$
 $b_c=1.00$; $b_g=1.00$; $f_{ecc}=0.99$

CC	N <kg>	Tx <kg>	Ty <kg>	Mx <kgm>	My <kgm>	B' <m>	L' <m>	s _q	s _c	s _g	i _q	i _c	i _g	q _{lim} <kg/mq>	R _d <kg>	Sic.
9	184703.00	-3444.98	-1841.05	150.00	-11049.30	0.80	9.78	1.04	1.05	0.98	1.00	1.00	1.00	145969.00	495557.00	2.68

Verifiche in condizioni non drenate

$c_{uz}=15000.00$ <kg/mq>;
 $N_q=1.00$; $N_c=5.14$; $b_q=0.00$; $b_c=1.00$; $f_{ecc}=0.99$

CC	N <kg>	Tx <kg>	Ty <kg>	Mx <kgm>	My <kgm>	B' <m>	L' <m>	s _c	i _q	i _c	q _{lim} <kg/mq>	R _d <kg>	Sic.
9	184703.00	-3444.98	-1841.05	150.00	-11049.30	0.80	9.78	1.02	0.00	1.00	79151.80	268717.00	1.45

Verifiche di capacità portante per rottura generale in condizioni statiche

Metodo utilizzato: Indicazioni EC7

Travata n. 1084

B=0.80 <m>; L=2.84 <m>; D=1.00 <m>; $\beta=0.00$ <grad>; $\eta=0.00$ <grad>; $\gamma_r=1900.00$ <kg/mc>
 $\sigma_{v0,r}=1900.00$ <kg/mq>

Verifiche in condizioni drenate

$\phi'_r=32.00$ <grad>; $c'_r=2200.00$ <kg/mq>;
 $N_q=23.18$; $N_c=35.49$; $N_g=27.72$; $b_q=1.00$
 $b_c=1.00$; $b_g=1.00$; $f_{ecc}=0.99$

CC	N <kg>	Tx <kg>	Ty <kg>	Mx <kgm>	My <kgm>	B' <m>	L' <m>	s _q	s _c	s _g	i _q	i _c	i _g	q _{lim} <kg/mq>	R _d <kg>	Sic.
9	74097.20	-4742.08	17822.40	68.33	-1213.09	0.80	2.81	1.15	1.16	0.91	1.00	1.00	1.00	158058.00	153923.00	2.08

Verifiche in condizioni non drenate

$c_{uz}=15000.00$ <kg/mq>;
 $N_q=1.00$; $N_c=5.14$; $b_q=0.00$; $b_c=1.00$; $f_{ecc}=0.99$

CC	N <kg>	Tx <kg>	Ty <kg>	Mx <kgm>	My <kgm>	B' <m>	L' <m>	s _c	i _q	i _c	q _{lim} <kg/mq>	R _d <kg>	Sic.
9	74097.20	-4742.08	17822.40	68.33	-1213.09	0.80	2.81	1.06	0.00	1.00	82258.90	80107.00	1.08

Verifiche di capacità portante per rottura generale in condizioni statiche

Metodo utilizzato: Indicazioni EC7

Travata n. 1155

B=0.80 <m>; L=30.01 <m>; D=1.00 <m>; $\beta=0.00$ <grad>; $\eta=0.00$ <grad>; $\gamma_r=1900.00$ <kg/mc>
 $\sigma_{v0,r}=1900.00$ <kg/mq>

Verifiche in condizioni drenate

$\phi'_r=32.00$ <grad>; $c'_r=2200.00$ <kg/mq>;
 $N_q=23.18$; $N_c=35.49$; $N_g=27.72$; $b_q=1.00$
 $b_c=1.00$; $b_g=1.00$; $f_{ecc}=1.00$

CC	N <kg>	Tx <kg>	Ty <kg>	Mx <kgm>	My <kgm>	B' <m>	L' <m>	s _q	s _c	s _g	i _q	i _c	i _g	q _{lim} <kg/mq>	R _d <kg>	Sic.
9	284987.00	5421.98	-5507.28	271.68	5865.50	0.80	29.97	1.01	1.01	0.99	1.00	1.00	1.00	144190.00	1499540.00	5.26

Verifiche in condizioni non drenate

MEYER - stato di PROGETTO - verifica fondazione

$c_{ur}=15000.00$ <kg/mq>;
 $N_q=1.00$; $N_c=5.14$; $b_q=0.00$; $b_c=1.00$; $f_{ecc}=1.00$

CC	N <kg>	Tx <kg>	Ty <kg>	Mx <kgm>	My <kgm>	B' <m>	L' <m>	s _c	i _q	i _c	Q _{lim} <kg/mq>	R _d <kg>	Sic.
9	284987.00	5421.98	-5507.28	271.68	5865.50	0.80	29.97	1.01	0.00	1.00	79136.70	823005.00	2.89

Verifiche di capacità portante per rottura generale in condizioni statiche

Metodo utilizzato: Indicazioni EC7

Travata n. 1274

$B=0.80$ <m>; $L=17.90$ <m>; $D=1.00$ <m>; $\beta=0.00$ <grad>; $\eta=0.00$ <grad>; $\gamma_r=1900.00$ <kg/mc>
 $\sigma_{v0,t}=1900.00$ <kg/mq>

Verifiche in condizioni drenate

$\phi'_r=32.00$ <grad>; $c'_r=2200.00$ <kg/mq>;
 $N_q=23.18$; $N_c=35.49$; $N_g=27.72$; $b_q=1.00$
 $b_c=1.00$; $b_g=1.00$; $f_{ecc}=0.99$

CC	N <kg>	Tx <kg>	Ty <kg>	Mx <kgm>	My <kgm>	B' <m>	L' <m>	s _q	s _c	s _g	i _q	i _c	i _g	Q _{lim} <kg/mq>	R _d <kg>	Sic.
9	241525.00	-419.66	8079.14	407.65	4017.23	0.80	17.87	1.02	1.02	0.99	1.00	1.00	1.00	144892.00	896634.00	3.71

Verifiche in condizioni non drenate

$c_{ur}=15000.00$ <kg/mq>;
 $N_q=1.00$; $N_c=5.14$; $b_q=0.00$; $b_c=1.00$; $f_{ecc}=0.99$

CC	N <kg>	Tx <kg>	Ty <kg>	Mx <kgm>	My <kgm>	B' <m>	L' <m>	s _c	i _q	i _c	Q _{lim} <kg/mq>	R _d <kg>	Sic.
9	241525.00	-419.66	8079.14	407.65	4017.23	0.80	17.87	1.01	0.00	1.00	79227.80	490285.00	2.03

Verifiche di capacità portante per rottura generale in condizioni statiche

Metodo utilizzato: Indicazioni EC7

Travata n. 1287

$B=0.80$ <m>; $L=10.66$ <m>; $D=1.00$ <m>; $\beta=0.00$ <grad>; $\eta=0.00$ <grad>; $\gamma_r=1900.00$ <kg/mc>
 $\sigma_{v0,t}=1900.00$ <kg/mq>

Verifiche in condizioni drenate

$\phi'_r=32.00$ <grad>; $c'_r=2200.00$ <kg/mq>;
 $N_q=23.18$; $N_c=35.49$; $N_g=27.72$; $b_q=1.00$
 $b_c=1.00$; $b_g=1.00$; $f_{ecc}=1.00$

CC	N <kg>	Tx <kg>	Ty <kg>	Mx <kgm>	My <kgm>	B' <m>	L' <m>	s _q	s _c	s _g	i _q	i _c	i _g	Q _{lim} <kg/mq>	R _d <kg>	Sic.
9	201627.00	8372.64	2743.15	67.32	-1966.81	0.80	10.64	1.04	1.04	0.98	1.00	1.00	1.00	147296.00	544487.00	2.70

Verifiche in condizioni non drenate

$c_{ur}=15000.00$ <kg/mq>;
 $N_q=1.00$; $N_c=5.14$; $b_q=0.00$; $b_c=1.00$; $f_{ecc}=1.00$

CC	N <kg>	Tx <kg>	Ty <kg>	Mx <kgm>	My <kgm>	B' <m>	L' <m>	s _c	i _q	i _c	Q _{lim} <kg/mq>	R _d <kg>	Sic.
9	201627.00	8372.64	2743.15	67.32	-1966.81	0.80	10.64	1.02	0.00	1.00	79969.50	295612.00	1.47

Verifiche di capacità portante per rottura generale in condizioni statiche

Metodo utilizzato: Indicazioni EC7

Travata n. 1300

$B=0.80$ <m>; $L=9.90$ <m>; $D=1.00$ <m>; $\beta=0.00$ <grad>; $\eta=0.00$ <grad>; $\gamma_r=1900.00$ <kg/mc>
 $\sigma_{v0,t}=1900.00$ <kg/mq>

Verifiche in condizioni drenate

$\phi'_r=32.00$ <grad>; $c'_r=2200.00$ <kg/mq>;

MEYER - stato di PROGETTO - verifica fondazione

$N_q=23.18$; $N_c=35.49$; $N_g=27.72$; $b_q=1.00$
 $b_c=1.00$; $b_g=1.00$; $f_{ecc}=1.00$

CC	N <kg>	Tx <kg>	Ty <kg>	Mx <kgm>	My <kgm>	B' <m>	L' <m>	s _q	s _c	s _g	i _q	i _c	i _g	Q _{lim} <kg/mq>	R _d <kg>	Sic.
9	192600.00	5777.99	-26531.80	5.65	-3309.56	0.80	9.87	1.04	1.04	0.98	1.00	1.00	1.00	147537.00	506241.00	2.63

Verifiche in condizioni non drenate

$c_{ur}=15000.00$ <kg/mq>;
 $N_q=1.00$; $N_c=5.14$; $b_q=0.00$; $b_c=1.00$; $f_{ecc}=1.00$

CC	N <kg>	Tx <kg>	Ty <kg>	Mx <kgm>	My <kgm>	B' <m>	L' <m>	s _c	i _q	i _c	Q _{lim} <kg/mq>	R _d <kg>	Sic.
9	192600.00	5777.99	-26531.80	5.65	-3309.56	0.80	9.87	1.02	0.00	1.00	79990.10	274468.00	1.43

Verifiche di capacità portante per rottura generale in condizioni statiche

Metodo utilizzato: Indicazioni EC7

Travata n. 1307

$B=0.80$ <m>; $L=9.90$ <m>; $D=1.00$ <m>; $\beta=0.00$ <grad>; $\eta=0.00$ <grad>; $\gamma_r=1900.00$ <kg/mc>
 $\sigma_{v0,r}=1900.00$ <kg/mq>

Verifiche in condizioni drenate

$\phi'_r=32.00$ <grad>; $c'_r=2200.00$ <kg/mq>;
 $N_q=23.18$; $N_c=35.49$; $N_g=27.72$; $b_q=1.00$
 $b_c=1.00$; $b_g=1.00$; $f_{ecc}=1.00$

CC	N <kg>	Tx <kg>	Ty <kg>	Mx <kgm>	My <kgm>	B' <m>	L' <m>	s _q	s _c	s _g	i _q	i _c	i _g	Q _{lim} <kg/mq>	R _d <kg>	Sic.
9	189925.00	-14342.50	-24181.10	-21.56	-4120.29	0.80	9.86	1.04	1.04	0.98	1.00	1.00	1.00	147371.00	505100.00	2.66

Verifiche in condizioni non drenate

$c_{ur}=15000.00$ <kg/mq>;
 $N_q=1.00$; $N_c=5.14$; $b_q=0.00$; $b_c=1.00$; $f_{ecc}=1.00$

CC	N <kg>	Tx <kg>	Ty <kg>	Mx <kgm>	My <kgm>	B' <m>	L' <m>	s _c	i _q	i _c	Q _{lim} <kg/mq>	R _d <kg>	Sic.
9	189925.00	-14342.50	-24181.10	-21.56	-4120.29	0.80	9.86	1.02	0.00	1.00	79901.00	273854.00	1.44

Verifiche di capacità portante per rottura generale in condizioni statiche

Metodo utilizzato: Indicazioni EC7

Travata n. 1394

$B=0.80$ <m>; $L=35.75$ <m>; $D=1.00$ <m>; $\beta=0.00$ <grad>; $\eta=0.00$ <grad>; $\gamma_r=1900.00$ <kg/mc>
 $\sigma_{v0,r}=1900.00$ <kg/mq>

Verifiche in condizioni drenate

$\phi'_r=32.00$ <grad>; $c'_r=2200.00$ <kg/mq>;
 $N_q=23.18$; $N_c=35.49$; $N_g=27.72$; $b_q=1.00$
 $b_c=1.00$; $b_g=1.00$; $f_{ecc}=0.99$

CC	N <kg>	Tx <kg>	Ty <kg>	Mx <kgm>	My <kgm>	B' <m>	L' <m>	s _q	s _c	s _g	i _q	i _c	i _g	Q _{lim} <kg/mq>	R _d <kg>	Sic.
9	332823.00	2889.15	14512.70	470.53	33175.00	0.80	35.55	1.01	1.01	0.99	1.00	1.00	1.00	143142.00	1763850.00	5.30

Verifiche in condizioni non drenate

$c_{ur}=15000.00$ <kg/mq>;
 $N_q=1.00$; $N_c=5.14$; $b_q=0.00$; $b_c=1.00$; $f_{ecc}=0.99$

CC	N <kg>	Tx <kg>	Ty <kg>	Mx <kgm>	My <kgm>	B' <m>	L' <m>	s _c	i _q	i _c	Q _{lim} <kg/mq>	R _d <kg>	Sic.
9	332823.00	2889.15	14512.70	470.53	33175.00	0.80	35.55	1.00	0.00	1.00	78648.30	969138.00	2.91

Verifiche di capacità portante per rottura generale in condizioni statiche

Metodo utilizzato: Indicazioni EC7

Travata n. 1864

MEYER - stato di PROGETTO - verifica fondazione

B=0.80 <m>; L=2.87 <m>; D=1.00 <m>; $\beta=0.00$ <grad>; $\eta=0.00$ <grad>; $\gamma_t=1900.00$ <kg/mc>
 $\sigma_{v0,f}=1900.00$ <kg/mq>

Verifiche in condizioni drenate

$\phi'_r=32.00$ <grad>; $c'_r=2200.00$ <kg/mq>;
 $N_q=23.18$; $N_c=35.49$; $N_g=27.72$; $b_q=1.00$
 $b_c=1.00$; $b_g=1.00$; $f_{ecc}=0.99$

CC	N <kg>	Tx <kg>	Ty <kg>	Mx <kgm>	My <kgm>	B' <m>	L' <m>	s _q	s _c	s _g	i _q	i _c	i _g	Q _{lim} <kg/mq>	R _d <kg>	Sic.
9	72376.00	-1686.90	2495.69	118.32	137.84	0.80	2.87	1.15	1.15	0.92	1.00	1.00	1.00	158984.00	157850.00	2.18

Verifiche in condizioni non drenate

$c_{ur}=15000.00$ <kg/mq>;
 $N_q=1.00$; $N_c=5.14$; $b_q=0.00$; $b_c=1.00$; $f_{ecc}=0.99$

CC	N <kg>	Tx <kg>	Ty <kg>	Mx <kgm>	My <kgm>	B' <m>	L' <m>	s _c	i _q	i _c	Q _{lim} <kg/mq>	R _d <kg>	Sic.
9	72376.00	-1686.90	2495.69	118.32	137.84	0.80	2.87	1.06	0.00	1.00	82861.00	82269.60	1.14

Verifiche di capacità portante per rottura generale in condizioni statiche

Metodo utilizzato: Indicazioni EC7

Travata n. 1877

B=0.80 <m>; L=10.66 <m>; D=1.00 <m>; $\beta=0.00$ <grad>; $\eta=0.00$ <grad>; $\gamma_t=1900.00$ <kg/mc>
 $\sigma_{v0,f}=1900.00$ <kg/mq>

Verifiche in condizioni drenate

$\phi'_r=32.00$ <grad>; $c'_r=2200.00$ <kg/mq>;
 $N_q=23.18$; $N_c=35.49$; $N_g=27.72$; $b_q=1.00$
 $b_c=1.00$; $b_g=1.00$; $f_{ecc}=1.00$

CC	N <kg>	Tx <kg>	Ty <kg>	Mx <kgm>	My <kgm>	B' <m>	L' <m>	s _q	s _c	s _g	i _q	i _c	i _g	Q _{lim} <kg/mq>	R _d <kg>	Sic.
9	200656.00	-2896.62	3848.14	90.04	1832.77	0.80	10.64	1.04	1.04	0.98	1.00	1.00	1.00	147263.00	544273.00	2.71

Verifiche in condizioni non drenate

$c_{ur}=15000.00$ <kg/mq>;
 $N_q=1.00$; $N_c=5.14$; $b_q=0.00$; $b_c=1.00$; $f_{ecc}=1.00$

CC	N <kg>	Tx <kg>	Ty <kg>	Mx <kgm>	My <kgm>	B' <m>	L' <m>	s _c	i _q	i _c	Q _{lim} <kg/mq>	R _d <kg>	Sic.
9	200656.00	-2896.62	3848.14	90.04	1832.77	0.80	10.64	1.02	0.00	1.00	79955.40	295510.00	1.47

Verifiche di capacità portante per rottura generale in condizioni sismiche

Metodo utilizzato: Condizioni statiche

Travata n. 802

B=0.80 <m>; L=2.87 <m>; D=1.00 <m>; $\beta=0.00$ <grad>; $\eta=0.00$ <grad>; $\gamma_t=1900.00$ <kg/mc>
 $\sigma_{v0,f}=1900.00$ <kg/mq>

Verifiche in condizioni drenate

$\phi'_r=32.00$ <grad>; $c'_r=2200.00$ <kg/mq>;
 $N_q=23.18$; $N_c=35.49$; $N_g=27.72$; $b_q=1.00$
 $b_c=1.00$; $b_g=1.00$; $f_{ecc}=0.97$

CC	N <kg>	Tx <kg>	Ty <kg>	Mx <kgm>	My <kgm>	B' <m>	L' <m>	s _q	s _c	s _g	i _q	i _c	i _g	Q _{lim} <kg/mq>	R _d <kg>	Sic.
1	66844.80	-9383.21	9984.07	523.82	788.51	0.78	2.85	1.15	1.15	0.92	1.00	1.00	1.00	154996.00	150448.00	2.25
2	62519.00	-5741.92	6478.79	53.59	608.36	0.80	2.85	1.15	1.16	0.92	1.00	1.00	1.00	158586.00	156899.00	2.51
3	67997.60	-11108.90	11929.40	929.88	622.60	0.77	2.85	1.14	1.15	0.92	1.00	1.00	1.00	152433.00	146028.00	2.15
4	64660.00	-8946.70	10091.60	807.70	300.25	0.78	2.86	1.14	1.15	0.92	1.00	1.00	1.00	153438.00	147908.00	2.29
5	65634.30	-6696.87	8389.72	544.17	675.88	0.78	2.85	1.15	1.15	0.92	1.00	1.00	1.00	154922.00	150360.00	2.29
6	61308.50	-3055.58	4884.45	73.94	495.74	0.80	2.85	1.15	1.15	0.92	1.00	1.00	1.00	158579.00	156937.00	2.56
7	66787.10	-8422.52	10335.10	950.23	509.99	0.77	2.85	1.14	1.15	0.92	1.00	1.00	1.00	152313.00	145859.00	2.18
8	63449.40	-6260.36	8497.24	828.05	187.63	0.77	2.86	1.14	1.15	0.92	1.00	1.00	1.00	153330.00	147764.00	2.33

Verifiche in condizioni non drenate

$c_{ur}=15000.00$ <kg/mq>;
 $N_q=1.00$; $N_c=5.14$; $b_q=0.00$; $b_c=1.00$; $f_{ecc}=0.97$

CC	N <kg>	Tx <kg>	Ty <kg>	Mx <kgm>	My <kgm>	B' <m>	L' <m>	s _c	i _q	i _c	q _{lim} <kg/mq>	R _d <kg>	Sic.
1	66844.80	-9383.21	9984.07	523.82	788.51	0.78	2.85	1.06	0.00	1.00	80971.70	78595.80	1.18
2	62519.00	-5741.92	6478.79	53.59	608.36	0.80	2.85	1.06	0.00	1.00	82601.00	81722.70	1.31
3	67997.60	-11108.90	11929.40	929.88	622.60	0.77	2.85	1.05	0.00	1.00	79845.90	76490.80	1.12
4	64660.00	-8946.70	10091.60	807.70	300.25	0.78	2.86	1.05	0.00	1.00	80343.60	77447.80	1.20
5	65634.30	-6696.87	8389.72	544.17	675.88	0.78	2.85	1.05	0.00	1.00	80953.80	78570.10	1.20
6	61308.50	-3055.58	4884.45	73.94	495.74	0.80	2.85	1.06	0.00	1.00	82615.40	81759.80	1.33
7	66787.10	-8422.52	10335.10	950.23	509.99	0.77	2.85	1.05	0.00	1.00	79806.70	76425.30	1.14
8	63449.40	-6260.36	8497.24	828.05	187.63	0.77	2.86	1.05	0.00	1.00	80311.70	77396.50	1.22

Verifiche di capacità portante per rottura generale in condizioni sismiche

Metodo utilizzato: Condizioni statiche

Travata n. 839

$B=0.80$ <m>; $L=1.22$ <m>; $D=1.00$ <m>; $\beta=0.00$ <grad>; $\eta=0.00$ <grad>; $\gamma_r=1900.00$ <kg/mc>
 $\sigma_{v0,r}=1900.00$ <kg/mq>

Verifiche in condizioni drenate

$\phi'_r=32.00$ <grad>; $c'_r=2200.00$ <kg/mq>;
 $N_q=23.18$; $N_c=35.49$; $N_g=27.72$; $b_q=1.00$
 $b_c=1.00$; $b_g=1.00$; $f_{ecc}=0.92$

CC	N <kg>	Tx <kg>	Ty <kg>	Mx <kgm>	My <kgm>	B' <m>	L' <m>	s _q	s _c	s _g	i _q	i _c	i _g	q _{lim} <kg/mq>	R _d <kg>	Sic.
1	9251.52	0.00	-1648.07	239.07	-68.01	0.75	1.20	1.33	1.34	0.81	1.00	1.00	1.00	165918.00	64956.60	7.02
2	8950.07	0.00	-1606.95	226.98	-33.56	0.75	1.21	1.33	1.34	0.81	1.00	1.00	1.00	166981.00	65848.70	7.36
3	9468.56	0.00	-1680.15	95.54	-104.74	0.78	1.20	1.35	1.36	0.80	1.00	1.00	1.00	174228.00	70643.10	7.46
4	9353.12	0.00	-1666.52	-39.58	-101.78	0.79	1.20	1.35	1.37	0.80	1.00	1.00	1.00	177703.00	73156.90	7.82
5	9236.38	0.00	-1609.91	-234.81	-46.61	0.75	1.21	1.33	1.34	0.81	1.00	1.00	1.00	166662.00	65571.10	7.10
6	8934.92	0.00	-1568.78	-222.72	-12.16	0.75	1.22	1.33	1.34	0.81	1.00	1.00	1.00	167754.00	66491.30	7.44
7	9453.41	0.00	-1641.99	-91.28	-83.35	0.78	1.20	1.34	1.36	0.80	1.00	1.00	1.00	174995.00	71300.00	7.54
8	9337.98	0.00	-1628.36	43.84	-80.38	0.79	1.20	1.35	1.36	0.80	1.00	1.00	1.00	177958.00	73454.40	7.87

Verifiche in condizioni non drenate

$c_{ur}=15000.00$ <kg/mq>;
 $N_q=1.00$; $N_c=5.14$; $b_q=0.00$; $b_c=1.00$; $f_{ecc}=0.92$

CC	N <kg>	Tx <kg>	Ty <kg>	Mx <kgm>	My <kgm>	B' <m>	L' <m>	s _c	i _q	i _c	q _{lim} <kg/mq>	R _d <kg>	Sic.
1	9251.52	0.00	-1648.07	239.07	-68.01	0.75	1.20	1.12	0.00	1.00	81890.90	32060.20	3.47
2	8950.07	0.00	-1606.95	226.98	-33.56	0.75	1.21	1.12	0.00	1.00	82445.30	32512.20	3.63
3	9468.56	0.00	-1680.15	95.54	-104.74	0.78	1.20	1.13	0.00	1.00	85257.80	34568.90	3.65
4	9353.12	0.00	-1666.52	-39.58	-101.78	0.79	1.20	1.13	0.00	1.00	86708.80	35696.30	3.82
5	9236.38	0.00	-1609.91	-234.81	-46.61	0.75	1.21	1.12	0.00	1.00	82272.50	32369.20	3.50
6	8934.92	0.00	-1568.78	-222.72	-12.16	0.75	1.22	1.12	0.00	1.00	82841.60	32835.40	3.67
7	9453.41	0.00	-1641.99	-91.28	-83.35	0.78	1.20	1.13	0.00	1.00	85647.80	34896.30	3.69
8	9337.98	0.00	-1628.36	43.84	-80.38	0.79	1.20	1.13	0.00	1.00	86887.40	35863.80	3.84

Verifiche di capacità portante per rottura generale in condizioni sismiche

Metodo utilizzato: Condizioni statiche

Travata n. 945

$B=0.80$ <m>; $L=5.57$ <m>; $D=1.00$ <m>; $\beta=0.00$ <grad>; $\eta=0.00$ <grad>; $\gamma_r=1900.00$ <kg/mc>
 $\sigma_{v0,r}=1900.00$ <kg/mq>

Verifiche in condizioni drenate

$\phi'_r=32.00$ <grad>; $c'_r=2200.00$ <kg/mq>;
 $N_q=23.18$; $N_c=35.49$; $N_g=27.72$; $b_q=1.00$
 $b_c=1.00$; $b_g=1.00$; $f_{ecc}=0.99$

CC	N <kg>	Tx <kg>	Ty <kg>	Mx <kgm>	My <kgm>	B' <m>	L' <m>	s _q	s _c	s _g	i _q	i _c	i _g	q _{lim} <kg/mq>	R _d <kg>	Sic.
----	-----------	------------	------------	-------------	-------------	-----------	-----------	----------------	----------------	----------------	----------------	----------------	----------------	-----------------------------	------------------------	------

MEYER - stato di PROGETTO - verifica fondazione

1	104638.00	728.42	13886.20	266.28	-421.51	0.79	5.56	1.08	1.08	0.96	1.00	1.00	1.00	150479.00	289262.00	2.76
2	99167.10	438.41	6117.65	222.57	-4610.49	0.80	5.48	1.08	1.08	0.96	1.00	1.00	1.00	148445.00	281208.00	2.84
3	108502.00	590.81	21229.00	157.80	3377.57	0.80	5.51	1.08	1.08	0.96	1.00	1.00	1.00	149582.00	285518.00	2.63
4	106344.00	182.85	19754.20	21.11	2444.94	0.80	5.52	1.08	1.08	0.96	1.00	1.00	1.00	150561.00	289145.00	2.72
5	104353.00	2300.79	12772.50	168.83	-957.15	0.80	5.55	1.08	1.08	0.96	1.00	1.00	1.00	150633.00	289697.00	2.78
6	98882.30	1794.05	5003.93	143.22	-5146.11	0.80	5.47	1.08	1.08	0.96	1.00	1.00	1.00	148514.00	281331.00	2.85
7	108217.00	2053.51	20115.30	92.06	2841.94	0.80	5.52	1.08	1.08	0.96	1.00	1.00	1.00	150101.00	287451.00	2.66
8	106059.00	1334.80	18640.50	0.64	1909.31	0.80	5.53	1.08	1.08	0.96	1.00	1.00	1.00	150904.00	290466.00	2.74

Verifiche in condizioni non drenate

$c_{ur}=15000.00$ <kg/mq>;

$N_q=1.00$; $N_c=5.14$; $b_q=0.00$; $b_c=1.00$; $f_{ecc}=0.99$

CC	N <kg>	Tx <kg>	Ty <kg>	Mx <kgm>	My <kgm>	B' <m>	L' <m>	s_c	i_q	i_c	Q_{lim} <kg/mq>	R_d <kg>	Sic.
1	104638.00	728.42	13886.20	266.28	-421.51	0.79	5.56	1.03	0.00	1.00	80594.90	154926.00	1.48
2	99167.10	438.41	6117.65	222.57	-4610.49	0.80	5.48	1.03	0.00	1.00	79459.30	150525.00	1.52
3	108502.00	590.81	21229.00	157.80	3377.57	0.80	5.51	1.03	0.00	1.00	80055.90	152808.00	1.41
4	106344.00	182.85	19754.20	21.11	2444.94	0.80	5.52	1.03	0.00	1.00	80545.90	154684.00	1.45
5	104353.00	2300.79	12772.50	168.83	-957.15	0.80	5.55	1.03	0.00	1.00	80642.60	155092.00	1.49
6	98882.30	1794.05	5003.93	143.22	-5146.11	0.80	5.47	1.03	0.00	1.00	79465.80	150532.00	1.52
7	108217.00	2053.51	20115.30	92.06	2841.94	0.80	5.52	1.03	0.00	1.00	80318.30	153813.00	1.42
8	106059.00	1334.80	18640.50	0.64	1909.31	0.80	5.53	1.03	0.00	1.00	80727.30	155387.00	1.47

Verifiche di capacità portante per rottura generale in condizioni sismiche

Metodo utilizzato: Condizioni statiche

Travata n. 955

$B=0.80$ <m>; $L=5.57$ <m>; $D=1.00$ <m>; $\beta=0.00$ <grad>; $\eta=0.00$ <grad>; $\gamma_r=1900.00$ <kg/mc>

$\sigma_{v0,r}=1900.00$ <kg/mq>

Verifiche in condizioni drenate

$\phi'_r=32.00$ <grad>; $c'_r=2200.00$ <kg/mq>;

$N_q=23.18$; $N_c=35.49$; $N_g=27.72$; $b_q=1.00$

$b_c=1.00$; $b_g=1.00$; $f_{ecc}=0.99$

CC	N <kg>	Tx <kg>	Ty <kg>	Mx <kgm>	My <kgm>	B' <m>	L' <m>	s_q	s_c	s_g	i_q	i_c	i_g	Q_{lim} <kg/mq>	R_d <kg>	Sic.
1	103623.00	-2537.58	10628.10	300.35	-164.56	0.79	5.57	1.08	1.08	0.96	1.00	1.00	1.00	150444.00	289192.00	2.79
2	98285.10	-2277.38	2999.49	251.40	-4242.27	0.79	5.48	1.08	1.08	0.96	1.00	1.00	1.00	148476.00	281386.00	2.86
3	106986.00	-1947.54	18331.00	173.01	3227.34	0.80	5.51	1.08	1.08	0.96	1.00	1.00	1.00	149559.00	285457.00	2.67
4	104530.00	-1181.58	17304.80	14.91	2056.93	0.80	5.53	1.08	1.08	0.96	1.00	1.00	1.00	150757.00	289908.00	2.77
5	103955.00	4653.32	11639.30	-3.25	459.34	0.80	5.56	1.08	1.08	0.96	1.00	1.00	1.00	151591.00	293202.00	2.82
6	98616.70	3625.11	4010.67	4.99	-3618.39	0.80	5.50	1.08	1.08	0.96	1.00	1.00	1.00	149923.00	286597.00	2.91
7	107317.00	2861.34	19342.20	-14.77	3851.24	0.80	5.50	1.08	1.08	0.96	1.00	1.00	1.00	149926.00	286624.00	2.67
8	104861.00	297.15	18316.00	-16.40	2680.86	0.80	5.52	1.08	1.08	0.96	1.00	1.00	1.00	150448.00	288688.00	2.75

Verifiche in condizioni non drenate

$c_{ur}=15000.00$ <kg/mq>;

$N_q=1.00$; $N_c=5.14$; $b_q=0.00$; $b_c=1.00$; $f_{ecc}=0.99$

CC	N <kg>	Tx <kg>	Ty <kg>	Mx <kgm>	My <kgm>	B' <m>	L' <m>	s_c	i_q	i_c	Q_{lim} <kg/mq>	R_d <kg>	Sic.
1	103623.00	-2537.58	10628.10	300.35	-164.56	0.79	5.57	1.03	0.00	1.00	80590.00	154915.00	1.49
2	98285.10	-2277.38	2999.49	251.40	-4242.27	0.79	5.48	1.03	0.00	1.00	79488.90	150645.00	1.53
3	106986.00	-1947.54	18331.00	173.01	3227.34	0.80	5.51	1.03	0.00	1.00	80049.50	152787.00	1.43
4	104530.00	-1181.58	17304.80	14.91	2056.93	0.80	5.53	1.03	0.00	1.00	80651.40	155094.00	1.48
5	103955.00	4653.32	11639.30	-3.25	459.34	0.80	5.56	1.03	0.00	1.00	81107.40	156875.00	1.51
6	98616.70	3625.11	4010.67	4.99	-3618.39	0.80	5.50	1.03	0.00	1.00	80187.80	153289.00	1.55
7	107317.00	2861.34	19342.20	-14.77	3851.24	0.80	5.50	1.03	0.00	1.00	80192.70	153310.00	1.43
8	104861.00	297.15	18316.00	-16.40	2680.86	0.80	5.52	1.03	0.00	1.00	80481.60	154433.00	1.47

Verifiche di capacità portante per rottura generale in condizioni sismiche

Metodo utilizzato: Condizioni statiche

Travata n. 964

$B=0.80$ <m>; $L=2.73$ <m>; $D=1.00$ <m>; $\beta=0.00$ <grad>; $\eta=0.00$ <grad>; $\gamma_r=1900.00$ <kg/mc>

$\sigma_{v0,r}=1900.00$ <kg/mq>

Verifiche in condizioni drenate

$\phi'_r=32.00$ <grad>; $c'_r=2200.00$ <kg/mq>;

MEYER - stato di PROGETTO - verifica fondazione

$N_q=23.18$; $N_c=35.49$; $N_g=27.72$; $b_q=1.00$
 $b_c=1.00$; $b_g=1.00$; $f_{ecc}=0.98$

CC	N <kg>	Tx <kg>	Ty <kg>	Mx <kgm>	My <kgm>	B' <m>	L' <m>	s _q	s _c	s _g	i _q	i _c	i _g	Q _{lim} <kg/mq>	R _d <kg>	Sic.
1	63141.80	-7648.52	-9715.33	321.12	731.41	0.79	2.71	1.15	1.16	0.91	1.00	1.00	1.00	157124.00	146107.00	2.31
2	58093.00	-5971.54	-7529.90	256.21	-132.12	0.79	2.73	1.15	1.16	0.91	1.00	1.00	1.00	158418.00	148577.00	2.56
3	65243.30	-7095.70	-10268.70	230.73	1406.06	0.79	2.69	1.16	1.16	0.91	1.00	1.00	1.00	156847.00	145343.00	2.23
4	61995.70	-4944.89	-8557.63	88.33	1120.80	0.80	2.69	1.16	1.16	0.91	1.00	1.00	1.00	158238.00	147794.00	2.38
5	64322.60	-2212.06	-8133.50	303.47	914.51	0.79	2.70	1.16	1.16	0.91	1.00	1.00	1.00	157032.00	145872.00	2.27
6	59273.80	-2521.48	-5948.07	238.55	50.98	0.79	2.73	1.15	1.16	0.91	1.00	1.00	1.00	158754.00	149192.00	2.52
7	66424.00	-1357.98	-8686.88	213.07	1589.16	0.79	2.68	1.16	1.16	0.91	1.00	1.00	1.00	156761.00	145127.00	2.18
8	63176.50	-935.33	-6975.79	70.68	1303.90	0.80	2.69	1.16	1.16	0.91	1.00	1.00	1.00	158119.00	147516.00	2.33

Verifiche in condizioni non drenate

$c_{ur}=15000.00$ <kg/mq>;
 $N_q=1.00$; $N_c=5.14$; $b_q=0.00$; $b_c=1.00$; $f_{ecc}=0.98$

CC	N <kg>	Tx <kg>	Ty <kg>	Mx <kgm>	My <kgm>	B' <m>	L' <m>	s _c	i _q	i _c	Q _{lim} <kg/mq>	R _d <kg>	Sic.
1	63141.80	-7648.52	-9715.33	321.12	731.41	0.79	2.71	1.06	0.00	1.00	81761.60	76028.50	1.20
2	58093.00	-5971.54	-7529.90	256.21	-132.12	0.79	2.73	1.06	0.00	1.00	82441.80	77320.10	1.33
3	65243.30	-7095.70	-10268.70	230.73	1406.06	0.79	2.69	1.06	0.00	1.00	81528.00	75548.40	1.16
4	61995.70	-4944.89	-8557.63	88.33	1120.80	0.80	2.69	1.06	0.00	1.00	82186.20	76761.80	1.24
5	64322.60	-2212.06	-8133.50	303.47	914.51	0.79	2.70	1.06	0.00	1.00	81691.20	75885.90	1.18
6	59273.80	-2521.48	-5948.07	238.55	50.98	0.79	2.73	1.06	0.00	1.00	82607.50	77631.50	1.31
7	66424.00	-1357.98	-8686.88	213.07	1589.16	0.79	2.68	1.06	0.00	1.00	81463.00	75417.30	1.14
8	63176.50	-935.33	-6975.79	70.68	1303.90	0.80	2.69	1.06	0.00	1.00	82105.00	76599.00	1.21

Verifiche di capacità portante per rottura generale in condizioni sismiche

Metodo utilizzato: Condizioni statiche

Travata n. 1052

$B=0.80$ <m>; $L=2.84$ <m>; $D=1.00$ <m>; $\beta=0.00$ <grad>; $\eta=0.00$ <grad>; $\gamma_r=1900.00$ <kg/mc>
 $\sigma_{v_0, \tau}=1900.00$ <kg/mq>

Verifiche in condizioni drenate

$\phi'_r=32.00$ <grad>; $c'_r=2200.00$ <kg/mq>;
 $N_q=23.18$; $N_c=35.49$; $N_g=27.72$; $b_q=1.00$
 $b_c=1.00$; $b_g=1.00$; $f_{ecc}=0.99$

CC	N <kg>	Tx <kg>	Ty <kg>	Mx <kgm>	My <kgm>	B' <m>	L' <m>	s _q	s _c	s _g	i _q	i _c	i _g	Q _{lim} <kg/mq>	R _d <kg>	Sic.
1	68529.30	5469.62	30969.20	-252.57	-279.49	0.79	2.83	1.15	1.16	0.92	1.00	1.00	1.00	157944.00	154085.00	2.25
2	65419.20	4342.04	20687.80	-218.34	-1004.60	0.79	2.81	1.15	1.16	0.92	1.00	1.00	1.00	156987.00	152065.00	2.32
3	67836.10	5850.14	36787.50	-152.06	415.50	0.80	2.83	1.15	1.16	0.92	1.00	1.00	1.00	158444.00	154912.00	2.28
4	64131.80	5048.72	31493.10	-31.69	286.09	0.80	2.83	1.15	1.16	0.92	1.00	1.00	1.00	159466.00	156780.00	2.44
5	67394.50	5857.45	26557.70	-374.27	-420.31	0.79	2.83	1.15	1.15	0.92	1.00	1.00	1.00	156818.00	152034.00	2.26
6	64284.40	4729.87	16276.20	-312.15	-1145.43	0.79	2.80	1.15	1.16	0.92	1.00	1.00	1.00	156006.00	150272.00	2.34
7	66701.30	6237.96	32375.90	-240.90	274.67	0.79	2.83	1.15	1.16	0.92	1.00	1.00	1.00	157976.00	154141.00	2.31
8	62996.90	5436.54	27081.50	-64.46	145.26	0.80	2.83	1.15	1.16	0.92	1.00	1.00	1.00	159424.00	156769.00	2.49

Verifiche in condizioni non drenate

$c_{ur}=15000.00$ <kg/mq>;
 $N_q=1.00$; $N_c=5.14$; $b_q=0.00$; $b_c=1.00$; $f_{ecc}=0.99$

CC	N <kg>	Tx <kg>	Ty <kg>	Mx <kgm>	My <kgm>	B' <m>	L' <m>	s _c	i _q	i _c	Q _{lim} <kg/mq>	R _d <kg>	Sic.
1	68529.30	5469.62	30969.20	-252.57	-279.49	0.79	2.83	1.06	0.00	1.00	82337.70	80326.10	1.17
2	65419.20	4342.04	20687.80	-218.34	-1004.60	0.79	2.81	1.06	0.00	1.00	81791.10	79226.60	1.21
3	67836.10	5850.14	36787.50	-152.06	415.50	0.80	2.83	1.06	0.00	1.00	82540.00	80699.90	1.19
4	64131.80	5048.72	31493.10	-31.69	286.09	0.80	2.83	1.06	0.00	1.00	83014.10	81616.10	1.27
5	67394.50	5857.45	26557.70	-374.27	-420.31	0.79	2.83	1.06	0.00	1.00	81811.10	79315.10	1.18
6	64284.40	4729.87	16276.20	-312.15	-1145.43	0.79	2.80	1.06	0.00	1.00	81326.40	78337.30	1.22
7	66701.30	6237.96	32375.90	-240.90	274.67	0.79	2.83	1.06	0.00	1.00	82351.60	80352.40	1.20
8	62996.90	5436.54	27081.50	-64.46	145.26	0.80	2.83	1.06	0.00	1.00	83018.10	81636.00	1.30

Verifiche di capacità portante per rottura generale in condizioni sismiche

Metodo utilizzato: Condizioni statiche

MEYER - stato di PROGETTO - verifica fondazione

Travata n. 1053

B=0.80 <m>; L=9.90 <m>; D=1.00 <m>; $\beta=0.00$ <grad>; $\eta=0.00$ <grad>; $\gamma_r=1900.00$ <kg/mc>
 $\sigma_{v0,r}=1900.00$ <kg/mq>

Verifiche in condizioni drenate

$\phi'_r=32.00$ <grad>; $c'_r=2200.00$ <kg/mq>;
 $N_q=23.18$; $N_c=35.49$; $N_g=27.72$; $b_q=1.00$
 $b_c=1.00$; $b_g=1.00$; $f_{ecc}=0.98$

CC	N <kg>	Tx <kg>	Ty <kg>	Mx <kgm>	My <kgm>	B' <m>	L' <m>	s _q	s _c	s _g	i _q	i _c	i _g	Q _{lim} <kg/mq>	R _d <kg>	Sic.
1	162051.00	6725.71	13858.90	-719.57	-10900.50	0.79	9.77	1.04	1.04	0.98	1.00	1.00	1.00	144204.00	484377.00	2.99
2	153339.00	5873.67	4340.01	-667.49	6294.84	0.79	9.82	1.04	1.04	0.98	1.00	1.00	1.00	144990.00	489740.00	3.19
3	165161.00	6145.52	20479.70	-360.72	-32103.40	0.80	9.51	1.04	1.05	0.97	1.00	1.00	1.00	141514.00	465607.00	2.82
4	159115.00	4796.18	16635.80	-1.05	-33082.10	0.80	9.48	1.04	1.05	0.97	1.00	1.00	1.00	142030.00	468528.00	2.94
5	162527.00	-544.57	-59408.80	-805.88	-14607.30	0.79	9.72	1.04	1.05	0.98	1.00	1.00	1.00	143338.00	478611.00	2.94
6	153815.00	622.44	-24620.70	-741.93	2587.98	0.79	9.87	1.04	1.04	0.98	1.00	1.00	1.00	145479.00	493230.00	3.21
7	165637.00	-88.16	-79768.00	-425.22	-35810.40	0.79	9.47	1.04	1.05	0.97	1.00	1.00	1.00	140727.00	460452.00	2.78
8	159591.00	1470.07	-62430.70	-34.99	-36789.10	0.80	9.44	1.04	1.05	0.97	1.00	1.00	1.00	141288.00	463612.00	2.90

Verifiche in condizioni non drenate

$c_{ur}=15000.00$ <kg/mq>;
 $N_q=1.00$; $N_c=5.14$; $b_q=0.00$; $b_c=1.00$; $f_{ecc}=0.98$

CC	N <kg>	Tx <kg>	Ty <kg>	Mx <kgm>	My <kgm>	B' <m>	L' <m>	s _c	i _q	i _c	Q _{lim} <kg/mq>	R _d <kg>	Sic.
1	162051.00	6725.71	13858.90	-719.57	-10900.50	0.79	9.77	1.02	0.00	1.00	78303.70	263020.00	1.62
2	153339.00	5873.67	4340.01	-667.49	6294.84	0.79	9.82	1.02	0.00	1.00	78735.20	265948.00	1.73
3	165161.00	6145.52	20479.70	-360.72	-32103.40	0.80	9.51	1.02	0.00	1.00	76739.10	252487.00	1.53
4	159115.00	4796.18	16635.80	-1.05	-33082.10	0.80	9.48	1.02	0.00	1.00	76949.90	253841.00	1.60
5	162527.00	-544.57	-59408.80	-805.88	-14607.30	0.79	9.72	1.02	0.00	1.00	77843.00	259921.00	1.60
6	153815.00	622.44	-24620.70	-741.93	2587.98	0.79	9.87	1.02	0.00	1.00	79022.20	267916.00	1.74
7	165637.00	-88.16	-79768.00	-425.22	-35810.40	0.79	9.47	1.02	0.00	1.00	76317.90	249708.00	1.51
8	159591.00	1470.07	-62430.70	-34.99	-36789.10	0.80	9.44	1.02	0.00	1.00	76547.60	251177.00	1.57

Verifiche di capacità portante per rottura generale in condizioni sismiche

Metodo utilizzato: Condizioni statiche

Travata n. 1054

B=0.80 <m>; L=2.73 <m>; D=1.00 <m>; $\beta=0.00$ <grad>; $\eta=0.00$ <grad>; $\gamma_r=1900.00$ <kg/mc>
 $\sigma_{v0,r}=1900.00$ <kg/mq>

Verifiche in condizioni drenate

$\phi'_r=32.00$ <grad>; $c'_r=2200.00$ <kg/mq>;
 $N_q=23.18$; $N_c=35.49$; $N_g=27.72$; $b_q=1.00$
 $b_c=1.00$; $b_g=1.00$; $f_{ecc}=0.99$

CC	N <kg>	Tx <kg>	Ty <kg>	Mx <kgm>	My <kgm>	B' <m>	L' <m>	s _q	s _c	s _g	i _q	i _c	i _g	Q _{lim} <kg/mq>	R _d <kg>	Sic.
1	64286.30	705.61	-322.89	-132.43	580.51	0.80	2.71	1.16	1.16	0.91	1.00	1.00	1.00	158871.00	149143.00	2.32
2	58827.30	1281.52	-1168.56	-104.73	-170.29	0.80	2.73	1.15	1.16	0.91	1.00	1.00	1.00	159648.00	150657.00	2.56
3	67172.10	-334.64	568.73	-97.00	1242.06	0.80	2.69	1.16	1.16	0.91	1.00	1.00	1.00	158185.00	147692.00	2.20
4	64186.60	-650.38	487.31	-38.94	1058.29	0.80	2.70	1.16	1.16	0.91	1.00	1.00	1.00	158804.00	148802.00	2.32
5	63130.10	2008.54	-10897.20	-307.51	483.94	0.79	2.72	1.15	1.16	0.91	1.00	1.00	1.00	157634.00	147085.00	2.33
6	57671.00	2584.45	-7670.78	-234.11	-266.87	0.79	2.72	1.15	1.16	0.91	1.00	1.00	1.00	158347.00	148385.00	2.57
7	66015.90	968.29	-11689.70	-229.91	1145.48	0.79	2.70	1.16	1.16	0.91	1.00	1.00	1.00	157309.00	146247.00	2.22
8	63030.40	652.56	-9142.46	-89.99	961.72	0.80	2.70	1.16	1.16	0.91	1.00	1.00	1.00	158531.00	148376.00	2.35

Verifiche in condizioni non drenate

$c_{ur}=15000.00$ <kg/mq>;
 $N_q=1.00$; $N_c=5.14$; $b_q=0.00$; $b_c=1.00$; $f_{ecc}=0.99$

CC	N <kg>	Tx <kg>	Ty <kg>	Mx <kgm>	My <kgm>	B' <m>	L' <m>	s _c	i _q	i _c	Q _{lim} <kg/mq>	R _d <kg>	Sic.
1	64286.30	705.61	-322.89	-132.43	580.51	0.80	2.71	1.06	0.00	1.00	82569.10	77513.50	1.21
2	58827.30	1281.52	-1168.56	-104.73	-170.29	0.80	2.73	1.06	0.00	1.00	82983.70	78310.10	1.33
3	67172.10	-334.64	568.73	-97.00	1242.06	0.80	2.69	1.06	0.00	1.00	82158.30	76708.50	1.14
4	64186.60	-650.38	487.31	-38.94	1058.29	0.80	2.70	1.06	0.00	1.00	82456.10	77263.00	1.20
5	63130.10	2008.54	-10897.20	-307.51	483.94	0.79	2.72	1.06	0.00	1.00	82032.40	76542.60	1.21
6	57671.00	2584.45	-7670.78	-234.11	-266.87	0.79	2.72	1.06	0.00	1.00	82384.00	77201.00	1.34
7	66015.90	968.29	-11689.70	-229.91	1145.48	0.79	2.70	1.06	0.00	1.00	81780.60	76029.50	1.15
8	63030.40	652.56	-9142.46	-89.99	961.72	0.80	2.70	1.06	0.00	1.00	82348.30	77073.50	1.22

Verifiche di capacità portante per rottura generale in condizioni sismiche

Metodo utilizzato: Condizioni statiche

Travata n. 1083

B=0.80 <m>; L=9.90 <m>; D=1.00 <m>; β=0.00 <grad>; η=0.00 <grad>; γ_r=1900.00 <kg/mc>
 σ_{v0,r}=1900.00 <kg/mq>

Verifiche in condizioni drenate

φ'_r=32.00 <grad>; c'_r=2200.00 <kg/mq>;
 N_q=23.18 ; N_c=35.49 ; N_γ=27.72 ; b_q=1.00
 b_c=1.00 ; b_γ=1.00 ; f_{ecc}=0.97

CC	N <kg>	Tx <kg>	Ty <kg>	Mx <kgm>	My <kgm>	B' <m>	L' <m>	s _q	s _c	s _γ	i _q	i _c	i _γ	Q _{lim} <kg/mq>	R _d <kg>	Sic.
1	160288.00	-4231.37	-62255.10	830.75	-16951.60	0.79	9.69	1.04	1.05	0.98	1.00	1.00	1.00	142790.00	474954.00	2.96
2	151665.00	-3948.20	-30108.20	742.17	-164.81	0.79	9.90	1.04	1.04	0.98	1.00	1.00	1.00	145898.00	496140.00	3.27
3	163147.00	-3587.77	-74118.90	476.07	-36959.90	0.79	9.45	1.04	1.05	0.97	1.00	1.00	1.00	140285.00	457597.00	2.80
4	156974.00	-2752.94	-52140.80	83.49	-37323.10	0.80	9.42	1.04	1.05	0.97	1.00	1.00	1.00	140950.00	461429.00	2.94
5	159994.00	-6082.39	33728.50	799.64	-13839.80	0.79	9.73	1.04	1.04	0.98	1.00	1.00	1.00	143417.00	479161.00	2.99
6	151371.00	-5563.27	17026.20	711.06	2946.97	0.79	9.86	1.04	1.04	0.98	1.00	1.00	1.00	145458.00	493052.00	3.26
7	162852.00	-5170.81	41377.20	444.97	-33848.10	0.79	9.48	1.04	1.05	0.97	1.00	1.00	1.00	140898.00	461633.00	2.83
8	156680.00	-3870.34	31231.00	52.39	-34211.30	0.80	9.46	1.04	1.05	0.97	1.00	1.00	1.00	141592.00	465673.00	2.97

Verifiche in condizioni non drenate

c_{ur}=15000.00 <kg/mq>;
 N_q=1.00 ; N_c=5.14 ; b_q=0.00 ; b_c=1.00 ; f_{ecc}=0.97

CC	N <kg>	Tx <kg>	Ty <kg>	Mx <kgm>	My <kgm>	B' <m>	L' <m>	s _c	i _q	i _c	Q _{lim} <kg/mq>	R _d <kg>	Sic.
1	160288.00	-4231.37	-62255.10	830.75	-16951.60	0.79	9.69	1.02	0.00	1.00	77547.90	257943.00	1.61
2	151665.00	-3948.20	-30108.20	742.17	-164.81	0.79	9.90	1.02	0.00	1.00	79256.20	269519.00	1.78
3	163147.00	-3587.77	-74118.90	476.07	-36959.90	0.79	9.45	1.02	0.00	1.00	76085.50	248184.00	1.52
4	156974.00	-2752.94	-52140.80	83.49	-37323.10	0.80	9.42	1.02	0.00	1.00	76371.20	250018.00	1.59
5	159994.00	-6082.39	33728.50	799.64	-13839.80	0.79	9.73	1.02	0.00	1.00	77888.30	260227.00	1.63
6	151371.00	-5563.27	17026.20	711.06	2946.97	0.79	9.86	1.02	0.00	1.00	79006.10	267803.00	1.77
7	162852.00	-5170.81	41377.20	444.97	-33848.10	0.79	9.48	1.02	0.00	1.00	76418.10	250373.00	1.54
8	156680.00	-3870.34	31231.00	52.39	-34211.30	0.80	9.46	1.02	0.00	1.00	76719.30	252317.00	1.61

Verifiche di capacità portante per rottura generale in condizioni sismiche

Metodo utilizzato: Condizioni statiche

Travata n. 1084

B=0.80 <m>; L=2.84 <m>; D=1.00 <m>; β=0.00 <grad>; η=0.00 <grad>; γ_r=1900.00 <kg/mc>
 σ_{v0,r}=1900.00 <kg/mq>

Verifiche in condizioni drenate

φ'_r=32.00 <grad>; c'_r=2200.00 <kg/mq>;
 N_q=23.18 ; N_c=35.49 ; N_γ=27.72 ; b_q=1.00
 b_c=1.00 ; b_γ=1.00 ; f_{ecc}=0.98

CC	N <kg>	Tx <kg>	Ty <kg>	Mx <kgm>	My <kgm>	B' <m>	L' <m>	s _q	s _c	s _γ	i _q	i _c	i _γ	Q _{lim} <kg/mq>	R _d <kg>	Sic.
1	65735.50	-6579.91	26437.00	381.52	-362.76	0.79	2.83	1.15	1.15	0.92	1.00	1.00	1.00	156768.00	151965.00	2.31
2	63257.70	-5350.54	17100.60	330.01	-1040.32	0.79	2.81	1.15	1.16	0.92	1.00	1.00	1.00	155968.00	150245.00	2.38
3	64301.90	-6670.41	30128.50	236.12	243.93	0.79	2.83	1.15	1.16	0.92	1.00	1.00	1.00	157979.00	154155.00	2.40
4	60595.20	-5518.61	23956.20	59.97	86.38	0.80	2.84	1.15	1.16	0.92	1.00	1.00	1.00	159529.00	156983.00	2.59
5	66790.60	-6014.04	31075.10	365.32	-225.81	0.79	2.83	1.15	1.15	0.92	1.00	1.00	1.00	157143.00	152689.00	2.29
6	64312.80	-4784.68	21738.70	313.80	-903.37	0.79	2.81	1.15	1.16	0.92	1.00	1.00	1.00	156370.00	151019.00	2.35
7	65357.00	-6104.54	34766.60	219.91	380.88	0.79	2.83	1.15	1.16	0.92	1.00	1.00	1.00	157926.00	154001.00	2.36
8	61650.30	-4952.75	28594.30	43.76	223.33	0.80	2.83	1.15	1.16	0.92	1.00	1.00	1.00	159445.00	156768.00	2.54

Verifiche in condizioni non drenate

c_{ur}=15000.00 <kg/mq>;
 N_q=1.00 ; N_c=5.14 ; b_q=0.00 ; b_c=1.00 ; f_{ecc}=0.98

CC	N <kg>	Tx <kg>	Ty <kg>	Mx <kgm>	My <kgm>	B' <m>	L' <m>	s _c	i _q	i _c	Q _{lim} <kg/mq>	R _d <kg>	Sic.
1	65735.50	-6579.91	26437.00	381.52	-362.76	0.79	2.83	1.06	0.00	1.00	81795.90	79290.20	1.21
2	63257.70	-5350.54	17100.60	330.01	-1040.32	0.79	2.81	1.06	0.00	1.00	81323.60	78339.70	1.24
3	64301.90	-6670.41	30128.50	236.12	243.93	0.79	2.83	1.06	0.00	1.00	82356.30	80363.20	1.25

MEYER - stato di PROGETTO - verifica fondazione

4	60595.20	-5518.61	23956.20	59.97	86.38	0.80	2.84	1.06	0.00	1.00	83074.30	81748.90	1.35
5	66790.60	-6014.04	31075.10	365.32	-225.81	0.79	2.83	1.06	0.00	1.00	81986.20	79662.40	1.19
6	64312.80	-4784.68	21738.70	313.80	-903.37	0.79	2.81	1.06	0.00	1.00	81528.70	78738.80	1.22
7	65357.00	-6104.54	34766.60	219.91	380.88	0.79	2.83	1.06	0.00	1.00	82311.20	80265.90	1.23
8	61650.30	-4952.75	28594.30	43.76	223.33	0.80	2.83	1.06	0.00	1.00	83013.50	81619.70	1.32

Verifiche di capacità portante per rottura generale in condizioni sismiche

Metodo utilizzato: Condizioni statiche

Travata n. 1155

B=0.80 <m>; L=30.01 <m>; D=1.00 <m>; $\beta=0.00$ <grad>; $\eta=0.00$ <grad>; $\gamma_r=1900.00$ <kg/mc>
 $\sigma_{v0,r}=1900.00$ <kg/mq>

Verifiche in condizioni drenate

$\phi'_r=32.00$ <grad>; $c'_r=2200.00$ <kg/mq>;
 $N_q=23.18$; $N_c=35.49$; $N_g=27.72$; $b_q=1.00$
 $b_c=1.00$; $b_g=1.00$; $f_{ecc}=0.98$

CC	N <kg>	Tx <kg>	Ty <kg>	Mx <kgm>	My <kgm>	B' <m>	L' <m>	s _q	s _c	s _g	i _q	i _c	i _g	q _{lim} <kg/mq>	R _d <kg>	Sic.
1	252756.00	-18621.90	-10156.50	1887.59	6957.94	0.79	29.96	1.01	1.01	0.99	1.00	1.00	1.00	141412.00	1445970.00	5.72
2	227775.00	-15512.50	-7030.51	-144.72	4718.13	0.80	29.97	1.01	1.01	0.99	1.00	1.00	1.00	144321.00	1502090.00	6.59
3	273332.00	-17457.50	-11219.70	3767.46	17088.00	0.77	29.89	1.01	1.01	0.99	1.00	1.00	1.00	138473.00	1389890.00	5.08
4	265988.00	-13349.80	-9005.18	3346.46	23531.50	0.77	29.84	1.01	1.01	0.99	1.00	1.00	1.00	138731.00	1394380.00	5.24
5	252932.00	34636.30	-9804.53	1721.01	-16900.30	0.79	29.88	1.01	1.01	0.99	1.00	1.00	1.00	141320.00	1443680.00	5.71
6	227951.00	32803.00	-7036.59	-172.70	-19139.30	0.80	29.84	1.01	1.01	0.99	1.00	1.00	1.00	143668.00	1488530.00	6.53
7	273508.00	25978.30	-10747.80	3500.41	-6769.91	0.77	29.96	1.01	1.01	0.99	1.00	1.00	1.00	139227.00	1404560.00	5.14
8	266164.00	16723.80	-8788.43	3131.90	-326.06	0.78	30.01	1.01	1.01	0.99	1.00	1.00	1.00	139871.00	1417040.00	5.32

Verifiche in condizioni non drenate

$c_{ur}=15000.00$ <kg/mq>;
 $N_q=1.00$; $N_c=5.14$; $b_q=0.00$; $b_c=1.00$; $f_{ecc}=0.98$

CC	N <kg>	Tx <kg>	Ty <kg>	Mx <kgm>	My <kgm>	B' <m>	L' <m>	s _c	i _q	i _c	q _{lim} <kg/mq>	R _d <kg>	Sic.
1	252756.00	-18621.90	-10156.50	1887.59	6957.94	0.79	29.96	1.01	0.00	1.00	77802.20	795549.00	3.15
2	227775.00	-15512.50	-7030.51	-144.72	4718.13	0.80	29.97	1.01	0.00	1.00	79199.30	824306.00	3.62
3	273332.00	-17457.50	-11219.70	3767.46	17088.00	0.77	29.89	1.01	0.00	1.00	76366.30	766508.00	2.80
4	265988.00	-13349.80	-9005.18	3346.46	23531.50	0.77	29.84	1.01	0.00	1.00	76472.80	768629.00	2.89
5	252932.00	34636.30	-9804.53	1721.01	-16900.30	0.79	29.88	1.01	0.00	1.00	77731.10	794077.00	3.14
6	227951.00	32803.00	-7036.59	-172.70	-19139.30	0.80	29.84	1.01	0.00	1.00	78842.50	816879.00	3.58
7	273508.00	25978.30	-10747.80	3500.41	-6769.91	0.77	29.96	1.01	0.00	1.00	76754.60	774323.00	2.83
8	266164.00	16723.80	-8788.43	3131.90	-326.06	0.78	30.01	1.01	0.00	1.00	77080.30	780905.00	2.93

Verifiche di capacità portante per rottura generale in condizioni sismiche

Metodo utilizzato: Condizioni statiche

Travata n. 1274

B=0.80 <m>; L=17.90 <m>; D=1.00 <m>; $\beta=0.00$ <grad>; $\eta=0.00$ <grad>; $\gamma_r=1900.00$ <kg/mc>
 $\sigma_{v0,r}=1900.00$ <kg/mq>

Verifiche in condizioni drenate

$\phi'_r=32.00$ <grad>; $c'_r=2200.00$ <kg/mq>;
 $N_q=23.18$; $N_c=35.49$; $N_g=27.72$; $b_q=1.00$
 $b_c=1.00$; $b_g=1.00$; $f_{ecc}=0.98$

CC	N <kg>	Tx <kg>	Ty <kg>	Mx <kgm>	My <kgm>	B' <m>	L' <m>	s _q	s _c	s _g	i _q	i _c	i _g	q _{lim} <kg/mq>	R _d <kg>	Sic.
1	199292.00	-5236.80	12888.70	1321.88	2257.79	0.79	17.88	1.02	1.02	0.99	1.00	1.00	1.00	142891.00	873794.00	4.38
2	190448.00	-5259.14	5108.07	-7.14	1974.95	0.80	17.88	1.02	1.02	0.99	1.00	1.00	1.00	145689.00	905937.00	4.76
3	207167.00	-2196.96	19628.70	2612.96	3456.46	0.77	17.87	1.02	1.02	0.99	1.00	1.00	1.00	140297.00	844380.00	4.08
4	205074.00	386.26	17625.30	2390.59	4200.38	0.78	17.86	1.02	1.02	0.99	1.00	1.00	1.00	140639.00	848164.00	4.14
5	199311.00	4596.14	11999.70	1318.58	1438.57	0.79	17.89	1.02	1.02	0.99	1.00	1.00	1.00	142963.00	874673.00	4.39
6	190467.00	4275.91	4907.95	-10.43	1155.69	0.80	17.89	1.02	1.02	0.99	1.00	1.00	1.00	145751.00	906717.00	4.76
7	207186.00	2305.91	18339.20	2609.67	2636.98	0.77	17.87	1.02	1.02	0.99	1.00	1.00	1.00	140365.00	845202.00	4.08
8	205093.00	22.61	16681.40	2387.30	3381.21	0.78	17.87	1.02	1.02	0.99	1.00	1.00	1.00	140708.00	848997.00	4.14

Verifiche in condizioni non drenate

$c_{ur}=15000.00$ <kg/mq>;
 $N_q=1.00$; $N_c=5.14$; $b_q=0.00$; $b_c=1.00$; $f_{ecc}=0.98$

CC	N <kg>	Tx <kg>	Ty <kg>	Mx <kgm>	My <kgm>	B' <m>	L' <m>	s _c	i _q	i _c	q _{lim} <kg/mq>	R _d <kg>	Sic.
----	--------	---------	---------	----------	----------	--------	--------	----------------	----------------	----------------	--------------------------	---------------------	------

MEYER - stato di PROGETTO - verifica fondazione

1	199292.00	-5236.80	12888.70	1321.88	2257.79	0.79	17.88	1.01	0.00	1.00	78281.90	478701.00	2.40
2	190448.00	-5259.14	5108.07	-7.14	1974.95	0.80	17.88	1.01	0.00	1.00	79614.20	495064.00	2.60
3	207167.00	-2196.96	19628.70	2612.96	3456.46	0.77	17.87	1.01	0.00	1.00	77036.10	463643.00	2.24
4	205074.00	386.26	17625.30	2390.59	4200.38	0.78	17.86	1.01	0.00	1.00	77195.10	465549.00	2.27
5	199311.00	4596.14	11999.70	1318.58	1438.57	0.79	17.89	1.01	0.00	1.00	78321.00	479182.00	2.40
6	190467.00	4275.91	4907.95	-10.43	1155.69	0.80	17.89	1.01	0.00	1.00	79648.70	495496.00	2.60
7	207186.00	2305.91	18339.20	2609.67	2636.98	0.77	17.87	1.01	0.00	1.00	77073.30	464094.00	2.24
8	205093.00	22.61	16681.40	2387.30	3381.21	0.78	17.87	1.01	0.00	1.00	77232.80	466005.00	2.27

Verifiche di capacità portante per rottura generale in condizioni sismiche

Metodo utilizzato: Condizioni statiche

Travata n. 1287

B=0.80 <m>; L=10.66 <m>; D=1.00 <m>; β=0.00 <grad>; η=0.00 <grad>; γ_r=1900.00 <kg/mc>

σ_{v0,r}=1900.00 <kg/mq>

Verifiche in condizioni drenate

φ'_r=32.00 <grad>; c'_r=2200.00 <kg/mq>;
N_q=23.18 ; N_c=35.49 ; N_γ=27.72 ; b_q=1.00
b_c=1.00 ; b_γ=1.00 ; f_{ecc}=0.98

CC	N <kg>	Tx <kg>	Ty <kg>	Mx <kgm>	My <kgm>	B' <m>	L' <m>	s _q	s _c	s _γ	i _q	i _c	i _γ	q _{lim} <kg/mq>	R _d <kg>	Sic.
1	177083.00	61214.40	-439.10	1070.62	-4824.24	0.79	10.60	1.04	1.04	0.98	1.00	1.00	1.00	144376.00	524337.00	2.96
2	156494.00	50353.60	1257.94	-27.87	-4218.94	0.80	10.60	1.04	1.04	0.98	1.00	1.00	1.00	146901.00	541481.00	3.46
3	193531.00	44710.50	-1265.73	1995.15	-2448.91	0.78	10.63	1.04	1.04	0.98	1.00	1.00	1.00	142934.00	514896.00	2.66
4	187041.00	19703.50	-277.23	1689.11	192.44	0.78	10.65	1.04	1.04	0.98	1.00	1.00	1.00	143786.00	520800.00	2.78
5	181324.00	-19253.60	-1601.00	1192.35	-7533.42	0.79	10.57	1.04	1.04	0.98	1.00	1.00	1.00	143772.00	520034.00	2.87
6	160735.00	-15596.90	764.08	36.65	-6928.09	0.80	10.57	1.04	1.04	0.98	1.00	1.00	1.00	146446.00	538093.00	3.35
7	197772.00	-12097.90	-2889.89	2161.29	-5157.94	0.78	10.60	1.04	1.04	0.98	1.00	1.00	1.00	142320.00	510575.00	2.58
8	191281.00	-2307.67	-1629.57	1836.11	-2516.79	0.78	10.63	1.04	1.04	0.98	1.00	1.00	1.00	143225.00	516835.00	2.70

Verifiche in condizioni non drenate

c_{uz}=15000.00 <kg/mq>;

N_q=1.00 ; N_c=5.14 ; b_q=0.00 ; b_c=1.00 ; f_{ecc}=0.98

CC	N <kg>	Tx <kg>	Ty <kg>	Mx <kgm>	My <kgm>	B' <m>	L' <m>	s _c	i _q	i _c	q _{lim} <kg/mq>	R _d <kg>	Sic.
1	177083.00	61214.40	-439.10	1070.62	-4824.24	0.79	10.60	1.01	0.00	1.00	78554.80	285291.00	1.61
2	156494.00	50353.60	1257.94	-27.87	-4218.94	0.80	10.60	1.02	0.00	1.00	79746.00	293947.00	1.88
3	193531.00	44710.50	-1265.73	1995.15	-2448.91	0.78	10.63	1.01	0.00	1.00	77903.50	280634.00	1.45
4	187041.00	19703.50	-277.23	1689.11	192.44	0.78	10.65	1.01	0.00	1.00	78331.20	283720.00	1.52
5	181324.00	-19253.60	-1601.00	1192.35	-7533.42	0.79	10.57	1.01	0.00	1.00	78239.00	282996.00	1.56
6	160735.00	-15596.90	764.08	36.65	-6928.09	0.80	10.57	1.02	0.00	1.00	79496.60	292099.00	1.82
7	197772.00	-12097.90	-2889.89	2161.29	-5157.94	0.78	10.60	1.01	0.00	1.00	77584.30	278336.00	1.41
8	191281.00	-2307.67	-1629.57	1836.11	-2516.79	0.78	10.63	1.01	0.00	1.00	78040.20	281612.00	1.47

Verifiche di capacità portante per rottura generale in condizioni sismiche

Metodo utilizzato: Condizioni statiche

Travata n. 1300

B=0.80 <m>; L=9.90 <m>; D=1.00 <m>; β=0.00 <grad>; η=0.00 <grad>; γ_r=1900.00 <kg/mc>

σ_{v0,r}=1900.00 <kg/mq>

Verifiche in condizioni drenate

φ'_r=32.00 <grad>; c'_r=2200.00 <kg/mq>;
N_q=23.18 ; N_c=35.49 ; N_γ=27.72 ; b_q=1.00
b_c=1.00 ; b_γ=1.00 ; f_{ecc}=0.97

CC	N <kg>	Tx <kg>	Ty <kg>	Mx <kgm>	My <kgm>	B' <m>	L' <m>	s _q	s _c	s _γ	i _q	i _c	i _γ	q _{lim} <kg/mq>	R _d <kg>	Sic.
1	162210.00	5553.40	-59202.40	455.22	-19901.00	0.79	9.65	1.04	1.05	0.98	1.00	1.00	1.00	143311.00	477881.00	2.95
2	152989.00	5176.63	-22158.90	413.89	-1787.78	0.79	9.88	1.04	1.04	0.98	1.00	1.00	1.00	146540.00	500010.00	3.27
3	167638.00	5449.57	-88818.10	211.72	-33033.30	0.80	9.51	1.04	1.05	0.97	1.00	1.00	1.00	141821.00	467435.00	2.79
4	163070.00	4983.80	-77159.50	-38.32	-26176.50	0.80	9.58	1.04	1.05	0.97	1.00	1.00	1.00	143305.00	477185.00	2.93
5	165258.00	3880.93	-56030.20	-196.41	-24159.40	0.80	9.61	1.04	1.05	0.98	1.00	1.00	1.00	143318.00	477513.00	2.89
6	156037.00	3614.23	-18986.70	-141.74	-6046.13	0.80	9.82	1.04	1.04	0.98	1.00	1.00	1.00	146535.00	499505.00	3.20
7	170686.00	4006.43	-85645.90	-149.13	-37291.70	0.80	9.46	1.04	1.05	0.97	1.00	1.00	1.00	141365.00	464284.00	2.72
8	166117.00	3847.29	-73987.30	-53.93	-30434.70	0.80	9.53	1.04	1.05	0.97	1.00	1.00	1.00	142612.00	472521.00	2.84

Verifiche in condizioni non drenate

c_{uz}=15000.00 <kg/mq>;

N_q=1.00 ; N_c=5.14 ; b_q=0.00 ; b_c=1.00 ; f_{ecc}=0.97

MEYER - stato di PROGETTO - verifica fondazione

CC	N <kg>	Tx <kg>	Ty <kg>	Mx <kgm>	My <kgm>	B' <m>	L' <m>	s _c	i _q	i _c	q _{lim} <kg/mq>	R _d <kg>	Sic.
1	162210.00	5553.40	-59202.40	455.22	-19901.00	0.79	9.65	1.02	0.00	1.00	77753.60	259275.00	1.60
2	152989.00	5176.63	-22158.90	413.89	-1787.78	0.79	9.88	1.02	0.00	1.00	79533.80	271378.00	1.77
3	167638.00	5449.57	-88818.10	211.72	-33033.30	0.80	9.51	1.02	0.00	1.00	76877.10	253384.00	1.51
4	163070.00	4983.80	-77159.50	-38.32	-26176.50	0.80	9.58	1.02	0.00	1.00	77661.30	258601.00	1.59
5	165258.00	3880.93	-56030.20	-196.41	-24159.40	0.80	9.61	1.02	0.00	1.00	77701.20	258889.00	1.57
6	156037.00	3614.23	-18986.70	-141.74	-6046.13	0.80	9.82	1.02	0.00	1.00	79468.10	270888.00	1.74
7	170686.00	4006.43	-85645.90	-149.13	-37291.70	0.80	9.46	1.02	0.00	1.00	76612.00	251617.00	1.47
8	166117.00	3847.29	-73987.30	-53.93	-30434.70	0.80	9.53	1.02	0.00	1.00	77281.70	256060.00	1.54

Verifiche di capacità portante per rottura generale in condizioni sismiche

Metodo utilizzato: Condizioni statiche

Travata n. 1307

B=0.80 <m>; L=9.90 <m>; D=1.00 <m>; β=0.00 <grad>; η=0.00 <grad>; γ_r=1900.00 <kg/mc>
σ_{v0,r}=1900.00 <kg/mq>

Verifiche in condizioni drenate

φ'_r=32.00 <grad>; c'_r=2200.00 <kg/mq>;
N_q=23.18 ; N_c=35.49 ; N_γ=27.72 ; b_q=1.00
b_c=1.00 ; b_γ=1.00 ; f_{ecc}=0.97

CC	N <kg>	Tx <kg>	Ty <kg>	Mx <kgm>	My <kgm>	B' <m>	L' <m>	s _q	s _c	s _γ	i _q	i _c	i _γ	q _{lim} <kg/mq>	R _d <kg>	Sic.
1	164471.00	-8297.43	-53961.00	-30.79	-26750.20	0.80	9.57	1.04	1.05	0.97	1.00	1.00	1.00	143264.00	476894.00	2.90
2	156322.00	-8947.28	-14559.70	-45.20	-10594.00	0.80	9.76	1.04	1.05	0.98	1.00	1.00	1.00	145963.00	495381.00	3.17
3	167594.00	-8523.29	-87183.40	12.23	-35666.70	0.80	9.47	1.04	1.05	0.97	1.00	1.00	1.00	141861.00	467408.00	2.79
4	162122.00	-9366.72	-76258.50	34.70	-27153.30	0.80	9.57	1.04	1.05	0.97	1.00	1.00	1.00	143113.00	475876.00	2.94
5	161212.00	-13883.10	-57435.90	-653.81	-22252.90	0.79	9.62	1.04	1.05	0.98	1.00	1.00	1.00	142345.00	471661.00	2.93
6	153063.00	-12647.00	-18034.60	-591.88	-6096.71	0.79	9.82	1.04	1.04	0.98	1.00	1.00	1.00	145233.00	491287.00	3.21
7	164335.00	-13854.20	-90658.30	-311.35	-31169.40	0.80	9.52	1.04	1.05	0.97	1.00	1.00	1.00	141770.00	467251.00	2.84
8	158862.00	-12593.50	-79733.40	44.12	-22656.10	0.80	9.61	1.04	1.05	0.98	1.00	1.00	1.00	143805.00	480588.00	3.03

Verifiche in condizioni non drenate

c_{uz}=15000.00 <kg/mq>;
N_q=1.00 ; N_c=5.14 ; b_q=0.00 ; b_c=1.00 ; f_{ecc}=0.97

CC	N <kg>	Tx <kg>	Ty <kg>	Mx <kgm>	My <kgm>	B' <m>	L' <m>	s _c	i _q	i _c	q _{lim} <kg/mq>	R _d <kg>	Sic.
1	164471.00	-8297.43	-53961.00	-30.79	-26750.20	0.80	9.57	1.02	0.00	1.00	77636.90	258436.00	1.57
2	156322.00	-8947.28	-14559.70	-45.20	-10594.00	0.80	9.76	1.02	0.00	1.00	79130.30	268559.00	1.72
3	167594.00	-8523.29	-87183.40	12.23	-35666.70	0.80	9.47	1.02	0.00	1.00	76858.60	253236.00	1.51
4	162122.00	-9366.72	-76258.50	34.70	-27153.30	0.80	9.57	1.02	0.00	1.00	77554.40	257883.00	1.59
5	161212.00	-13883.10	-57435.90	-653.81	-22252.90	0.79	9.62	1.02	0.00	1.00	77262.70	256011.00	1.59
6	153063.00	-12647.00	-18034.60	-591.88	-6096.71	0.79	9.82	1.02	0.00	1.00	78852.70	266739.00	1.74
7	164335.00	-13854.20	-90658.30	-311.35	-31169.40	0.80	9.52	1.02	0.00	1.00	76870.70	253354.00	1.54
8	158862.00	-12593.50	-79733.40	44.12	-22656.10	0.80	9.61	1.02	0.00	1.00	77938.60	260467.00	1.64

Verifiche di capacità portante per rottura generale in condizioni sismiche

Metodo utilizzato: Condizioni statiche

Travata n. 1394

B=0.80 <m>; L=35.75 <m>; D=1.00 <m>; β=0.00 <grad>; η=0.00 <grad>; γ_r=1900.00 <kg/mc>
σ_{v0,r}=1900.00 <kg/mq>

Verifiche in condizioni drenate

φ'_r=32.00 <grad>; c'_r=2200.00 <kg/mq>;
N_q=23.18 ; N_c=35.49 ; N_γ=27.72 ; b_q=1.00
b_c=1.00 ; b_γ=1.00 ; f_{ecc}=0.98

CC	N <kg>	Tx <kg>	Ty <kg>	Mx <kgm>	My <kgm>	B' <m>	L' <m>	s _q	s _c	s _γ	i _q	i _c	i _γ	q _{lim} <kg/mq>	R _d <kg>	Sic.
1	273582.00	4892.14	24714.80	1881.74	30153.80	0.79	35.53	1.01	1.01	0.99	1.00	1.00	1.00	140799.00	1710190.00	6.25
2	269091.00	3433.14	14538.80	267.40	26195.00	0.80	35.56	1.01	1.01	0.99	1.00	1.00	1.00	143334.00	1768320.00	6.57
3	273242.00	8210.67	30794.70	3247.38	34916.80	0.78	35.50	1.01	1.01	0.99	1.00	1.00	1.00	138601.00	1660410.00	6.08
4	268461.00	9596.13	25829.90	2803.58	35038.20	0.78	35.49	1.01	1.01	0.99	1.00	1.00	1.00	139172.00	1673180.00	6.23
5	273481.00	-26065.20	25652.20	1880.16	23017.30	0.79	35.58	1.01	1.01	0.99	1.00	1.00	1.00	141005.00	1715210.00	6.27
6	268991.00	-23699.30	15099.90	265.82	19057.30	0.80	35.61	1.01	1.01	0.99	1.00	1.00	1.00	143548.00	1773620.00	6.59
7	273142.00	-12643.00	32063.30	3245.79	27780.10	0.78	35.55	1.01	1.01	0.99	1.00	1.00	1.00	138804.00	1665280.00	6.10
8	268360.00	1227.53	27006.30	2802.00	27901.60	0.78	35.54	1.01	1.01	0.99	1.00	1.00	1.00	139379.00	1678190.00	6.25

Verifiche in condizioni non drenate

MEYER - stato di PROGETTO - verifica fondazione

$c_{ur}=15000.00$ <kg/mq>;
 $N_q=1.00$; $N_c=5.14$; $b_q=0.00$; $b_c=1.00$; $f_{ecc}=0.98$

CC	N <kg>	Tx <kg>	Ty <kg>	Mx <kgm>	My <kgm>	B' <m>	L' <m>	s _c	i _q	i _c	Q _{lim} <kg/mq>	R _d <kg>	Sic.
1	273582.00	4892.14	24714.80	1881.74	30153.80	0.79	35.53	1.00	0.00	1.00	77519.60	941575.00	3.44
2	269091.00	3433.14	14538.80	267.40	26195.00	0.80	35.56	1.00	0.00	1.00	78741.80	971440.00	3.61
3	273242.00	8210.67	30794.70	3247.38	34916.80	0.78	35.50	1.00	0.00	1.00	76452.80	915885.00	3.35
4	268461.00	9596.13	25829.90	2803.58	35038.20	0.78	35.49	1.00	0.00	1.00	76726.20	922433.00	3.44
5	273481.00	-26065.20	25652.20	1880.16	23017.30	0.79	35.58	1.00	0.00	1.00	77633.40	944349.00	3.45
6	268991.00	-23699.30	15099.90	265.82	19057.30	0.80	35.61	1.00	0.00	1.00	78859.70	974359.00	3.62
7	273142.00	-12643.00	32063.30	3245.79	27780.10	0.78	35.55	1.00	0.00	1.00	76565.00	918580.00	3.36
8	268360.00	1227.53	27006.30	2802.00	27901.60	0.78	35.54	1.00	0.00	1.00	76840.90	925198.00	3.45

Verifiche di capacità portante per rottura generale in condizioni sismiche

Metodo utilizzato: Condizioni statiche

Travata n. 1864

$B=0.80$ <m>; $L=2.87$ <m>; $D=1.00$ <m>; $\beta=0.00$ <grad>; $\eta=0.00$ <grad>; $\gamma_r=1900.00$ <kg/mc>
 $\sigma_{v0,r}=1900.00$ <kg/mq>

Verifiche in condizioni drenate

$\phi'_r=32.00$ <grad>; $c'_r=2200.00$ <kg/mq>;
 $N_q=23.18$; $N_c=35.49$; $N_g=27.72$; $b_q=1.00$
 $b_c=1.00$; $b_g=1.00$; $f_{ecc}=0.97$

CC	N <kg>	Tx <kg>	Ty <kg>	Mx <kgm>	My <kgm>	B' <m>	L' <m>	s _q	s _c	s _g	i _q	i _c	i _g	Q _{lim} <kg/mq>	R _d <kg>	Sic.
1	64583.10	-13697.70	3382.49	655.62	-441.78	0.78	2.86	1.14	1.15	0.92	1.00	1.00	1.00	154358.00	149463.00	2.31
2	60960.80	-8358.78	1935.62	161.24	-273.61	0.79	2.86	1.15	1.15	0.92	1.00	1.00	1.00	158235.00	156425.00	2.57
3	64839.20	-14598.60	3989.84	1014.11	-257.92	0.77	2.86	1.14	1.15	0.92	1.00	1.00	1.00	151981.00	145380.00	2.24
4	61436.40	-10031.90	3063.56	827.02	67.86	0.77	2.87	1.14	1.15	0.92	1.00	1.00	1.00	153309.00	147778.00	2.41
5	65668.40	1198.05	4751.35	627.80	-575.21	0.78	2.85	1.15	1.15	0.92	1.00	1.00	1.00	154458.00	149585.00	2.28
6	62046.10	613.48	3304.49	133.43	-407.02	0.80	2.86	1.15	1.15	0.92	1.00	1.00	1.00	158271.00	156428.00	2.52
7	65924.50	1326.67	5358.71	986.30	-391.33	0.77	2.86	1.14	1.15	0.92	1.00	1.00	1.00	152122.00	145573.00	2.21
8	62521.60	852.36	4432.42	799.21	-65.56	0.77	2.87	1.14	1.15	0.92	1.00	1.00	1.00	153643.00	148366.00	2.37

Verifiche in condizioni non drenate

$c_{ur}=15000.00$ <kg/mq>;
 $N_q=1.00$; $N_c=5.14$; $b_q=0.00$; $b_c=1.00$; $f_{ecc}=0.97$

CC	N <kg>	Tx <kg>	Ty <kg>	Mx <kgm>	My <kgm>	B' <m>	L' <m>	s _c	i _q	i _c	Q _{lim} <kg/mq>	R _d <kg>	Sic.
1	64583.10	-13697.70	3382.49	655.62	-441.78	0.78	2.86	1.05	0.00	1.00	80735.40	78175.20	1.21
2	60960.80	-8358.78	1935.62	161.24	-273.61	0.79	2.86	1.06	0.00	1.00	82498.80	81554.90	1.34
3	64839.20	-14598.60	3989.84	1014.11	-257.92	0.77	2.86	1.05	0.00	1.00	79693.40	76232.30	1.18
4	61436.40	-10031.90	3063.56	827.02	67.86	0.77	2.87	1.05	0.00	1.00	80320.80	77423.20	1.26
5	65668.40	1198.05	4751.35	627.80	-575.21	0.78	2.85	1.05	0.00	1.00	80760.90	78213.30	1.19
6	62046.10	613.48	3304.49	133.43	-407.02	0.80	2.86	1.06	0.00	1.00	82493.30	81532.70	1.31
7	65924.50	1326.67	5358.71	986.30	-391.33	0.77	2.86	1.05	0.00	1.00	79737.50	76304.70	1.16
8	62521.60	852.36	4432.42	799.21	-65.56	0.77	2.87	1.05	0.00	1.00	80471.80	77707.90	1.24

Verifiche di capacità portante per rottura generale in condizioni sismiche

Metodo utilizzato: Condizioni statiche

Travata n. 1877

$B=0.80$ <m>; $L=10.66$ <m>; $D=1.00$ <m>; $\beta=0.00$ <grad>; $\eta=0.00$ <grad>; $\gamma_r=1900.00$ <kg/mc>
 $\sigma_{v0,r}=1900.00$ <kg/mq>

Verifiche in condizioni drenate

$\phi'_r=32.00$ <grad>; $c'_r=2200.00$ <kg/mq>;
 $N_q=23.18$; $N_c=35.49$; $N_g=27.72$; $b_q=1.00$
 $b_c=1.00$; $b_g=1.00$; $f_{ecc}=0.97$

CC	N <kg>	Tx <kg>	Ty <kg>	Mx <kgm>	My <kgm>	B' <m>	L' <m>	s _q	s _c	s _g	i _q	i _c	i _g	Q _{lim} <kg/mq>	R _d <kg>	Sic.
1	182165.00	16850.70	-433.97	1289.24	10003.80	0.79	10.55	1.04	1.04	0.98	1.00	1.00	1.00	143206.00	516018.00	2.83
2	163013.00	13420.10	1039.38	211.96	10751.80	0.80	10.52	1.04	1.04	0.98	1.00	1.00	1.00	145374.00	530420.00	3.25
3	195417.00	13210.90	-699.38	2083.86	4207.64	0.78	10.61	1.04	1.04	0.98	1.00	1.00	1.00	142551.00	512193.00	2.62
4	187624.00	6660.48	546.46	1687.68	-12.37	0.78	10.66	1.04	1.04	0.98	1.00	1.00	1.00	143826.00	521088.00	2.78
5	178009.00	-37085.40	182.87	1229.08	6246.44	0.79	10.59	1.04	1.04	0.98	1.00	1.00	1.00	143802.00	520341.00	2.92
6	158857.00	-30030.50	1865.04	151.81	6994.33	0.80	10.57	1.04	1.04	0.98	1.00	1.00	1.00	146109.00	535785.00	3.37

MEYER - stato di PROGETTO - verifica fondazione

7	191261.00	-27896.60	-391.42	2023.70	450.33	0.78	10.65	1.04	1.04	0.98	1.00	1.00	1.00	143086.00	516083.00	2.70
8	183468.00	-12965.50	798.50	1627.53	-3769.83	0.78	10.61	1.04	1.04	0.98	1.00	1.00	1.00	143343.00	517506.00	2.82

Verifiche in condizioni non drenate

$c_{ur}=15000.00$ <kg/mq>;

$N_q=1.00$; $N_c=5.14$; $b_q=0.00$; $b_c=1.00$; $f_{ecc}=0.97$

CC	N <kg>	Tx <kg>	Ty <kg>	Mx <kgm>	My <kgm>	B' <m>	L' <m>	s_c	i_q	i_c	q_{lim} <kg/mq>	R_d <kg>	Sic.
1	182165.00	16850.70	-433.97	1289.24	10003.80	0.79	10.55	1.01	0.00	1.00	77943.00	280854.00	1.54
2	163013.00	13420.10	1039.38	211.96	10751.80	0.80	10.52	1.02	0.00	1.00	78942.50	288034.00	1.77
3	195417.00	13210.90	-699.38	2083.86	4207.64	0.78	10.61	1.01	0.00	1.00	77703.50	279192.00	1.43
4	187624.00	6660.48	546.46	1687.68	-12.37	0.78	10.66	1.01	0.00	1.00	78352.40	283874.00	1.51
5	178009.00	-37085.40	182.87	1229.08	6246.44	0.79	10.59	1.01	0.00	1.00	78266.80	283206.00	1.59
6	158857.00	-30030.50	1865.04	151.81	6994.33	0.80	10.57	1.02	0.00	1.00	79336.10	290928.00	1.83
7	191261.00	-27896.60	-391.42	2023.70	450.33	0.78	10.65	1.01	0.00	1.00	77997.10	281320.00	1.47
8	183468.00	-12965.50	798.50	1627.53	-3769.83	0.78	10.61	1.01	0.00	1.00	78080.60	281891.00	1.54

Verifiche di capacità portante per rottura per punzonamento

Travata n. 802

Verifiche in condizioni drenate

$B=0.80$ <m>; $L=2.87$ <m>; $D=1.00$ <m>; $\beta=0.00$ <grad>; $\eta=0.00$ <grad>; $\gamma_r=1900.00$ <kg/mc>

$\sigma_{v0,r}=1900.00$ <kg/mq>; $\psi_q=0.80$; $\psi_c=0.68$; $\psi_g=0.80$

$\phi'_r=32.00$ <grad>; $c'_r=2200.00$ <kg/mq>;

$N_q=23.18$; $N_c=35.49$; $N_g=30.21$; $b_q=1.00$

$b_c=1.00$; $b_g=1.00$; $f_{ecc}=0.99$

CC	N <kg>	Tx <kg>	Ty <kg>	Mx <kgm>	My <kgm>	B' <m>	L' <m>	s_q	s_c	s_g	i_q	i_c	i_g	q_{lim} <kg/mq>	R_d <kg>	Sic.
9	73532.60	-3581.64	5768.10	136.03	141.65	0.80	2.87	1.17	1.18	0.89	1.00	1.00	1.00	190543.00	189078.00	2.57

Verifiche in condizioni non drenate

Verifiche soddisfatte $Ir(24.67) \geq Ir_{crit}(11.96)$

Verifiche di capacità portante per rottura per punzonamento

Travata n. 839

Verifiche in condizioni drenate

$B=0.80$ <m>; $L=1.22$ <m>; $D=1.00$ <m>; $\beta=0.00$ <grad>; $\eta=0.00$ <grad>; $\gamma_r=1900.00$ <kg/mc>

$\sigma_{v0,r}=1900.00$ <kg/mq>; $\psi_q=0.93$; $\psi_c=0.79$; $\psi_g=0.93$

$\phi'_r=32.00$ <grad>; $c'_r=2200.00$ <kg/mq>;

$N_q=23.18$; $N_c=35.49$; $N_g=30.21$; $b_q=1.00$

$b_c=1.00$; $b_g=1.00$; $f_{ecc}=0.99$

CC	N <kg>	Tx <kg>	Ty <kg>	Mx <kgm>	My <kgm>	B' <m>	L' <m>	s_q	s_c	s_g	i_q	i_c	i_g	q_{lim} <kg/mq>	R_d <kg>	Sic.
9	11271.30	0.00	-2162.03	2.65	-51.78	0.80	1.21	1.41	1.43	0.74	1.00	1.00	1.00	259566.00	109072.00	9.68

Verifiche in condizioni non drenate

Verifiche soddisfatte $Ir(24.67) \geq Ir_{crit}(10.09)$

Verifiche di capacità portante per rottura per punzonamento

Travata n. 945

Verifiche in condizioni drenate

$B=0.80$ <m>; $L=5.57$ <m>; $D=1.00$ <m>; $\beta=0.00$ <grad>; $\eta=0.00$ <grad>; $\gamma_r=1900.00$ <kg/mc>

$\sigma_{v0,r}=1900.00$ <kg/mq>; $\psi_q=0.76$; $\psi_c=0.64$; $\psi_g=0.76$

$\phi'_r=32.00$ <grad>; $c'_r=2200.00$ <kg/mq>;

$N_q=23.18$; $N_c=35.49$; $N_g=30.21$; $b_q=1.00$

$b_c=1.00$; $b_g=1.00$; $f_{ecc}=0.98$

CC	N <kg>	Tx <kg>	Ty <kg>	Mx <kgm>	My <kgm>	B' <m>	L' <m>	s_q	s_c	s_g	i_q	i_c	i_g	q_{lim} <kg/mq>	R_d <kg>	Sic.
9	11271.30	0.00	-2162.03	2.65	-51.78	0.80	1.21	1.41	1.43	0.74	1.00	1.00	1.00	259566.00	109072.00	9.68

MEYER - stato di PROGETTO - verifica fondazione

9	123503.00	595.09	10000.80	7.68	-6154.75	0.80	5.47	1.09	1.10	0.94	1.00	1.00	1.00	169794.00	323020.00	2.62
---	-----------	--------	----------	------	----------	------	------	------	------	------	------	------	------	-----------	-----------	------

Verifiche in condizioni non drenate

Verifiche soddisfatte $I_r(24.67) \geq I_{rcrit}(12.71)$

Verifiche di capacità portante per rottura per punzonamento

Travata n. 955

Verifiche in condizioni drenate

$B=0.80$ <m>; $L=5.57$ <m>; $D=1.00$ <m>; $\beta=0.00$ <grad>; $\eta=0.00$ <grad>; $\gamma_r=1900.00$ <kg/mc>
 $\sigma_{v0,r}=1900.00$ <kg/mq>; $\psi_q=0.76$; $\psi_c=0.64$; $\psi_g=0.76$
 $\phi'_r=32.00$ <grad>; $c'_r=2200.00$ <kg/mq>;
 $N_q=23.18$; $N_c=35.49$; $N_g=30.21$; $b_q=1.00$
 $b_c=1.00$; $b_g=1.00$; $f_{ecc}=0.98$

CC	N <kg>	Tx <kg>	Ty <kg>	Mx <kgm>	My <kgm>	B' <m>	L' <m>	s _q	s _c	s _g	i _q	i _c	i _g	q _{lim} <kg/mq>	R _d <kg>	Sic.
9	121975.00	-915.69	8074.75	12.01	-5446.28	0.80	5.48	1.09	1.10	0.94	1.00	1.00	1.00	169771.00	323559.00	2.65

Verifiche in condizioni non drenate

Verifiche soddisfatte $I_r(24.67) \geq I_{rcrit}(12.71)$

Verifiche di capacità portante per rottura per punzonamento

Travata n. 964

Verifiche in condizioni drenate

$B=0.80$ <m>; $L=2.73$ <m>; $D=1.00$ <m>; $\beta=0.00$ <grad>; $\eta=0.00$ <grad>; $\gamma_r=1900.00$ <kg/mc>
 $\sigma_{v0,r}=1900.00$ <kg/mq>; $\psi_q=0.81$; $\psi_c=0.68$; $\psi_g=0.81$
 $\phi'_r=32.00$ <grad>; $c'_r=2200.00$ <kg/mq>;
 $N_q=23.18$; $N_c=35.49$; $N_g=30.21$; $b_q=1.00$
 $b_c=1.00$; $b_g=1.00$; $f_{ecc}=1.00$

CC	N <kg>	Tx <kg>	Ty <kg>	Mx <kgm>	My <kgm>	B' <m>	L' <m>	s _q	s _c	s _g	i _q	i _c	i _g	q _{lim} <kg/mq>	R _d <kg>	Sic.
9	69852.20	-2936.66	-5766.21	52.54	-188.31	0.80	2.73	1.18	1.19	0.88	1.00	1.00	1.00	192895.00	182528.00	2.61

Verifiche in condizioni non drenate

Verifiche soddisfatte $I_r(24.67) \geq I_{rcrit}(11.88)$

Verifiche di capacità portante per rottura per punzonamento

Travata n. 1052

Verifiche in condizioni drenate

$B=0.80$ <m>; $L=2.84$ <m>; $D=1.00$ <m>; $\beta=0.00$ <grad>; $\eta=0.00$ <grad>; $\gamma_r=1900.00$ <kg/mc>
 $\sigma_{v0,r}=1900.00$ <kg/mq>; $\psi_q=0.81$; $\psi_c=0.68$; $\psi_g=0.81$
 $\phi'_r=32.00$ <grad>; $c'_r=2200.00$ <kg/mq>;
 $N_q=23.18$; $N_c=35.49$; $N_g=30.21$; $b_q=1.00$
 $b_c=1.00$; $b_g=1.00$; $f_{ecc}=0.99$

CC	N <kg>	Tx <kg>	Ty <kg>	Mx <kgm>	My <kgm>	B' <m>	L' <m>	s _q	s _c	s _g	i _q	i _c	i _g	q _{lim} <kg/mq>	R _d <kg>	Sic.
9	75907.50	4797.26	19045.00	-53.79	-1257.56	0.80	2.81	1.18	1.19	0.89	1.00	1.00	1.00	191326.00	186394.00	2.46

Verifiche in condizioni non drenate

Verifiche soddisfatte $I_r(24.67) \geq I_{rcrit}(11.94)$

Verifiche di capacità portante per rottura per punzonamento

Travata n. 1053

Verifiche in condizioni drenate

MEYER - stato di PROGETTO - verifica fondazione

B=0.80 <m>; L=9.90 <m>; D=1.00 <m>; $\beta=0.00$ <grad>; $\eta=0.00$ <grad>; $\gamma_r=1900.00$ <kg/mc>
 $\sigma_{v0,r}=1900.00$ <kg/mq>; $\psi_q=0.75$; $\psi_c=0.63$; $\psi_g=0.75$
 $\phi'_r=32.00$ <grad>; $c'_r=2200.00$ <kg/mq>;
 $N_q=23.18$; $N_c=35.49$; $N_g=30.21$; $b_q=1.00$
 $b_c=1.00$; $b_g=1.00$; $f_{ecc}=0.99$

CC	N <kg>	Tx <kg>	Ty <kg>	Mx <kgm>	My <kgm>	B' <m>	L' <m>	s _q	s _c	s _g	i _q	i _c	i _g	Q _{lim} <kg/mq>	R _d <kg>	Sic.
9	187802.00	3647.11	-8072.13	-141.43	-8778.75	0.80	9.81	1.05	1.05	0.97	1.00	1.00	1.00	160454.00	546273.00	2.91

Verifiche in condizioni non drenate

Verifiche soddisfatte $Ir(24.67) \geq Ir_{crit}(13.07)$

Verifiche di capacità portante per rottura per punzonamento

Travata n. 1054

Verifiche in condizioni drenate

B=0.80 <m>; L=2.73 <m>; D=1.00 <m>; $\beta=0.00$ <grad>; $\eta=0.00$ <grad>; $\gamma_r=1900.00$ <kg/mc>
 $\sigma_{v0,r}=1900.00$ <kg/mq>; $\psi_q=0.81$; $\psi_c=0.68$; $\psi_g=0.81$
 $\phi'_r=32.00$ <grad>; $c'_r=2200.00$ <kg/mq>;
 $N_q=23.18$; $N_c=35.49$; $N_g=30.21$; $b_q=1.00$
 $b_c=1.00$; $b_g=1.00$; $f_{ecc}=1.00$

CC	N <kg>	Tx <kg>	Ty <kg>	Mx <kgm>	My <kgm>	B' <m>	L' <m>	s _q	s _c	s _g	i _q	i _c	i _g	Q _{lim} <kg/mq>	R _d <kg>	Sic.
9	70136.80	1300.26	-2798.82	-36.65	-288.13	0.80	2.72	1.18	1.19	0.88	1.00	1.00	1.00	192929.00	182476.00	2.60

Verifiche in condizioni non drenate

Verifiche soddisfatte $Ir(24.67) \geq Ir_{crit}(11.88)$

Verifiche di capacità portante per rottura per punzonamento

Travata n. 1083

Verifiche in condizioni drenate

B=0.80 <m>; L=9.90 <m>; D=1.00 <m>; $\beta=0.00$ <grad>; $\eta=0.00$ <grad>; $\gamma_r=1900.00$ <kg/mc>
 $\sigma_{v0,r}=1900.00$ <kg/mq>; $\psi_q=0.75$; $\psi_c=0.63$; $\psi_g=0.75$
 $\phi'_r=32.00$ <grad>; $c'_r=2200.00$ <kg/mq>;
 $N_q=23.18$; $N_c=35.49$; $N_g=30.21$; $b_q=1.00$
 $b_c=1.00$; $b_g=1.00$; $f_{ecc}=0.99$

CC	N <kg>	Tx <kg>	Ty <kg>	Mx <kgm>	My <kgm>	B' <m>	L' <m>	s _q	s _c	s _g	i _q	i _c	i _g	Q _{lim} <kg/mq>	R _d <kg>	Sic.
9	184703.00	-3444.98	-1841.05	150.00	-11049.30	0.80	9.78	1.05	1.05	0.97	1.00	1.00	1.00	160472.00	544795.00	2.95

Verifiche in condizioni non drenate

Verifiche soddisfatte $Ir(24.67) \geq Ir_{crit}(13.07)$

Verifiche di capacità portante per rottura per punzonamento

Travata n. 1084

Verifiche in condizioni drenate

B=0.80 <m>; L=2.84 <m>; D=1.00 <m>; $\beta=0.00$ <grad>; $\eta=0.00$ <grad>; $\gamma_r=1900.00$ <kg/mc>
 $\sigma_{v0,r}=1900.00$ <kg/mq>; $\psi_q=0.81$; $\psi_c=0.68$; $\psi_g=0.81$
 $\phi'_r=32.00$ <grad>; $c'_r=2200.00$ <kg/mq>;
 $N_q=23.18$; $N_c=35.49$; $N_g=30.21$; $b_q=1.00$
 $b_c=1.00$; $b_g=1.00$; $f_{ecc}=0.99$

CC	N <kg>	Tx <kg>	Ty <kg>	Mx <kgm>	My <kgm>	B' <m>	L' <m>	s _q	s _c	s _g	i _q	i _c	i _g	Q _{lim} <kg/mq>	R _d <kg>	Sic.
9	74097.20	-4742.08	17822.40	68.33	-1213.09	0.80	2.81	1.18	1.19	0.89	1.00	1.00	1.00	191316.00	186311.00	2.51

Verifiche in condizioni non drenate

Verifiche soddisfatte $Ir(24.67) \geq Ir_{crit}(11.94)$

Verifiche di capacità portante per rottura per punzonamento

Travata n. 1155

Verifiche in condizioni drenate

B=0.80 <m>; L=30.01 <m>; D=1.00 <m>; $\beta=0.00$ <grad>; $\eta=0.00$ <grad>; $\gamma_r=1900.00$ <kg/mc>
 $\sigma_{v0,r}=1900.00$ <kg/mq>; $\psi_q=0.73$; $\psi_c=0.61$; $\psi_g=0.73$
 $\phi'_r=32.00$ <grad>; $c'_r=2200.00$ <kg/mq>;
 $N_q=23.18$; $N_c=35.49$; $N_g=30.21$; $b_q=1.00$
 $b_c=1.00$; $b_g=1.00$; $f_{ecc}=1.00$

CC	N <kg>	Tx <kg>	Ty <kg>	Mx <kgm>	My <kgm>	B' <m>	L' <m>	s _q	s _c	s _g	i _q	i _c	i _g	Q _{lim} <kg/mq>	R _d <kg>	Sic.
9	284987.00	5421.98	-5507.28	271.68	5865.50	0.80	29.97	1.02	1.02	0.99	1.00	1.00	1.00	152761.00	1588680.00	5.57

Verifiche in condizioni non drenate

Verifiche soddisfatte $I_r(24.67) \geq I_{rcrit}(13.39)$

Verifiche di capacità portante per rottura per punzonamento

Travata n. 1274

Verifiche in condizioni drenate

B=0.80 <m>; L=17.90 <m>; D=1.00 <m>; $\beta=0.00$ <grad>; $\eta=0.00$ <grad>; $\gamma_r=1900.00$ <kg/mc>
 $\sigma_{v0,r}=1900.00$ <kg/mq>; $\psi_q=0.74$; $\psi_c=0.62$; $\psi_g=0.74$
 $\phi'_r=32.00$ <grad>; $c'_r=2200.00$ <kg/mq>;
 $N_q=23.18$; $N_c=35.49$; $N_g=30.21$; $b_q=1.00$
 $b_c=1.00$; $b_g=1.00$; $f_{ecc}=0.99$

CC	N <kg>	Tx <kg>	Ty <kg>	Mx <kgm>	My <kgm>	B' <m>	L' <m>	s _q	s _c	s _g	i _q	i _c	i _g	Q _{lim} <kg/mq>	R _d <kg>	Sic.
9	241525.00	-419.66	8079.14	407.65	4017.23	0.80	17.87	1.03	1.03	0.98	1.00	1.00	1.00	155285.00	960948.00	3.98

Verifiche in condizioni non drenate

Verifiche soddisfatte $I_r(24.67) \geq I_{rcrit}(13.29)$

Verifiche di capacità portante per rottura per punzonamento

Travata n. 1287

Verifiche in condizioni drenate

B=0.80 <m>; L=10.66 <m>; D=1.00 <m>; $\beta=0.00$ <grad>; $\eta=0.00$ <grad>; $\gamma_r=1900.00$ <kg/mc>
 $\sigma_{v0,r}=1900.00$ <kg/mq>; $\psi_q=0.75$; $\psi_c=0.62$; $\psi_g=0.75$
 $\phi'_r=32.00$ <grad>; $c'_r=2200.00$ <kg/mq>;
 $N_q=23.18$; $N_c=35.49$; $N_g=30.21$; $b_q=1.00$
 $b_c=1.00$; $b_g=1.00$; $f_{ecc}=1.00$

CC	N <kg>	Tx <kg>	Ty <kg>	Mx <kgm>	My <kgm>	B' <m>	L' <m>	s _q	s _c	s _g	i _q	i _c	i _g	Q _{lim} <kg/mq>	R _d <kg>	Sic.
9	201627.00	8372.64	2743.15	67.32	-1966.81	0.80	10.64	1.05	1.05	0.97	1.00	1.00	1.00	159582.00	589904.00	2.93

Verifiche in condizioni non drenate

Verifiche soddisfatte $I_r(24.67) \geq I_{rcrit}(13.11)$

Verifiche di capacità portante per rottura per punzonamento

Travata n. 1300

Verifiche in condizioni drenate

B=0.80 <m>; L=9.90 <m>; D=1.00 <m>; $\beta=0.00$ <grad>; $\eta=0.00$ <grad>; $\gamma_r=1900.00$ <kg/mc>
 $\sigma_{v0,r}=1900.00$ <kg/mq>; $\psi_q=0.75$; $\psi_c=0.63$; $\psi_g=0.75$
 $\phi'_r=32.00$ <grad>; $c'_r=2200.00$ <kg/mq>;
 $N_q=23.18$; $N_c=35.49$; $N_g=30.21$; $b_q=1.00$
 $b_c=1.00$; $b_g=1.00$; $f_{ecc}=1.00$

MEYER - stato di PROGETTO - verifica fondazione

CC	N <kg>	Tx <kg>	Ty <kg>	Mx <kgm>	My <kgm>	B' <m>	L' <m>	s _q	s _c	s _g	i _q	i _c	i _g	q _{lim} <kg/mq>	R _d <kg>	Sic.
9	192600.00	5777.99	-26531.80	5.65	-3309.56	0.80	9.87	1.05	1.05	0.97	1.00	1.00	1.00	160414.00	550423.00	2.86

Verifiche in condizioni non drenate

Verifiche soddisfatte $I_r(24.67) \geq I_{rcrit}(13.07)$

Verifiche di capacità portante per rottura per punzonamento

Travata n. 1307

Verifiche in condizioni drenate

$B=0.80$ <m>; $L=9.90$ <m>; $D=1.00$ <m>; $\beta=0.00$ <grad>; $\eta=0.00$ <grad>; $\gamma_r=1900.00$ <kg/mc>

$\sigma_{v0,t}=1900.00$ <kg/mq>; $\psi_q=0.75$; $\psi_c=0.63$; $\psi_g=0.75$

$\phi'_r=32.00$ <grad>; $c'_r=2200.00$ <kg/mq>;

$N_q=23.18$; $N_c=35.49$; $N_g=30.21$; $b_q=1.00$

$b_c=1.00$; $b_g=1.00$; $f_{ecc}=1.00$

CC	N <kg>	Tx <kg>	Ty <kg>	Mx <kgm>	My <kgm>	B' <m>	L' <m>	s _q	s _c	s _g	i _q	i _c	i _g	q _{lim} <kg/mq>	R _d <kg>	Sic.
9	189925.00	-14342.50	-24181.10	-21.56	-4120.29	0.80	9.86	1.05	1.05	0.97	1.00	1.00	1.00	160420.00	549824.00	2.89

Verifiche in condizioni non drenate

Verifiche soddisfatte $I_r(24.67) \geq I_{rcrit}(13.07)$

Verifiche di capacità portante per rottura per punzonamento

Travata n. 1394

Verifiche in condizioni drenate

$B=0.80$ <m>; $L=35.75$ <m>; $D=1.00$ <m>; $\beta=0.00$ <grad>; $\eta=0.00$ <grad>; $\gamma_r=1900.00$ <kg/mc>

$\sigma_{v0,t}=1900.00$ <kg/mq>; $\psi_q=0.73$; $\psi_c=0.61$; $\psi_g=0.73$

$\phi'_r=32.00$ <grad>; $c'_r=2200.00$ <kg/mq>;

$N_q=23.18$; $N_c=35.49$; $N_g=30.21$; $b_q=1.00$

$b_c=1.00$; $b_g=1.00$; $f_{ecc}=0.99$

CC	N <kg>	Tx <kg>	Ty <kg>	Mx <kgm>	My <kgm>	B' <m>	L' <m>	s _q	s _c	s _g	i _q	i _c	i _g	q _{lim} <kg/mq>	R _d <kg>	Sic.
9	332823.00	2889.15	14512.70	470.53	33175.00	0.80	35.55	1.01	1.01	0.99	1.00	1.00	1.00	152180.00	1875220.00	5.63

Verifiche in condizioni non drenate

Verifiche soddisfatte $I_r(24.67) \geq I_{rcrit}(13.42)$

Verifiche di capacità portante per rottura per punzonamento

Travata n. 1864

Verifiche in condizioni drenate

$B=0.80$ <m>; $L=2.87$ <m>; $D=1.00$ <m>; $\beta=0.00$ <grad>; $\eta=0.00$ <grad>; $\gamma_r=1900.00$ <kg/mc>

$\sigma_{v0,t}=1900.00$ <kg/mq>; $\psi_q=0.80$; $\psi_c=0.68$; $\psi_g=0.80$

$\phi'_r=32.00$ <grad>; $c'_r=2200.00$ <kg/mq>;

$N_q=23.18$; $N_c=35.49$; $N_g=30.21$; $b_q=1.00$

$b_c=1.00$; $b_g=1.00$; $f_{ecc}=0.99$

CC	N <kg>	Tx <kg>	Ty <kg>	Mx <kgm>	My <kgm>	B' <m>	L' <m>	s _q	s _c	s _g	i _q	i _c	i _g	q _{lim} <kg/mq>	R _d <kg>	Sic.
9	72376.00	-1686.90	2495.69	118.32	137.84	0.80	2.87	1.17	1.18	0.89	1.00	1.00	1.00	190549.00	189189.00	2.61

Verifiche in condizioni non drenate

Verifiche soddisfatte $I_r(24.67) \geq I_{rcrit}(11.96)$

Verifiche di capacità portante per rottura per punzonamento

Travata n. 1877

Verifiche in condizioni drenate

$B=0.80$ <m>; $L=10.66$ <m>; $D=1.00$ <m>; $\beta=0.00$ <grad>; $\eta=0.00$ <grad>; $\gamma_r=1900.00$ <kg/mc>

MEYER - stato di PROGETTO - verifica fondazione

$\sigma_{v_0, \pm} = 1900.00$ <kg/mq>; $\psi_q = 0.75$; $\psi_c = 0.62$; $\psi_g = 0.75$
 $\phi'_x = 32.00$ <grad>; $c'_x = 2200.00$ <kg/mq>;
 $N_q = 23.18$; $N_c = 35.49$; $N_g = 30.21$; $b_q = 1.00$
 $b_c = 1.00$; $b_g = 1.00$; $f_{ecc} = 1.00$

CC	N <kg>	Tx <kg>	Ty <kg>	Mx <kgm>	My <kgm>	B' <m>	L' <m>	s _q	s _c	s _g	i _q	i _c	i _g	Q _{lim} <kg/mq>	R _d <kg>	Sic.
9	200656.00	-2896.62	3848.14	90.04	1832.77	0.80	10.64	1.05	1.05	0.97	1.00	1.00	1.00	159581.00	589802.00	2.94

Verifiche in condizioni non drenate

Verifiche soddisfatte $I_r(24.67) \geq I_{rcrit}(13.11)$

Cedimenti

Metodo utilizzato: Bowles

Simbologia

B	=	Base della fondazione
L	=	Lunghezza della fondazione (L>B)
D	=	Profondità del piano di posa della fondazione
H	=	Spessore del terreno responsabile del cedimento
E _r	=	Modulo elastico rappresentativo del terreno di fondazione
v _r	=	Coefficiente di Poisson rappresentativo del terreno di fondazione
I _s	=	Coefficiente di influenza
I _f	=	Coefficiente di profondità
kw	=	Costante di sottofondo
CC	=	Numero della combinazione delle condizioni di carico elementari
N	=	Sforzo normale
q _{es}	=	Pressione di esercizio
Ced	=	Cedimento calcolato

Travata n. 802

B=0.80 <m>; L=2.87 <m>; D=1.00 <m>; H=4.00 <m>; E_r=1000000.00 <kg/mq>; v_r=0.35
 I_s=0.75 ; I_f=0.71 ; kw=1322890.00 <kg/mc>

CC	N <kg>	q _{es} <kg/mq>	Ced <cm>
1	66844.80	29113.60	2.20
2	62519.00	27229.50	2.06
3	67997.60	29615.70	2.24
4	64660.00	28162.00	2.13
5	65634.30	28586.30	2.16
6	61308.50	26702.30	2.02
7	66787.10	29088.40	2.20
8	63449.40	27634.80	2.09
9	73532.60	32026.40	2.42
10	55463.60	24156.60	1.83
11	53706.90	23391.50	1.77
12	53194.40	23168.30	1.75

Travata n. 839

B=0.80 <m>; L=1.22 <m>; D=1.00 <m>; H=4.00 <m>; E_r=1000000.00 <kg/mq>; v_r=0.35
 I_s=0.60 ; I_f=0.65 ; kw=1838630.00 <kg/mc>

CC	N <kg>	q _{es} <kg/mq>	Ced <cm>
1	9251.52	9494.59	0.52
2	8950.07	9185.21	0.50
3	9468.56	9717.32	0.53
4	9353.12	9598.86	0.52
5	9236.38	9479.04	0.52
6	8934.92	9169.66	0.50
7	9453.41	9701.77	0.53
8	9337.98	9583.31	0.52
9	11271.30	11567.40	0.63
10	8442.32	8664.12	0.47
11	8176.35	8391.17	0.46
12	8091.67	8304.26	0.45

Travata n. 945

B=0.80 <m>; L=5.57 <m>; D=1.00 <m>; H=4.00 <m>; E_r=1000000.00 <kg/mq>; v_r=0.35
 I_s=0.81 ; I_f=0.82 ; kw=1065270.00 <kg/mc>

CC	N <kg>	q _{es} <kg/mq>	Ced <cm>
1	104638.00	23482.40	2.20
2	99167.10	22254.70	2.09
3	108502.00	24349.70	2.29
4	106344.00	23865.40	2.24
5	104353.00	23418.50	2.20
6	98882.30	22190.80	2.08
7	108217.00	24285.80	2.28
8	106059.00	23801.50	2.23
9	123503.00	27716.00	2.60
10	93094.80	20892.00	1.96
11	90118.90	20224.20	1.90
12	89239.40	20026.80	1.88

Travata n. 955

B=0.80 <m>; L=5.57 <m>; D=1.00 <m>; H=4.00 <m>; E_r=1000000.00 <kg/mq>; v_r=0.35
I_s=0.81 ; I_f=0.82 ; kw=1065270.00 <kg/mc>

CC	N <kg>	q _{es} <kg/mq>	Ced <cm>
1	103623.00	23254.80	2.18
2	98285.10	22056.80	2.07
3	106986.00	24009.40	2.25
4	104530.00	23458.20	2.20
5	103955.00	23329.20	2.19
6	98616.70	22131.20	2.08
7	107317.00	24083.80	2.26
8	104861.00	23532.60	2.21
9	121975.00	27373.10	2.57
10	91995.10	20645.20	1.94
11	89068.90	19988.50	1.88
12	88205.80	19794.80	1.86

Travata n. 964

B=0.80 <m>; L=2.73 <m>; D=1.00 <m>; H=4.00 <m>; E_r=1000000.00 <kg/mq>; v_r=0.35
I_s=0.75 ; I_f=0.71 ; kw=1345600.00 <kg/mc>

CC	N <kg>	q _{es} <kg/mq>	Ced <cm>
1	63141.80	28900.50	2.15
2	58093.00	26589.60	1.98
3	65243.30	29862.30	2.22
4	61995.70	28375.90	2.11
5	64322.60	29440.90	2.19
6	59273.80	27130.10	2.02
7	66424.00	30402.80	2.26
8	63176.50	28916.40	2.15
9	69852.20	31971.90	2.38
10	52769.50	24153.00	1.79
11	51186.00	23428.20	1.74
12	50723.00	23216.30	1.73

Travata n. 1052

B=0.80 <m>; L=2.84 <m>; D=1.00 <m>; H=4.00 <m>; E_r=1000000.00 <kg/mq>; v_r=0.35
I_s=0.75 ; I_f=0.71 ; kw=1327800.00 <kg/mc>

CC	N <kg>	q _{es} <kg/mq>	Ced <cm>
1	68529.30	30173.20	2.27
2	65419.20	28803.80	2.17
3	67836.10	29868.00	2.25
4	64131.80	28237.00	2.13
5	67394.50	29673.50	2.23
6	64284.40	28304.10	2.13
7	66701.30	29368.30	2.21
8	62996.90	27737.30	2.09
9	75907.50	33421.80	2.52
10	57189.50	25180.30	1.90
11	55306.20	24351.10	1.83
12	54757.30	24109.40	1.82

Travata n. 1053

B=0.80 <m>; L=9.90 <m>; D=1.00 <m>; H=4.00 <m>; E_r=1000000.00 <kg/mq>; v_r=0.35

MEYER - stato di PROGETTO - verifica fondazione

$I_s=0.82$; $I_f=1.00$; $k_w=869246.00$ <kg/mc>

CC	N <kg>	q_{es} <kg/mq>	Ced <cm>
1	162051.00	20460.90	2.35
2	153339.00	19361.00	2.23
3	165161.00	20853.60	2.40
4	159115.00	20090.30	2.31
5	162527.00	20521.10	2.36
6	153815.00	19421.10	2.23
7	165637.00	20913.80	2.41
8	159591.00	20150.40	2.32
9	187802.00	23712.40	2.73
10	141068.00	17811.60	2.05
11	135908.00	17160.10	1.97
12	134415.00	16971.60	1.95

Travata n. 1054

$B=0.80$ <m>; $L=2.73$ <m>; $D=1.00$ <m>; $H=4.00$ <m>; $E_x=1000000.00$ <kg/mq>; $v_x=0.35$
 $I_s=0.75$; $I_f=0.71$; $k_w=1345600.00$ <kg/mc>

CC	N <kg>	q_{es} <kg/mq>	Ced <cm>
1	64286.30	29424.30	2.19
2	58827.30	26925.70	2.00
3	67172.10	30745.20	2.28
4	64186.60	29378.70	2.18
5	63130.10	28895.10	2.15
6	57671.00	26396.50	1.96
7	66015.90	30216.00	2.25
8	63030.40	28849.50	2.14
9	70136.80	32102.20	2.39
10	52966.70	24243.30	1.80
11	51377.40	23515.80	1.75
12	50911.70	23302.70	1.73

Travata n. 1083

$B=0.80$ <m>; $L=9.90$ <m>; $D=1.00$ <m>; $H=4.00$ <m>; $E_x=1000000.00$ <kg/mq>; $v_x=0.35$
 $I_s=0.82$; $I_f=1.00$; $k_w=869246.00$ <kg/mc>

CC	N <kg>	q_{es} <kg/mq>	Ced <cm>
1	160288.00	20238.40	2.33
2	151665.00	19149.60	2.20
3	163147.00	20599.30	2.37
4	156974.00	19820.00	2.28
5	159994.00	20201.20	2.32
6	151371.00	19112.40	2.20
7	162852.00	20562.20	2.37
8	156680.00	19782.80	2.28
9	184703.00	23321.00	2.68
10	138817.00	17527.40	2.02
11	133768.00	16889.80	1.94
12	132311.00	16705.90	1.92

Travata n. 1084

$B=0.80$ <m>; $L=2.84$ <m>; $D=1.00$ <m>; $H=4.00$ <m>; $E_x=1000000.00$ <kg/mq>; $v_x=0.35$
 $I_s=0.75$; $I_f=0.71$; $k_w=1327800.00$ <kg/mc>

CC	N <kg>	q_{es} <kg/mq>	Ced <cm>
1	65735.50	28943.10	2.18
2	63257.70	27852.10	2.10
3	64301.90	28311.90	2.13
4	60595.20	26679.80	2.01
5	66790.60	29407.60	2.21
6	64312.80	28316.70	2.13
7	65357.00	28776.40	2.17
8	61650.30	27144.40	2.04
9	74097.20	32624.70	2.46
10	55854.60	24592.60	1.85
11	54027.90	23788.30	1.79
12	53496.70	23554.40	1.77

Travata n. 1155

MEYER - stato di PROGETTO - verifica fondazione

B=0.80 <m>; L=30.01 <m>; D=1.00 <m>; H=4.00 <m>; E_r=1000000.00 <kg/mq>; v_r=0.35
I_s=0.81 ; I_f=1.82 ; kw=483972.00 <kg/mc>

CC	N <kg>	q _{es} <kg/mq>	Ced <cm>
1	252756.00	10527.30	2.18
2	227775.00	9486.81	1.96
3	273332.00	11384.30	2.35
4	265988.00	11078.40	2.29
5	252932.00	10534.60	2.18
6	227951.00	9494.16	1.96
7	273508.00	11391.60	2.35
8	266164.00	11085.70	2.29
9	284987.00	11869.70	2.45
10	215368.00	8970.06	1.85
11	209210.00	8713.59	1.80
12	207375.00	8637.16	1.78

Travata n. 1274

B=0.80 <m>; L=17.90 <m>; D=1.00 <m>; H=4.00 <m>; E_r=1000000.00 <kg/mq>; v_r=0.35
I_s=0.81 ; I_f=1.32 ; kw=660539.00 <kg/mc>

CC	N <kg>	q _{es} <kg/mq>	Ced <cm>
1	199292.00	13917.00	2.11
2	190448.00	13299.40	2.01
3	207167.00	14467.00	2.19
4	205074.00	14320.80	2.17
5	199311.00	13918.40	2.11
6	190467.00	13300.80	2.01
7	207186.00	14468.30	2.19
8	205093.00	14322.10	2.17
9	241525.00	16866.30	2.55
10	181938.00	12705.20	1.92
11	175807.00	12277.00	1.86
12	173991.00	12150.20	1.84

Travata n. 1287

B=0.80 <m>; L=10.66 <m>; D=1.00 <m>; H=4.00 <m>; E_r=1000000.00 <kg/mq>; v_r=0.35
I_s=0.82 ; I_f=1.03 ; kw=843801.00 <kg/mc>

CC	N <kg>	q _{es} <kg/mq>	Ced <cm>
1	177083.00	20772.70	2.46
2	156494.00	18357.50	2.18
3	193531.00	22702.20	2.69
4	187041.00	21940.70	2.60
5	181324.00	21270.10	2.52
6	160735.00	18854.90	2.23
7	197772.00	23199.50	2.75
8	191281.00	22438.10	2.66
9	201627.00	23651.80	2.80
10	151220.00	17738.80	2.10
11	145396.00	17055.60	2.02
12	143719.00	16858.90	2.00

Travata n. 1300

B=0.80 <m>; L=9.90 <m>; D=1.00 <m>; H=4.00 <m>; E_r=1000000.00 <kg/mq>; v_r=0.35
I_s=0.82 ; I_f=1.00 ; kw=869246.00 <kg/mc>

CC	N <kg>	q _{es} <kg/mq>	Ced <cm>
1	162210.00	20481.10	2.36
2	152989.00	19316.90	2.22
3	167638.00	21166.50	2.44
4	163070.00	20589.60	2.37
5	165258.00	20865.90	2.40
6	156037.00	19701.60	2.27
7	170686.00	21551.20	2.48
8	166117.00	20974.40	2.41
9	192600.00	24318.20	2.80
10	144645.00	18263.20	2.10
11	139290.00	17587.20	2.02
12	137736.00	17390.90	2.00

Travata n. 1307

MEYER - stato di PROGETTO - verifica fondazione

B=0.80 <m>; L=9.90 <m>; D=1.00 <m>; H=4.00 <m>; E_t=1000000.00 <kg/mq>; v_t=0.35
 I_s=0.82 ; I_f=1.00 ; kw=869246.00 <kg/mc>

CC	N <kg>	q _{es} <kg/mq>	Ced <cm>
1	164471.00	20766.50	2.39
2	156322.00	19737.60	2.27
3	167594.00	21160.90	2.43
4	162122.00	20469.90	2.35
5	161212.00	20355.00	2.34
6	153063.00	19326.10	2.22
7	164335.00	20749.30	2.39
8	158862.00	20058.40	2.31
9	189925.00	23980.40	2.76
10	142775.00	18027.10	2.07
11	137553.00	17367.90	2.00
12	136042.00	17177.10	1.98

Travata n. 1394

B=0.80 <m>; L=35.75 <m>; D=1.00 <m>; H=4.00 <m>; E_t=1000000.00 <kg/mq>; v_t=0.35
 I_s=0.81 ; I_f=2.05 ; kw=429348.00 <kg/mc>

CC	N <kg>	q _{es} <kg/mq>	Ced <cm>
1	273582.00	9565.26	2.23
2	269091.00	9408.26	2.19
3	273242.00	9553.38	2.23
4	268461.00	9386.21	2.19
5	273481.00	9561.74	2.23
6	268991.00	9404.75	2.19
7	273142.00	9549.87	2.22
8	268360.00	9382.70	2.19
9	332823.00	11636.50	2.71
10	250503.00	8758.34	2.04
11	241901.00	8457.60	1.97
12	239379.00	8369.44	1.95

Travata n. 1864

B=0.80 <m>; L=2.87 <m>; D=1.00 <m>; H=4.00 <m>; E_t=1000000.00 <kg/mq>; v_t=0.35
 I_s=0.75 ; I_f=0.71 ; kw=1322890.00 <kg/mc>

CC	N <kg>	q _{es} <kg/mq>	Ced <cm>
1	64583.10	28128.50	2.13
2	60960.80	26550.90	2.01
3	64839.20	28240.00	2.13
4	61436.40	26758.00	2.02
5	65668.40	28601.20	2.16
6	62046.10	27023.50	2.04
7	65924.50	28712.70	2.17
8	62521.60	27230.70	2.06
9	72376.00	31522.60	2.38
10	54619.00	23788.80	1.80
11	52902.70	23041.20	1.74
12	52403.00	22823.60	1.73

Travata n. 1877

B=0.80 <m>; L=10.66 <m>; D=1.00 <m>; H=4.00 <m>; E_t=1000000.00 <kg/mq>; v_t=0.35
 I_s=0.82 ; I_f=1.03 ; kw=843801.00 <kg/mc>

CC	N <kg>	q _{es} <kg/mq>	Ced <cm>
1	182165.00	21368.80	2.53
2	163013.00	19122.20	2.27
3	195417.00	22923.40	2.72
4	187624.00	22009.20	2.61
5	178009.00	20881.30	2.47
6	158857.00	18634.70	2.21
7	191261.00	22435.90	2.66
8	183468.00	21521.70	2.55
9	200656.00	23537.90	2.79
10	150598.00	17665.80	2.09
11	144852.00	16991.90	2.01
12	143202.00	16798.30	1.99